



RADIOCOMUNICATII

SI

RADIOAMATORISM

9/2000

PUBLICAȚIE EDITATĂ DE FEDERAȚIA ROMÂNĂ DE RADIOAMATORISM



SCRIB YOZBEH



FT-50RD
This durable, multi-featured 5 Watt Dual Bander is manufactured to rigid MIL-810 standards. Featuring wideband frequency coverage,* CTCSS/DCS operation, Dual Watch, 112 memory channels, and Digital Voice Storage.



FT-51R
This full-featured 5 Watt Dual-Band Handheld includes dual receive, 120 memory channels (80 if Alphanumeric), Auto Tone Search, Spectra Scope, and V/V, U/U and V/U operation.



FT-11R
This compact 2M Handheld features 150 memory channels (75 if Alphanumeric), 10-memory DTMF Autodialer, Automatic Battery Saver (TX/RX), backlit Keypad, and are available in 1.5 Watt and 5 Watt versions.



FT-23/33R
These ultra-compact, 5 Watt VHF FM Handhelds feature rugged die-cast aluminum cases, 10 memory channels, optional CTCSS, and multiple scan modes. The FT-23R (2M) and the FT-33R (222 MHz) are easy to operate, and give outstanding performance.



FT-411E
The affordable FT-411E is compact and durable. This 5 Watt VHF FM Handheld features a die-cast case, 40 memory channels, 10 DTMF memories, built-in VOX, CTCSS, and multiple scan modes.



FT-10/40R
These single-band handhelds are manufactured to MIL STD 810 specifications, featuring either 30 or 99 memories, CTCSS/DCS operation, Dual Watch, and are available in 2.5 Watt or 5 Watt versions, with four keypad options.



VR-500
This miniature Handheld Receiver provides FM, AM, SSB and CW reception on 100 kHz-1300 MHz, with 1091 memory channels, Smart Search,[™] versatile Dot Matrix display, Band Scope, and Dual Watch.



VX-1R
The pocket-sized VX-1R is small in size only. Featuring Smart Search,[™] DCS/CTCSS, Dual Watch, ARTS,[™] wide-band coverage (76-999* MHz plus AM BC). The VX-1R provides 291 memory channels, and puts out 1/2 Watt (1 Watt w/optional E-DC-15 DC Adapter).

* Cellular Blocked



VX-5R
Although Yaesu's newest Tri-Band Handheld Transceiver is the world's smallest, it offers the performance of a full-size unit. The VX-5R operates on the 50 MHz, 144 MHz and 430 MHz bands with 5 Watts of power output, along with ultra-wide receive coverage of the VHF and UHF spectrum, plus AM medium- and short-wave broadcast reception. The VX-5R is military rated, so its durable, lightweight design allows you to take it anywhere. It is equally suited to walking through the concrete jungle as it is to forging the raging rivers of a real one. Along with a temperature display, the optional barometer pressure sensor unit gives a read-out of barometric pressure and altitude.

TOUGH GUYS.

Choice of the World's top DX'ers

When you're small, you get picked on. Isn't that how it goes? Well not in Yaesu territory, because not only do we design compact handhelds for efficiency, but we give these clever little guys plenty of muscle. Yaesu handheld transceivers have earned the bragging rights for being the smallest handhelds with the most durable water resistant casings ever created. And packed inside the brawn are engineering accomplishments in performance that are unmatched in the industry. Our high-tech handheld transceivers provide clean power output on the VHF and UHF bands and offer revolutionary features that allows these tough guys to continually outperform the competition. Learn more about Yaesu products on the web at www.yaesu.com

AGNOR
HIGH TECH

Lucretiu Patrascanu 14, Bl. MY 3
Sc.A, Et. 4, Ap.15-16, Sector 3

Tel.:340.54.57
Fax:340.54.56

www.agnor.ro
office@agnor.ro

SIMPO 2000

Desfășurat la Galați, mai exact în zona Gârboavele, simpozionul s-a bucurat de o participare numeroasă și de o bună organizare. La deschidere au prezentat cuvântări de salut și diferite referate: **YO4REC** - Lucian Vechiu, **Fița Lovin** - Director DTSJ Galați, **YO4IT** - Turnea Nicu - Pagini din istoria Radioamatorismului gălățean, **YO3APG** - Vasile Ciobănița (Probleme actuale ale radioamatorismului YO), **YO4BKM** - Prof. Univ. Gh. Oproescu - (Program de arbitraj automată a competițiilor de US), **YO3CO** - Ilie Mihăescu - (Despre revista CONEX Club), **YO3AVO** - Dr.ing. Radu Ionescu și **YO3GDK** - ing. Cătălin Ionescu (Utilizarea PC la măsurători de impedanță în radiofrecvență), **YO3JW** - Fenyó Stefan (IOTA). S-au făcut și premierile la concursurile: Trofeul Carpați, Floarea de Mină, Cupa Brăilei.

Revista **CONEX CLUB** a acordat o serie de premii valoroase după cum urmează:

- *Voltmetru electronic digital* pentru RCJ Galați și pentru Candiano Breabăn din comuna Vatra Moldoviței (în vrederea înființării acolo a unui radioclub), *Aspirator praf pentru montaje electronice* lui YO5BIN - Toni de la Sighetul Marmajiei, *5 seturi șurubelnițe* pentru cei care au prezentat lucrări deosebite la Campionatul Național de Creație Tehnică, *câteva sute de reviste Conex Club* distribuite gratuit participanților.

Un alt gest deosebit, a fost făcut de **YO5CLN** - Ghiță Dromereschi care a oferit un transceiver **LUCI** pentru un participant la Campionatul Internațional de UUS care are mai puțin de 20 de ani, dar care a realizat în banda de 2m cel puțin 20 de QSO-uri.

Șase radioamatori au îndeplinit această condiție. Prin tragere la sorți, în sală, fericitul câștigător a devenit **YO4SVV**.

YO5CLN a mai sponsorizat simpozionul și cu câteva baksuri de apă minerală.

Paul Păncescu - YO8OT a oferit gratuit aproape 60 de litri de vin, sponsorizare deosebit de apreciată de participanți. Hi!

De asemenea, trebuie menționat sprijinul generos acordat de: **SIDEX Trading SA Galați**, **RECET SA Galați**, **ICMRSG Galați** și **HALLEY SA Galați**.

De mare interes s-au bucurat talciocul și mai ales masa festivă, la care s-a cântat și dansat până aproape spre dimineață.

Campionatul de Creație Tehnică a fost jurizat de:

- **YO5BLA** - Vasile Durdeu
 - **YO3AVO** - Ionescu Radu
 - **YO3RO** - Jula Gheorghe
 - **YO4RDN** - Bărbieru Valeriu
 - **YO9AZD** - Ionescu Sergiu
- Clasamentele arată astfel:

Secțiunea A (Aparatură și anexe pentru US)

1. **YO8RMB** - Budu Marian - Vaslui - **Campion Național**
Amplificator liniar 160 - 15m
2. **YO9CMF** - Mihai Paul - Călărași
Set echipamente pentru trafic US
3. **YO7FO** - Liviu Bucur - Pitești
Etaj final de putere
4. **YO9FBG** - Sandu Dixon - Ploiești
Transceiver pentru US
5. **YO7AQM** - Codreanu Laurențiu - Pitești
Sursă de laborator
6. **YO8AXP** - Neacșu Laurențiu - Bacău
Amplificator de putere cu tub GU29
7. **YO5BHG** - Fodor Vasile - Satu Mare
Antena tuner
8. **YO8BNK** - Breabăn Candiano - Suceava
Antenă 2/20

9. **YO5AT** - Cuibuș Iosif - Satu Mare

Receptor RGA

10. **YO5OFH** - Gaidoș Csaba - Satu Mare

TNC-2

11. **YO8KOS** - Rad. AEROSTAR Bacău

Amplificator logaritmic

Categoria B (Aparatură și anexe pentru UUS)

1. **YO4FRJ** - Arghiropol Adrian - Ploiești - **Campion Național**
Final 70 cm pentru banda de 432 MHz
2. **YO5AT** - Cuibuș Iosif - Satu Mare
Transceiver FM 144 - 146 MHz cu sinteză, controlat cu microcontroler.
33. **YO3GGO** - Mârzac Ioan - București
Transceiver FM cu sinteză pentru 2m
4. **YO4PY** - Bacalu Vitalie - Braila
RTM Banda 4 modificat pentru trafic în 2m
5. **YO7BBE** - Toader Marius - Câmpulung Muscel
Antenă omnidirecțională
6. **YO4GGW** - Iorga Adelina - Brăila
Antenă omnidirecțională
7. **YO5OCP** - Mihai Pănuș - Satu Mare
Etaj final de 20W pentru 144 MHz
8. **YO7LTO** - Petre Predoiu - Gorj
Generator FIF
9. **YO9BMB** - Andrușca Ioan - Ploiești
RTM Banda 4 modificat și Transverter 28 - 144 MHz
10. **YO9CMF** - Paul Mihail - Călărași; Sursă Stabilizată
11. **YO5BHG** - Fodor Vasile - Satu Mare; Alimentator 13,2 V/7A
12. **YO5OFH** - Gaidoș Csaba - Satu Mare; Modem 1200 Baud
13. **YO7DEC** - Toader Nicolae - Câmpulung Muscel
Reflectometru
14. **YO5OEE** - Anderco Adrian - Satu Mare
Automat pentru RGA
Mulțumiri tuturor participanților, sponsorilor precum și celor din Galați care au ajutat la buna organizare (**YO4REC** - Lucian, **4RDN** - Valerică, **4RXX** - Adi, **4RIV** - George, **4RFV** - Eugen etc.).
Ediția 2001 va avea loc la Iași. **YO3APG**

Coperta I-a.

* **YO2BEH** Branga Ioan Nelu din Lugoj

* **Friedrichshafen 2000. Imagini de la standul FRR.**

Abonamente pentru Semestrul II - 2000

- Abonamente individuale cu expediere la domiciliu: 45.000 lei
 - Abonamente colective: 40.000 lei
- Sumele se vor expedia în contul FRR: Trezoreria Sector I București 50.09.42666.50, menționând adresa completă a expeditorului.

RADIOCOMUNICAȚII ȘI RADIOAMATORISM 9/2000

Publicație editată de FRR; P.O.Box 22-50 R-71.100

București tlf/fax: 01/315.55.75

e-mail: yo3kaa@pcnet.pcnet.ro

Redactori: ing. Vasile Ciobănița **YO3APG**

dr. ing. Andrei Ciontu **YO3FGL**

ing. Ion Folea **YO5TE**

ing. Stefan Laurențiu **YO3GWR**

std. Octavian Codreanu **YO4GRH**

DTP: ing. George Merfu **YO7LLA**

Tiparit **BLANCA SRL**; Pret: 6000 lei ISSN=1222.9385

FRIEDRICHSHAFEN - 2000

Pentru radioamatori, orașul Friedrichshafen a devenit cunoscut prin faptul că anual la sfârșitul lunii iunie, timp de 4 zile, aici se desfășoară un mare târg internațional. Manifestările denumite HAM RADIO și HAMtronic adună câteva zeci de mii de participanți din toate continentele lumii.

Totul a început în 1950. Războiul se încheiase de câțiva ani. Un grup de radioamatori germani hotărăsc să facă o întâlnire în partea de sud a țării, aici unde distrugerile nu erau atât de mari, deși orașul cunoscuse bombele aliaților. An de an întâlnirea devine tot mai cunoscută și numărul participanților crește.

Începând cu 1975 organizarea este preluată de Asociația Radioamatorilor din Germania - DARC (Deutscher Amateur - Radio - Club). HAM RADIO devenind astăzi un târg modern, la care pe lângă radioamatori, participă peste 300 de firme din 40 de țări. Sunt firme ce produc sau comercializează aparatură de comunicații, componente electronice, antene, literatură tehnică, aparatură de măsură și control, produse informatice etc. Suprafața de expunere: 25.000 mp. Întâlnim aici pe lângă firmele clasice: YAESU, KENWOOD, ICOM, zeci și sute de firme mai puțin cunoscute din Europa, America sau Australia. Produsele și în special cele noi se află la dispoziția vizitatorilor, care le pot testa și care pot cere și obține orice fel de informații.

În alte săli special amenajate, se prezintă comunicări referitoare la tehnologii noi, echipamente moderne, expediții, realizându-se un adevărat schimb de opinii privind problemele actuale ale radioamatorilor.

În acest an, ciclul de conferințe a fost deschis de Horst Ehrnsperger - Ministru Federal al Industriei, după care timp de trei zile au putut fi audiate alte 46 de comunicări susținute de aproape 100 de referenți. Dintre aceștia amintim pe DK9HU - Erhard Voegel - președintele DARC care a prezentat *Problemele și realizările radioamatorilor din Germania*, DL3LBA - *Linux și radioamatori*, DJ7ZY - *Reglementări ale Oficiului de Poștă și Telecomunicații*, HB9NP - *Noi moduri digitale*, DJ2LF - *Trafic în unde ultralungi*, DL4EBK - *Compatibilitatea electromagnetică*, DF5DP - *Satelitul AMSAT Phase 3D*, DJ4UF - *Autorizațiile de Clasa a 3-a - noutăți - limitări - privilegiu*, DK2DO - *Linii și cabluri coaxiale moderne*, DL9QJ - *Radioamatorism și Internet*, DL1MEV - *Programe de simulare a antenelor*, DF2DS - *Folosirea televiziunii digitale de amatori*, G3KMA - *Programul IOTA*, etc. Au avut loc de asemenea întâlniri a celor pasionați de diplome, a radioamatorilor cercetași, a radioamatoarelor, a veteranilor, a colecționarilor de QSL-uri, sau de aparatură veche, ale organizațiilor ce asigură ajutor în cazuri de urgență, ale celor pasionați de telegrafie viteză sau radiogoniometrie de amator.

În alte hale, într-o organizare perfectă, diferite societăți și asociații și-au amenajat standuri proprii. În ultimii 4 ani, prin efortul personal al unor radioamatori români și federația noastră a avut un asemenea stand, apreciat de vizitatori. Anul acesta am prezentat postere cu aspecte din activitățile radioamatorilor YO, cu vizita Suveranului Pontif în România, Eclipsa din august 1999, Camp. Mondial IARU, Camp. Internațional de US și UUS, programul nostru de diplome, situația repetoarelor, despre autorizațiile CEPT și certificatele HAREC, revista Radiocomunicații și Radioamatorism, probleme referitoare la includerea insulelor din Marea Neagră în programul IOTA etc.

Nu au lipsit nici o serie de colecții de QSL-uri vechi din anii '30 precum și postere primite de la Agenția Națională de Turism. Alte sectoare foarte aglomerate au fost cele în care s-a desfășurat "tâlciocul" (flea market). O animație incredibilă. Se

cumpără și se vinde orice.

Echipamente industriale sau home made, aparatură militară dezafectată, componente și subansamble, antene, conectoare, butoane, reviste, cărți etc.

Afară, direct din mașini sau rulate special amenajate (și se oferă diferite echipamente. Dacă la conferințele privind expedițiile și noutățile în radioamatorism au participat mai mult YO5BRZ, YO3RA, YO6QT, aici în halele tâlciocului au "săpat" mai mult radioamatorii noștri constructori: YO3AXJ, YO3AJN, YO9FSB, YO7LLA, YO9FLL etc.

A fost un prilej bun de a prezenta radioamatorismul românesc, țara noastră, de a contacta reprezentanți ai IARU, IOTA, DARC sau a altor asociații de radioamatori.

INSULE ȘI DX YO3APG

Vară, timp de vacanță, de odihnă și relaxare, dar mai ales timp de activări de country necunoscute, de insule mai mult sau mai puțin rare, de stînci rătăcite în cine știe ce mare sau ocean, de către un oarecare radiomator care petrecând propria vacanță unde activitatea radioamatoricească nu exista sau în vreo insulă pierdută, de oportunitatea tuturor OM-ilor să avanseze în clasificările diplomei IOTA. IIA sau oricare altă recunoaștere.

Timp deci de expediții pe insule neospitaliere și deșerte, locuite numai de animale sălbatice sau de păsări migratoare, paradisuri naturale nelocuite și ostile omului vor deveni pentru câteva zile sediul de operații din partea unor cutezători OM-ii. Aceștia în numele radioamatorismului vor sfida adversitățile atmosferice, probleme organizatorice, nu chiar de neglijat, pregătind în foarte scurt timp o stație de radioamatori operativă în toate benzile, în toate modurile de transmisie, RTX și computer, antene directive și dipoli, generatorii și baterii, cabluri și conectori de toate tipurile. Totul a fost transportat cu meticulozitate în așa fel încât să se evite apariția problemelor în timpul funcționării neîntrerupte a stației.

Va fi necesar numai un scurt CQ în jurul frecvențelor convenționale pentru a dezlănțui pile-up-ul ce va deveni imediat confuz și neîntrerupt, nestăpănit și fără pauze, nici măcar în micile pauze luate de către OM-ii pentru a se schimba între ei la operarea stației, nu va putea opri dorința fără, limite de cine nu vrea în mod absolut să piardă oportunitatea legăturii acelei insule sau country atât de dificil de realizat.

Va trece încă mult timp înainte ca cineva să se decidă să pună piciorul în prag pentru ca, iată în OM s-a născut dorința legăturii cu orice preț. Semnalul ce ajungea și așa slab din acea insulă rătăcită nu se mai aude, poate operatorul copleșit de chemări e obosit să mai asculte și a făcut QRT. Sau a fost înfrînt de KW-ții amplificatoarelor liniare în așa fel încât a făcut aproape imposibil contactul fatidic care n-a făcut să viseze radioamatorul, purtând gândul operatorului să traverseze mări și oceane pentru a se opri și a transmite din acea insulă exotică cu plaje de nisip alb, vegetație tropicală luxuriantă mișcată de o ușoară briză marină, cu apa cristalină și limpede a oceanului. Din difuzorul RTX-ului se aude confuzia pile-up-ului rupând acea tăcere ireală ce domnește în acele paradisuri exotice. Pe neașteptate vraja se rupe, operatorul expediției DX tocmai cheamă nominativul nostru, iată recea întoarcere la realitate, iată spărgându-se iluzia ce făcea să se simtă atât de departe, iată QSO-ul atât de mult visat, acum e în posesia noastră. Pe neașteptate bucuria e înlocuită cu un sentiment de tulburare, ceea ce părea un lucru imposibil urmând cu îndărmire s-a rezolvat într-o clipă, în câteva secunde și în grabă, acele voci fără încetare chemau de ore și ore au făcut în așa fel ca, contactul să fie cel mai scurt posibil cu speranța că următoarea chemare să le fie adresată unora dintre ei. Din acea legătură în viitor va rămâne doar o mică amintire și speranță de a primi QSL-ul ce va confirma QSO-ul. Meserie dificilă aceea de expediționar, mulțumit doar de neîntreruptele chemări ale oamenilor mondiali, de care se apropie, purtând un nou izvor de viață în acea lume poliedrică și de culori vii tot tipul în agitație.

În sufletul său OM-ul e mulțumit de propria sa prezență în radio, îndemnând pe aceia ce au posibilitatea să facă expediții DX de a continua și în viitor, urmărind acel vis radioamatoricesc care este legătura la lungă distanță.

IK3DRO Gino Scarpin traducere YO8CNA - Ando

Un analizor zgomot/ciștișig

Acest articol reprezintă traducerea materialului "A Noise/Gain Analyzer" de Harke Smits, PA0HRK, apărută în revista QEX din noiembrie/decembrie 1999. Acest analizor home-made măsoară simultan zgomotul și ciștișigul unui modul de RF, utilizând un convertor logaritmic AD8307, de la Analog Devices, care are gama dinamică de 90dB și funcționează pînă la 500MHz.

Dacă lucrați în mod frecvent cu amplificatoare de zgomot redus (LNA-low noise amplifier), aveți nevoie de un analizor zgomot/ciștișig. Am dorit un astfel de aparat de mai mult timp, dar acela pe care l-am construit demult nu era suficient de bun și avea multe neajunsuri. Chiar atunci cînd m-am decis să cumpăr unul - un AIL7380 care costa 750USD am citit articolul lui Luis Cupido[1]. Mi-a plăcut ideea foarte mult dar nu am fost de acord cu utilizarea unui amplificator vertical de la un analizor de spectru pe post de amplificator logaritmic. În același timp am aflat de amplificatorul (convertorul) logaritmic AD8307, cu o bandă de frecvențe de cel puțin 500MHz și cu o gamă dinamică de cca. 90dB. Asta era ce-mi trebuia! Acum puteam să-mi construiesc propriul analizor performant zgomot/ciștișig.

În acest articol descriu analizorul meu zgomot/ciștișig, cum funcționează, cum se construiește și cum se lucrează cu el. Cu acest aparat puteți măsura cifra de zgomot și ciștișigul aparatului testat (DUT-device under test), simultan (și în timp real!) la un preț de cost mai mic decît cel al unui aparat industrial.

Cum funcționează

Într-un laborator este ceva obișnuit să se măsoare cifra de zgomot comutînd la intrarea DUT o sursă de zgomot activă/inactivă (ON/OFF) și apoi să determinăm cifra de zgomot din puterea de RF măsurată în cele două cazuri. Se poate utiliza un bolometru pentru măsurarea puterii de RF și un calculator de buzunar pentru a calcula cifra de zgomot, dar aceasta este o metodă lentă, dificilă și supusă erorilor. În analizorul descris în continuare se utilizează un convertor logaritmic (circuitul AD8307 de la Analog Devices) pentru a converti semnalul de RF într-un semnal de "putere" de 100mV/dB. Cele două semnale rezultate (cu sursa de zgomot ON, respectiv OFF) sunt stocate în două circuite de tip eșantionează-și-reține (S/H-sample-and-hold) și conduse la un bloc de calcul analogic realizat cu amplificatoare operaționale pentru calcularea cifrei de zgomot și a ciștișigului. Valorile rezultate din calcul sunt afișate pe două paneltre LCD cumpărate "de-a gata". Cifra de zgomot (indicată de instrument în timp real) este cifra de zgomot compozită a sistemului. Va trebui utilizată formula lui Friis adaptată (ec. 4) pentru a calcula cifra de zgomot a componentei supuse măsurătorii.

Circuitele

Analizorul de zgomot/ciștișig constă din trei blocuri (Fig. 1): o secțiune de intrare de RF care include și convertorul logaritmic, procesoarele de semnal cu afișoarele și sursele de alimentare stabilizate (de +12V, -9V și o sursă comutabilă ON/OFF de +28,0V).

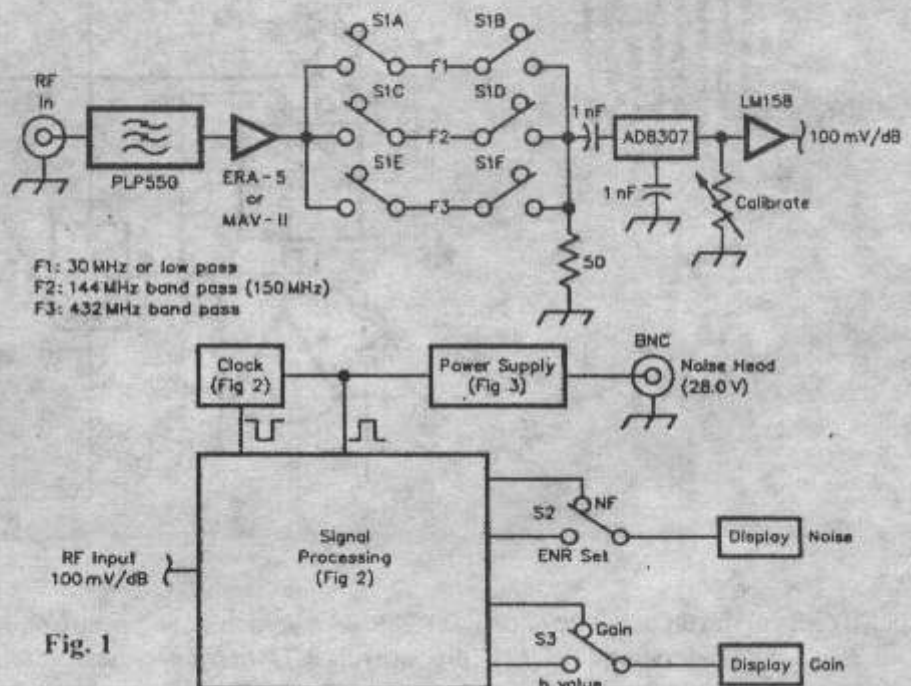
Secțiunea de intrare de RF conține un filtru trece-jos, un amplificator cu MMIC (MMIC-monolithic microwave integrated circuit), cîteva filtre comutabile, convertorul logaritmic AD8307 și un amplificator operațional pentru a avea o ieșire normalizată de 100mV/dB.

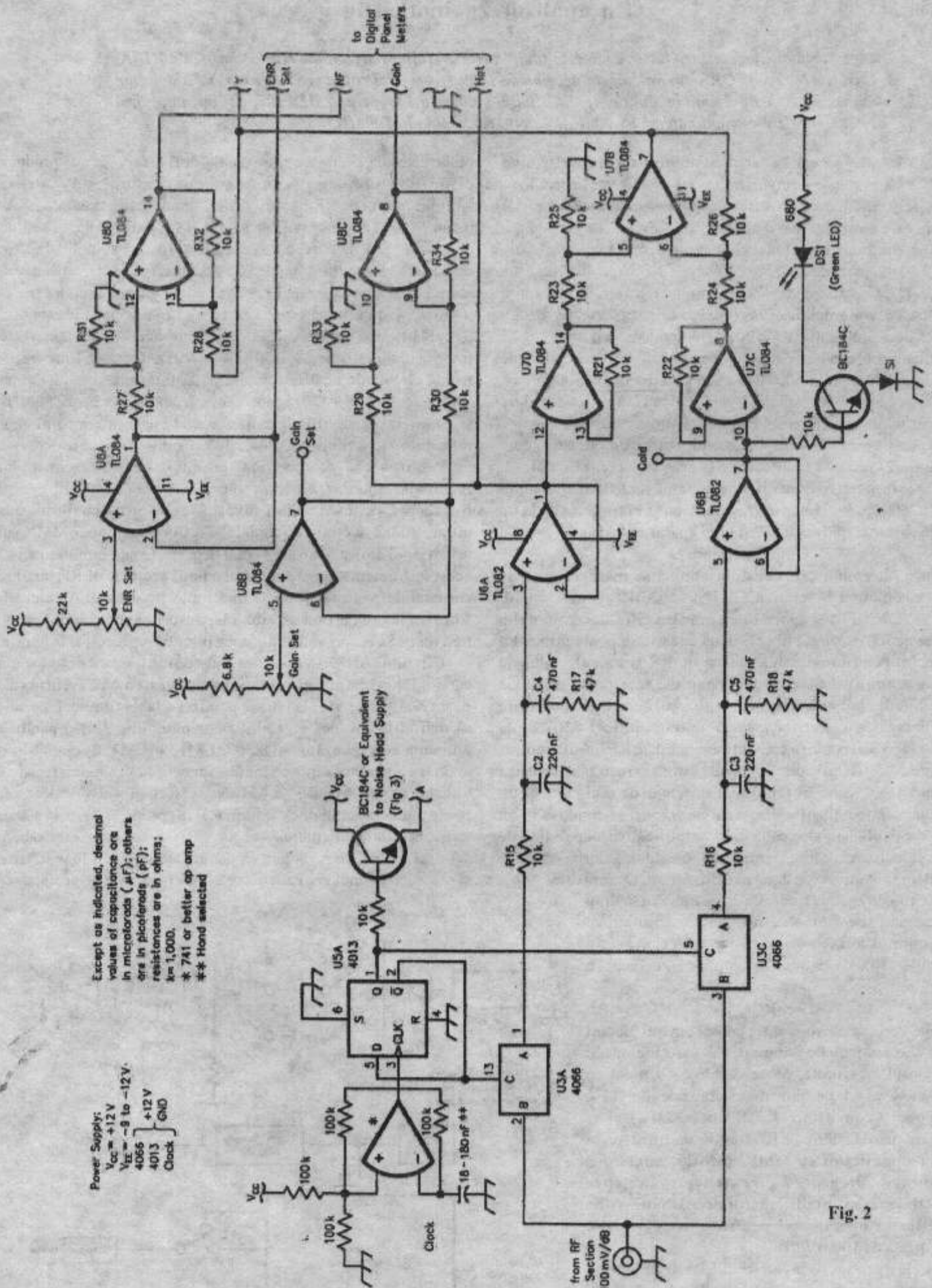
Filtrele trece-jos de la intrare (PLP550 de la Mini Circuits) previn pătrunderea la amplificatorul de RF cu MMIC a oricăror semnale nedorite generate de DUT. În anumite transvertere un semnal parazit

puternic este generat de către oscilatorul local și acesta produce distorsiuni sau chiar saturarea amplificatorului de intrare. Amplificatorul de RF este un MMIC standard (de exemplu ERA-5 sau MAV-11) cu un ciștișig de cca. 13...20dB. Punctul său de compresie la ieșire trebuie să fie de +17dBm sau mai bun. Am descoperit că amplificatoarele ERA-5 au un comportament instabil atunci cînd sunt utilizate împreună cu un filtru de intrare trece-jos, așa că am utilizat o perlă de ferită în serie cu condensatorul de cuplare de pe intrare. Ca radioamator utilizez frecvent frecvențe intermediare (IF) de 30, 150 și 432 MHz. Utilizez filtre trece-bandă elicoidale pentru ultimele două frecvențe amintite și un filtru trece-jos (PLP150) pentru acoperirea ambelor benzi: 30MHz și 144MHz. Toate filtrele sunt comutate prin intermediul unor relee miniatură (Fujitsu 21006, de la Conrad sau echivalente).

Pentru a ciștișiga experiență în construirea instrumentului recomand abordarea pentru început a unei secțiuni, pentru frecvența Dvs. intermediară favorită. Se pornește cu filtrul de la intrare (două secțiuni elicoidale sau trece-jos), apoi MMIC-ul urmat de al doilea filtru și așa mai departe. Odată familiarizați cu acest instrument se poate construi o nouă secțiune de RF, cu filtre comutabile pentru a acoperi mai multe frecvențe. Atențiune!: filtrele elicoidale tind să aibă răspunsuri parazite la frecvențe mai mari. Se recomandă utilizarea unor filtre trece-jos la intrare.

Circuitul AD8307 este încadrat conform schemei tipice din catalog[2]. Are o impedanță de intrare ridicată așa că avem nevoie de un rezistor de 51Ω la intrare pentru a adapta filtrele. Este bine să mai utilizăm încă un stabilizator monolitic 78L05 pentru a alimenta corespunzător AD8307. LM158 (LM358) este utilizat aici cu alimentare dintr-o singură sursă (+12V, singura tensiune utilizată de partea de RF). A fost ales acest circuit integrat deoarece poate prelucra semnale de intrare foarte apropiate de masă sau de tensiunea de alimentare. Această parte a schemei este numai schițată, deoarece presupun că deoarece înțelegeți funcționarea și necesitatea unui analizor de zgomot/ciștișig, este de presupus că





puteți construi singuri partea de intrare de RF. Ieșirea secțiunii de RF este condusă la circuitele S/H (din capsula CD4066 cu condensatoarele de ieșire C2 și C3) pentru a avea semnale stabile

pentru ambele stări (ON și OFF la sursa de zgomot). Circuitele sunt prezentate în Fig. 2. Principala sarcină a amplificatoarelor operaționale este de a calcula valorile pentru câștig și zgomot.

Formula este dată de ec. 1 și ec. 2, unde ENR = raportul de exces de zgomot: puterea de zgomot a sursei de zgomot (pe poziția ON) împărțită la puterea de zgomot generată de un rezistor de 50Ω la temperatura camerei (pe poziția OFF). De obicei valorile pentru ENR sunt dependente de frecvență și sunt disponibile odată cu sursa de zgomot (care a fost calibrată în prealabil în laboratoare specializate). Și noi, ca amatori avem, de asemenea nevoie să cunoaștem-cît mai precis cu putință, valoarea ENR (în dB) a sursei noastre de zgomot la frecvența care ne interesează. P_{hot} =puterea măsurată la ieșirea DUT cu sursa de zgomot în poziția ON, P_{cold} =puterea de zgomot măsurată la ieșirea DUT cu sursa de zgomot în poziția OFF.

Problema este că instrumentul $NF_{dB} = \log\left(\frac{ENR}{Y}\right) = \log(ENR) - \log(Y)$ (ec. 3) nostru poate calcula NFdB doar conform ec. 3. Se constată introducerea unei erori sistematice de măsură. Rezultatul este obținut doar prin scăderea tensiunilor proporționale cu P_{hot} și P_{cold} , așa cum sunt ele obținute în partea de RF. Stirea cea bună este că eroarea este mică, mai ales pentru valori mici ale lui NF, așa cum se arată în Tabelul 1.

Cifra de zgomot pentru DUT (NFDUT) poate fi calculată cu formula lui Friis modificată[3], așa cum se arată în ec. 4 unde GDUT este câștigul DUT; de $NF_{OUT} = NF - \frac{F_{NMI} - 1}{G_{DUT}}$ (ec. 4) remarcat că NF nu mai este în dB.

Toate nivelele de semnal în secțiunea amplificatoarelor operaționale sunt normalizate la 100mV/dB, așa că valoarea pentru ENR este generată cu un potențiomtru și un amplificator operațional separator. Pentru a se indica dacă semnalul pentru poziția OFF este suficient de ridicat, am introdus un circuit de semnalizare cu un LED. LED-ul (verde) se aprinde dacă valoarea pentru "la rece" este mai mare de 1,3V. În mod normal, în timpul măsurătorii, LED-ul trebuie să fie aprins. Am utilizat două panelmetre cu cristale lichide pentru măsurarea valorilor pentru zgomot și pentru câștig. Ele au domeniul de intrare de 0...20V și punctul zecimal al afișajului a fost mutat cu o poziție la dreapta. Am folosit două comutatoare basculante cu reținere pentru comutarea între valorile de câștig/"la cald" și pentru cifra de zgomot/"prescriere ENR". Detalii pot fi găsite în VHF Communication, și vă sfătuiesc să citiți cu atenție articolul înainte să puneți letconul la încălzit!

Sursele de alimentare fixe sunt realizate cu regulatoare cu trei terminale și nu necesită precizări suplimentare. Sursa de tensiune de 28V (vezi Fig. 3) a fost construită pe baza bătrînului și bunului LM723. Da, dragi cititori, acest circuit integrat este așa de bătrîn încît mulți dintre Dvs. nici nu erau născuți cînd a fost proiectat, la sfîrșitul anilor șaizeci. Tranzistorul 2N3053 (sau ceva echivalent) de la intrare reduce pur și simplu tensiunea pentru a preveni aplicarea unei tensiuni mai mari decît cea suportată de LM723 pe intrare (40V pentru varianta originală, 30V pentru BM723, N. Trad.). Schema de încadrare a circuitului este luată direct din catalog. LM723 este comutat ON/OFF de către un tranzistor comandat de un optocuplor. Această variantă previne formarea buclilor de masă care ar putea influența performanțele instrumentului.

Pentru sporirea versatilității, s-a introdus un comutator cu trei poziții: funcționare normală, oprit (pentru schimbarea sursei de zgomot, de exemplu) și cuplat continuu. În funcționare normală sursa de zgomot este alimentată în ritmul unui semnal pulsator care comută sursa ON/OFF cu o frecvență între 10 și 100Hz. Acest semnal este obținut de la un oscilator cu amplificator operațional urmat de un bistabil de tip D. Ambele ieșiri ale bistabilului sunt cuplate la circuitele de S/H pentru a obține valori stabile pentru semnalele de "rece"-sursa de zgomot oprită și "cald"-sursa de zgomot pornită; o ieșire este de asemenea utilizată pentru comutarea sursei de alimentare a sursei de zgomot.

Cum să-l construim

Pentru început, să știți că nu se dau desene de cablaj! La urma urmei acesta nu este un proiect pentru începători! Pentru a-l construi trebuie să cunoașteți bine tehnica lucrului cu circuite numerice, surse de alimentare, amplificatoare operaționale, circuite de RF, surse de zgomot și măsurători asupra zgomotului în RF.

Toate sursele de alimentare sunt construite pe plăci universale de tip Veroboard; partea de RF și circuitele cu amplificatoare operaționale sunt construite pe cablaje dublu strat din epoxi (FR4). Placa de RF este lipită într-un mic ecran format dintr-o cutie stanată, cu conectoare SMC și condensatoare de trecere lipite pe pereți, pentru conexiunile externe. În aparatul construit de mine partea de RF conține toate circuitele de la filtrele de intrare pînă la amplificatorul de ieșire cu LM358.

Nu am utilizat socluri. Circuitele integrate au terminalele îndreptate cu 90° (în prelungirea capsulei), cu excepția terminalelor care se leagă la masă. Acestea au pinul terminal tăiat și porțiunea mai lată care iese din capsulă lipită direct pe planul de masă. Circuitele integrate au fost montate cu marcajul în sus. Trebuie să utilizați niște condensatoare mici de 100nF la fiecare terminal de alimentare pentru o bună decuplare și pentru o fixare suplimentară. trebuie utilizate numai rezistoare cu peliculă metalică; să cumpărați 100 de bucăți de 10KΩ, o să aveți nevoie de multe din ele. Trebuie utilizate potențiometre multitură, bobinate, pentru elementele de reglare pentru ENR și câștig și un potențiomtru semireglabil multitură de bună calitate pentru calibrarea ieșirii integratului LM358.

Eu am construit analizorul pas cu pas, cu o mulțime de

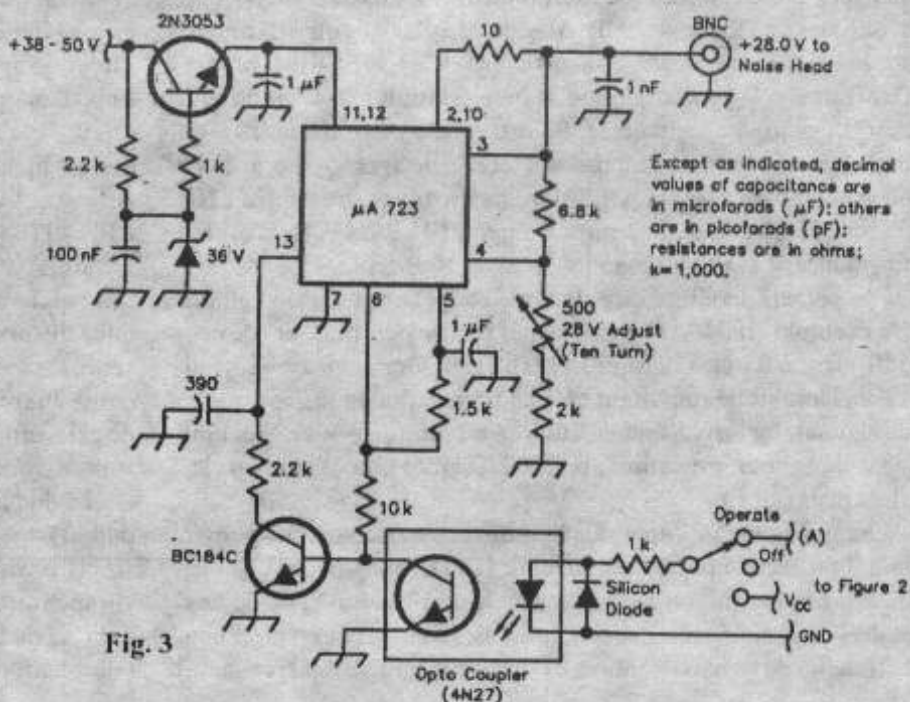


Fig. 3

verificări după fiecare operație; acest lucru m-a ajutat reducând, la final, timpul de punere în funcțiune. Trebuie utilizată o carcasă metalică completă pentru aparat. Am construit primul prototip, cu un singur afișaj, muncind cam zece după-amieze. Versiunea finală, cu două afișaje, într-o cutie "curățică" a durat mult mai mult...

Alinierea

Sunt două puncte de reglaj: sursa de 28V pentru sursa de zgomot și convertorul logaritmic. Sursa de 28V trebuie reglată foarte precis pe 28,00V (*N. Trad.* Este nevoie de un multimetru cu 33/4 digiți). Se reglează sursa cu sursa de zgomot conectată, după cel puțin 30 minute timp de stabilizare termică, utilizând un voltmetru precis.

Reglarea amplificatorului (convertorului) logaritmic este ceva mai complicată. Am utilizat un atenuator de precizie de 40dB, în montură cu conector de tip N, (de exemplu de la Narda, modelul 777). Este nevoie și de un generator de semnal cu posibilitatea de reglare precisă a nivelului de ieșire. Am utilizat un HP-8640B din dotarea personală. Conectați generatorul de RF la intrarea părții de RF și reglați-l pe frecvența cea mai mare (în cazul meu 432MHz). Reglați nivelul de RF în așa fel încât ieșirea părții de RF (la ieșirea circuitului LM358) să avem 8V. Introduceți atenuatorul. Ajustați potențiometrul semireglabil aferent LM358 pînă când la ieșirea secțiunii de RF avem 4,0V. Se scoate atenuatorul din circuit. Se repetă această procedură pînă cînd diferența tensiunilor se încadrează în specificațiile atenuatorului; în cazul meu 4,0V pentru 40dB înseamnă 100mV/dB. Nu aveți încredere prea mare în atenuatorul generatorului de semnal; pur și simplu nu este suficient de precis. Verificați gama dinamică a părții de RF prin modificarea nivelului de intrare de RF; sub 1V la ieșire sau peste 9V apar neliniarități. Luați atenuatorul dvs. favorit, cu mai multe trepte de 1dB și 10dB, verificați cu diferite valori și vedeți ce se întîmplă.

Sursa de zgomot

Evident, sursa de zgomot este o componentă esențială. Dacă aveți mare noroc, puteți găsi una, la mîna a doua, la un preț de cost rezonabil. De obicei, nu se întîmplă așa și trebuie să vă faceți una singuri. Eu am făcut o sursă simplă de zgomot utilizînd o joncțiune bază-emitor polarizată invers a unui tranzistor de RF. Ea poate fi montată într-un conector (de exemplu BNC sau N). Permite măsurători pînă la 2,3GHz, dacă este urmată de un atenuator corespunzător (de exemplu cu atenuare de 20dB) pentru a obține o valoare a ENR de cca. 15dB. (Pentru lămuriri suplimentare se poate consulta articolul lui DB2GM[4]). Generatoare de zgomot mult mai bune și mult mai scumpe sunt descrise și în alte articole[5]. Pentru aceste surse de zgomot de performanță sunt necesare diode speciale de zgomot. Eu utilizez un generator de zgomot AIL7616 care are o valoare pentru ENR de cca. 15dB-garantată pentru domeniul 1...12,4GHz, dar care funcționează foarte bine, în jos, pînă la 100MHz.

În prezent tendința este de a utiliza generatoare de zgomot (de exemplu HP346A) cu valori mai reduse pentru ENR (de cca. 5dB) pentru a putea măsura LNA-urile moderne cu zgomot sub 1dB. Deosebit de important este ca impedanța de ieșire a sursei de zgomot, inclusiv a atenuatorului să nu difere de 50Ω, nici cînd sursa de zgomot este alimentată (ON) și nici atunci cînd nu este alimentată (OFF).

Se mai poate întîmpla să găsiți niște generatoare de zgomot, inițial proiectate pentru autotestare (BITE-built-in Test Equipment). Ele produc un zgomot cu valoarea pentru ENR de cca. 35dB și necesită, pentru această aplicație, un atenuator foarte bun. Este demn de remarcat, totuși, că ele produc un semnal rezonabil

în banda de 24GHz, fără atenuator! În cazul meu am utilizat un ghid de undă ca izolator între sursa de zgomot și DUT.

Unele surse de zgomot nu comută repede. Într-o configurație obișnuită de măsurare (sursa de zgomot, DUT și un instrument de măsură interconectat corespunzător) se poate verifica timpul de creștere cu un osciloscop la ieșirea secțiunii de RF. Timpul de creștere cu sursa mea de zgomot de la AIL este mai mic de 10μsec. Dacă nu aveți ceva la fel de bun, trebuie micșorată frecvența oscilatorului (din Fig. 2). Frecvența de comutare este de cca. 10Hz pentru sursele de zgomot lente și 100Hz pentru cel rapide (AIL). Uneori este necesar să coboriți oricum la 10Hz. Desigur, acest lucru nu micșorează timpul de creștere în valoare absolută, dar reduce raportul dintre timpul de creștere și perioada de eșantionare.

Operare

Cu excepția citorva particularități, operarea analizorului este foarte simplă. Dacă DUT este un LNA, probabil că aveți nevoie de un transverter. Conectați sursa de zgomot la intrarea ei și ieșirea transverterului la intrarea instrumentului. Reglați potențiometrul pentru ENR pentru a fixa valoarea pentru sursa de zgomot la frecvența de măsurare-frecvența de intrare a transverterului. Măsurați factorul de zgomot al transverterului pentru a verifica dacă măsuratoarea are rost. Întotdeauna trebuie să vă asigurați că măsurați în interiorul domeniului de măsură al analizorului zgomot/cîștig. Reglați potențiometrul de cîștig pînă cînd obțineți pe instrumentul care afișează cîștigul valoarea 0dB; valoarea absolută a cîștigului este nerelevantă. Introduceți DUT și apoi citiți valoarea pentru cifra de zgomot și pentru cîștig. Dacă DUT este un atenuator, cablu, releu sau altă componentă pasivă, indicația negativă a instrumentului de afișare a cîștigului trebuie interpretată ca atenuare. De remarcat că nu se poate măsura direct NF-ul instrumentului, din cauza cîștigului insuficient. Aveți nevoie întotdeauna de ceva amplificare înaintea secțiunii de RF. Puteți mări cîștigul secțiunii de RF, dar trebuie să vă asigurați că se păstrează linearitatea și mai trebuie introduse filtre.

Performanțe și posibile îmbunătățiri

Cît de bună este precizia obținută? Măsurătorile de zgomot nu sunt o activitate trivială [6],[7]. Reamintiți-vă de fiecare dată că lucrați cu semnale foarte apropiate de palierul de zgomot al componentelor. Fiți atenți la fiecare posibile surse de erori în special cînd faceți măsurători de cifre de zgomot sub 1dB. Aveți neapărat nevoie de o sursă de zgomot cu o putere de zgomot la ieșire bine cunoscută (nivelul ENR) deoarece ea are un impact direct asupra preciziei. Sursa de zgomot trebuie să aibă o impedanță constantă de 50Ω la ieșire, în gama frecvențelor de lucru, fie că este ON, fie că este OFF. Trebuie să lucrați într-un mediu lipsit de semnale perturbatoare de RF-nu la *field-day*! Aparatul trebuie să lucreze în limita linearității sale. Urmăriți LED-ul (de tensiune redusă) și pentru nivele mari de semnal la intrare! Aveți nevoie de o bună filtrare la intrare pentru a elimina semnalele nedorite de la transverterul DUT-ului, care pot produce distorsiuni în etajul de conversie logaritmică. Trebuie ținut seama și de distribuirea judicioasă a cîștigului în lanțul de măsurare. Alte surse de erori sunt binecunoscute, ținînd cont de cele amintite anterior. În general, cele mai multe surse de erori sunt în afara aparatului.

Lăsînd la o parte linearitatea convertorului logaritmic, precizia de bază a aparatului este estimată la cca. 0,1 dB într-un mediu stabil termic. Se poate îmbunătăți această precizie utilizînd compensarea derivatei amplificatoarelor operaționale; în opinia mea aceasta nu se justifică, nici prin cost nici prin sporirea complexității schemei. Specificațiile tehnice ale convertorului

logaritmice indică o precizie de $\pm 0,3\text{dB}$ pe un domeniu de 80dB și la frecvențe sub 100MHz . A reieșit că precizia este chiar mai bună considerând gama redusă a factorilor Y pe care o întâlnim la măsurare. Pentru HP8970 producătorul garantează o precizie de $\pm 0,2\text{dB}$, așa că avem performanțe comparabile...

Eroarea sistematică de măsurare care rezultă din modul de calcul a cifrei de zgomot poate fi cu ușurință corectată utilizând Tabelul 1.

Tabelul 1

$$\text{ENR}=16\text{dB}, \text{NF}'=\log(\text{ENR})-\log(Y), \text{NF}=\log[\text{ENR}/(Y-1)]$$

NF' (masurat, dB)	Corectie (dB)	NF (corectat, dB)	Y
0,50	0,14	0,64	35,48
1,00	0,16	1,16	31,62
1,50	0,18	1,68	28,18
2,00	0,20	2,20	25,12
2,50	0,22	2,72	22,39
3,00	0,24	3,24	19,95
3,50	0,27	3,77	17,78
4,00	0,30	4,30	15,85
4,50	0,34	4,84	14,13
5,00	0,38	5,38	12,59
6,00	0,48	6,48	10,00
7,00	0,60	7,60	7,94
8,00	0,77	8,77	6,31
9,00	0,99	9,99	5,01
10,00	1,28	11,28	3,98

Poate fi acest drăguț instrument îmbunătățit? Ei bine, da, mai ales dacă vă pricepeți la sisteme cu microcontrollere. Un microcontroller cu convertor A/N (ADC) cum sunt cele din familia PIC, poate fi programat să "răspundă" de toate calculele și de afișare. Această variantă ar elimina și corecția impusă de Tabelul 1, datele fiind incluse în memoria microcontrollerului și corecția făcându-se în timpul măsurării. Microcontrollerul poate verifica nivelul semnalului de intrare și automatiza măsurarea câștigului, memorând valoarea curentă și calculând câștigul după introducerea DUT (și apăsarea unui buton de confirmare). O funcțiune utilă ar fi calcularea cifrei de zgomot reale a DUT în locul cifrei de zgomot a sistemului.

Trebuie să vă feriți de intrerfențele produse de microcontroller. Ne mai putem gândi și la alte funcțiuni, dar deja acesta este un alt proiect.

Mulțumiri

Luis Cupido merită mult pentru ideea sa originală. Proiectanții de la Analog Devices merită în mod sigur Premiul Nobel pentru convertorul logaritmice. Au reușit să facă un integrat deosebit de versatil, cu performanțe nemaiîntâlnite, care este util și în numeroase alte aplicații. Ați visat cumva la propriul Dvs. analizor

DIVERSE

* Vând sau schimb cu TV color diagonala mica, statie radio A412, 5 benzi (cu probleme de autooscilație), cu documentatie completa, microfon, difuzor si doua tuburi GU50.

* Vând sau schimb cu monitor color VGA, receptor radio R311 (1-15 MHz), cu documentatie completa, alimentator si doua seturi tuburi rezerva. **YO2BPZ**- Adrian

* **FRR** oferă cristale de cuarț cu frecvența de **38,666MHz**,

de spectru? S-ar putea să devină realitate... Dacă aveți neclarități sau doriți lămuriri suplimentare, contactați-mă.

Bibliografie

1. L. Cupido, CT1DMK, UKW Berichte, No. 2, 1998, pp 77-84.
2. AD8370, fișă de catalog, Analog Devices Inc., SUA, adresa de Internet: <http://products.analog.com/products/info.asp?product=AD8307>
3. R. Straw, N6BV, editor, The 2000 ARRL Handbook, pp 26.34-26.35, ec. 19
4. M. Ulbricht, DB2GM, UKW Berichte, No.2, 1981, pp148-153
5. R. Bertelsmeier, DJ9BV, A Broadband Noise Source, în DUBUS No. 2, 1996, se poate consulta de asemenea UKW Berichte, No. 2, 1984
6. Notă de aplicație de la Hewlett-Packard nr. 57-2: Noise Figure Measurement Accuracy. Atenție: odată ce ați citit această notă de aplicații, probabil nu veți mai dori să faceți măsurători de zgomot, deloc... Un fișier-copie, în format .pdf, citibil cu Acrobat Reader, poate fi găsit la <http://www.tmo.hp.com/tmo/datasheets/English/HP346A.html>
7. A. Ward, WB5LUA, Noise Figure Measurements, în Microwave Update (Newington Connecticut: ARRL, 1997)

UKW Berichte și DUBUS sunt publicații germane, fiecare publicată de patru ori pe an. UKW Berichte mai este cunoscută și sub numele de VHF Communications. DUBUS este o revistă bilingvă, în germană și engleză. Adresele de Internet: ukwbericht@aol.com; <http://www.ukwberichte.de/>; dubus@t-online.de; <http://www.marsport.demon.co.uk/dubus.htm>

Harke Smits (născut în 1953) deține prima autorizație de radioamator din 1973 (Clasa C, echivalentul olandez pentru 144MHz și mai sus), când era deja interesat de electronică și de radiofrecvență de zece ani. Un an mai târziu stăpânea telegrafia suficient de bine pentru a obține o licență de clasa A. A început repede să construiască receptoare, emițătoare, radiouri, echipament de testare și măsurare pentru frecvențe de la 3,5MHz la 47GHz. De fapt, nu a încetat niciodată această activitate. Nu a deținut niciodată echipament comercial pentru radioamatori - cu o singură excepție: un IC402 (moștenit de la prietenul său PA0MGA) care este "blocul de frecvență intermediară" pentru 24 și 47GHz. El preferă să lucreze în SSB și utilizează telegrafia numai dacă este necesar. Harke adoră să facă expediții în mobil cu stațiile sale de microunde.

Deține și menține în funcțiune o colecție de aparate de măsură Hewlett-Packard, din era pre-digitală. El scrie articole pentru DUBUS, ELECTRON și Hyper.

În 1982 Harke a obținut masteratul la Universitatea Tehnică din Twente. A deținut apoi diferite funcții în domeniul industrial înainte de a lucra la TNO, cea mai mare organizație olandeză de cercetare științifică aplicată. La momentul publicării acestui articol, este consultant de afaceri, lucrând la un program care să ajute firma SME să dezvolte o nouă strategie în afaceri.

Comitetul de coordonare al NCDXF ținut la 15 august în San Francisco a ales următorul colectiv de conducere:

Len Gerardi, K6ANP (President); **Al Burnham, K6RIM** (Vice President); **Tom McShane, NW6P** (Secretary); **Bruce Butler, W6OSP** (Treasurer); **Lou Beaudet/K6TMB**, **Rusty Epps/W6OAT**, **Bob Fabry/N6EK**, **Dave Pugatch/KI6WF**, **Chuck Ternes/N6OJ**, **Steve Thomas/N6ST** and **Glenn Vinson/W6OTC** (Directors). Informații despre NCDXF se pot obține la: <http://www.ncdxf.org/> [Txn K6RIM]

Comunicații numerice: modul MT63

Acest articol este tradus după "Le mode MT63" apărut în *Radio-REF*, nr. 719 din februarie 2000 și avându-l drept autor pe Bernard Pauc, F9ZB.

De ceva timp, amatorii de comunicații digitale sunt ceva mai norocoși. Cu o simplă placă introdusă în calculatorul personal au posibilitatea de a comunica atât în modurile tradiționale cum ar fi RTTY Baudot, cât și în noile moduri digitale care apar ca ciupercile după ploaie. După PSK31 și HELL-care cunosc un mare succes pe plan mondial, un mod nou de comunicație radio numerică este pe cale de a se impune: este vorba de MT63.

Ce este MT63?

Este vorba de un sistem de transmisie numerică multitonă (nu 63 de tonuri cum am putea crede, ci 64): a fost testat timp de mai multe luni în configurații utilizând module de evaluare (EVM) de la Motorola sau de la Texas Instruments, pornind de la codul sursă pus la dispoziția radioamatorilor de către inventatorul acestui mod de transmisie Pawel Jalocha, SP9VRC. Dezvoltarea explozivă ulterioară a acestui mod de lucru a fost posibilă datorită lui Nino Porcino, IZ8BLY care a creat softul (sub Windows) pentru placa de sunet.

MT63 este un mod neconectat care permite, ca și PSK31, realizarea unui trafic "tastatură" la "tastatură" (sau punct la punct), confortabil și sigur, chiar în condiții extrem de defavorabile de QSB și QRM. Un studiu asupra acestui nou mod digital este disponibil pe excelentul *site* al lui Murray Greenman, ZL1BPU, la adresa <http://www.qsl.net/zl1bpu/mt63/mt63.html>. Toți cei care vor să-și completeze cunoștințele despre acest mod de lucru este bine să consulte acest *site*.

Ne vom mulțumi în continuare să facem doar o scurtă prezentare a lui MT63, fără a intra în detalii.

Vorbind din punct de vedere tehnic, acest mod este deosebit de complex dar utilizarea sa, datorită softului elaborat de IZ8BLY, este transparentă pentru utilizator. Transmisia multitonă (fiecare caracter este transmis prin intermediul mai multor tonuri) evită unele interferențe sau efectele QSB-ului, sistemul de detecție a erorilor de tip FEC (ca la AMTOR B, dar cu o tehnică FEC mai sofisticată) permite o absență cvasitotală a erorilor la recepție. Ascultând în bandă, este necesar un oarecare antrenament pentru a recunoaște o emisiune modulată în MT63. Se aude un zgomot ușor, care seamănă mai degrabă cu vântul care suflă într-un șemineu. Din fericire, softul ne permite identificarea unei emisiuni MT63.

Performanțele pentru MT63

Am spus mai înainte că este vorba de un mod de lucru performant și fiabil chiar și în cele mai grele condiții. Încercările realizate cu stația spaniolă EA3VF ne-au permis, în banda de 80m, să avem un QSO, fără eroare. Puterea la emisie a fost de 0,5W și s-a utilizat o antenă filară. Propagarea a fost dintre cele mai defavorabile și pe frecvența de lucru s-au suprapus deseori purtătoare sau alte semnale modulate.

După VK2DSG care a putut efectua numeroase experimentări, în condiții slabe de propagare și a constatat că, spre deosebire de PACTOR sau CLOVER, MT63 s-a dovedit mai performant (se poate consulta *site*-ul lui ZL1BPU). O parte din rezultatele sale sunt prezentate în **Tabelul 1**.

Prețul plătit pentru aceste performanțe este o lărgime de bandă destul de mare pentru un mod digital. Sunt propuse trei lărgimi de bandă:

Tabelul 1
Raportul între lărgimea de bandă, viteza de transmisie și eficiența în condiții nefavorabile arată performanțele MT63.

Mod de lucru	Latime de bandă [Hz]	Cuvinte/min (cond bune)	Cuvinte/min (cond slabe)
MT63 1KHz	1000	100	100
MT63 2KHz	2000	200	200
PSK31	60	50	50
AMTOR ARQ	300	50	1-0
PACTOR	300	200	10-0
CLOVER	500	200	10-0
RTTY*	300	60	0
SSB(voce)	2400	250	10-5

* RTTY la 45,5...170Hz

1. 500Hz (de la 500Hz la 1000Hz din banda de trecere) pentru o viteză de transmisie de 5 caractere/secundă;

2. 1000Hz (de la 500Hz la 1500Hz din banda de trecere) pentru o viteză de transmisie de 10 caractere/secundă;

3. 2000Hz (de la 500Hz la 2500Hz din banda de trecere) pentru o viteză de transmisie de 20 caractere/secundă.

MT63 la 1000Hz lărgime de bandă permite o viteză de transmisie de 10 caractere/secundă, superioară deci performanțelor de dactilografiere a majorității radioamatorilor. Această lărgime de bandă pare a fi suficientă și totodată competitivă în comparație cu modurile analogice de transmisie cum ar fi SSB sau AM.

Deoarece trebuie să facem loc pentru toată lumea în benzile noastre, perspectiva utilizării simultane pe aceeași frecvență a unui trafic în MT63 și a unuia în fonie, fără interferențe semnificative, pare posibilă.

După cum se observă în Fig. 1, Fig. 2 și Fig. 3 fronturile benzii ocupate (pentru cele trei lărgimi de bandă: 500Hz, 1000Hz și 2000Hz) sunt foarte abrupte, iar lărgimea de bandă este limitată strict la lărgimea de bandă impusă a modulației.

Softul de la IZ8BLY

Acesta se poate obține de la *site*-ul realizatorului lui, Nino Porcino: <http://ninopo.freeweb.it>. În acest fel puteți beneficia de ultima versiune a programului, deoarece Nino îl perfecționează mereu. Acest articol este scris având la baza versiunea beta 0.99d. Aceasta include un număr mare de îmbunătățiri, inclusiv posibilitatea de a transmite un mesaj-baliză care poate fi pre-programat. Acest mesaj este emis în tipul "pauzelor" transmisiei în curs și este recepționat la corespondent într-o mică fereastră care apare în partea din dreapta-sus a ecranului. Un manual de utilizare este disponibil deja de la varianta precedentă, dar utilizarea softului este foarte

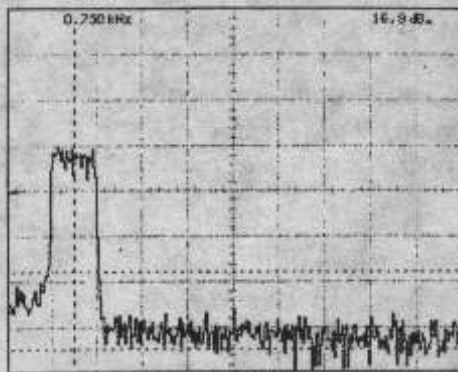


Fig. 1

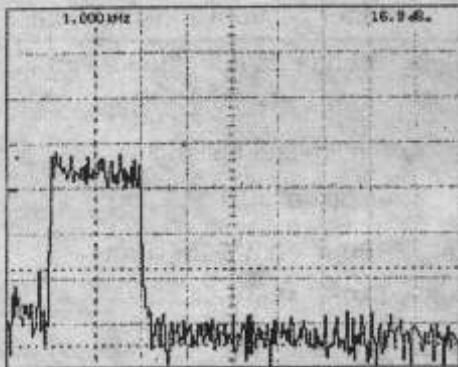


Fig. 2

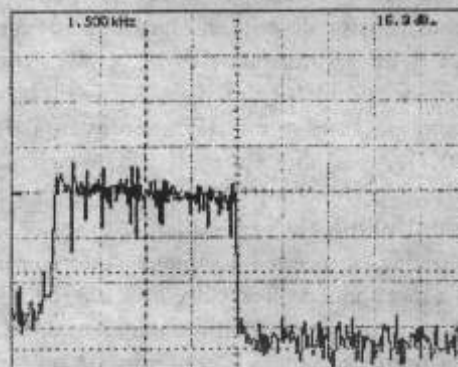


Fig. 3

intuitivă și folosirea sa nu implică dificultăți majore, mai ales pentru cei care au mai lucrat folosind HELL cu un program al aceluiași autor. Și pentru MT63 se păstrează aceeași ergonomie, simplitate în stabilirea parametrilor, chiar și a celor mai macrocomenzi. Spre deosebire de HELL este nevoie de un calculator oarecum puternic. Un Pentium la 133MHz pare limita inferioară pentru modurile cu lățimea de bandă de 500Hz și 1000Hz, iar pentru 2000Hz ar trebui ceva mai bun...

Legătura între placa de sunet și transceiver este comparabilă cu cea descrisă uzual pentru SSTV sau PSK31, de exemplu. Comanda de PTT se face din semnalul RTS de la un port serial (unul din COM-uri), care trebuie ales convenabil în meniul de setare a opțiunilor. Un fișier ini

memorează toate setările necesare.

În partea dreaptă a ecranului (Fig. 4), un analizor de spectru de tip GRAM permite stabilirea corectă a frecvenței de lucru. Cele două dungi (albastre în imaginea originală, negre în Fig. 4, N. Trad.) indică exact lățimea de bandă ocupată (500Hz, 1000Hz sau 2000Hz). Trebuie reglat receptorul în așa fel încât spectrul semnalului (zona mai gri și uneori mai neclară) să se afle între cele două linii menționate. Deducând de sub analizorul de spectru, două indicatoare: cel din stânga indică procentul de încredere și cel din dreapta raportul semnal/zgomot. Disponem aici de un veritabil VU-metru ale cărui indicații pot fi captate automat și folosite în interiorul unor macrocomenzi. De asemenea, indicativul corespondentului este afișat fără nici-o intervenție manuală. Douăsprezece butoane soft programabile permit, printr-o secvență de macrocomenzi, transmiterea unor mesaje permițând un trafic rapid și agreabil. Un buton (RESYNC) permite inițializarea programului în cazurile (rare) în care, din diferite motive, se pierde sincronizarea (se recepționează simbolurile @@@@). Începând cu versiunea 0.97, un buton CQ permite suprapunerea indicativului Dvs., în

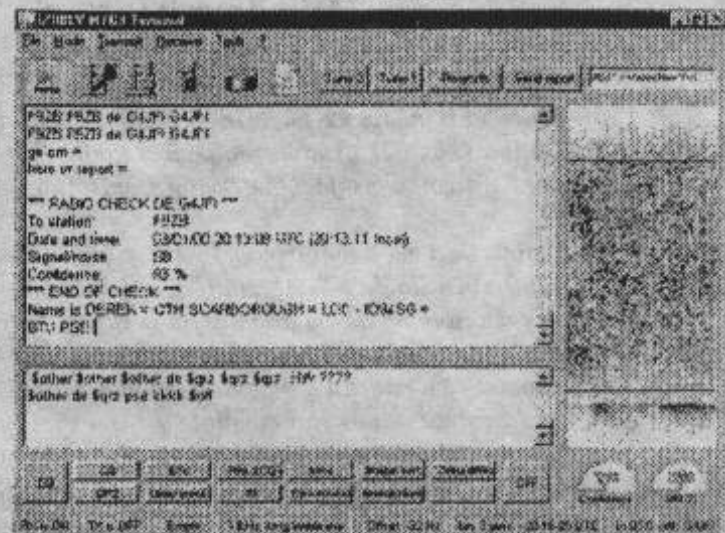


Fig. 4

telegrafie, în timpul apelului general și avertizează corespondentul că este vorba de o transmisie utilizând MT63, pentru a evita erorile de identificare "după ureche". Ca și pentru alte softuri scrise de IZ8BLY (de exemplu HELL) se poate pregăti un mesaj dinainte (în timpul transmisiei corespondentului) începând cu caracterul "*" (sfeluță).

Ce frecvențe să utilizăm ?

Este o problemă care preocupă mult pe utilizatori. O listă, difuzată pe Internet, permite fiecăruia să-și spună părerea. Toată lumea este de acord că trebuie excluse domeniile de frecvențe deja utilizate pentru comunicațiile digitale, din cauza lărgimii mari de bandă pentru MT63. Se preconizează utilizarea sub-benzilor de fonie. ZL1BPU recomandă, pentru banda de 20m frecvența de 14347KHz ca frecvență de apel (și într-adevăr, această frecvență este foarte utilizată). Se cere de asemenea respectarea regulii stabilite pentru fonie ca transmisiunile sub 9MHz să se efectueze cu bandă laterală inferioară (BLI), iar cele peste 9MHz cu BLS. OK2WO și un număr de alți radioamatori doresc utilizarea frecvențelor următoare (cu BLS, în toate cazurile): 80m: 3590...3600KHz; 40m: 7038...7040KHz; 30m: 10135...10138KHz; 20m: 12130...14148KHz; 15m: 21130...21148KHz; 10m: 28130...28188KHz.

Frecvențele de apel ar trebui să fie frecvențele cele mai joase din cadrul fiecărei benzi (3590, 7038, 10135, 12130, 21130, 28130KHz). Traficul se face pe frecvențele respective, toți cu aceeași lărgime de bandă (1KHz, de exemplu).

Fără a putea da în prezent asigurări că cele de mai sus se respectă, se poate spune că, cel puțin pentru banda de 80m, propunerea lui OK2WO pare a fi adoptată de către toți.

Concluzii

MT63 constituie un mod de lucru care va captiva pasionații RTTY-ului sau PSK31 care doresc o mai mare eficacitate. Specialiștii în programare pot găsi, în codul sursă pe care SP9VRC îl pune gratuit la dispoziția radioamatorilor, porțiuni care se pretează la îmbunătățiri ulterioare. Se aduc mulțumiri lui ZL1BPU pentru ajutorul furnizat prin comentariile făcute asupra programului, aflate pe site-ul său. În primul rând, multe mulțumiri adresate lui IZ8BLY pentru excelentele sale programe pe care a înțeles să le pună gratuit la dispoziția tuturor radioamatorilor. Spiritul radioamatorismului nu a murit! traducere de YO3GWR

In zilele de 2 și 9 octombrie (15 - 17 utc) Campionatul Național US - Fonie

Windom 99: teoria și practica unei antene

Acest material este tradus după revista Radio-REF, nr. 719, numărul din februarie 2000 și prezintă articolul Windom 99-Theorie et pratique d'une antenne realizat de Fabio Bonnucci IK0IXI și Maurizio Bollini IZ2CED. Traducerea pentru Radio-REF din Radio Rivista, unde a apărut pentru prima dată acest articol, a fost făcută de către Denis Auşebon, F6CRP.

Înainte de a monta un Windom 99 dispuneam la stația mea (IZ2CED) de un dipol "inverted-V" de 40m pentru benzile de US. Acest dipol era acordat pentru benzile superioare printr-un circuit clasic în T. Această soluție, destul de întâlnită în lumea radioamatorilor permitea operarea pe benzile superioare deși banda de 80m era oarecum sacrificată. Într-o zi am primit un mesaj de la Fabio (IK0IXI) care m-a anunțat că a realizat o antenă Windom satisfăcătoare. Curiozitatea mea a fost mare și decizia de a-mi realiza și eu una a venit imediat.

Odată realizat primul exemplar, am încercat să avem un schimb de păreri, opinii, experiențe similare, cu alți amatori, atât în banda de 80m cât și prin poșta electronică. Deoarece am fost satisfăcuți de realizările noastre, ne-am decis să scriem acest articol. Am completat rezultatele practice cu simulări făcute pe calculator, cu două programe dedicate: HFANT și NEC4WIN.

Noțiuni teoretice referitoare la antena Windom

Funcționarea acestei antene este ușor de înțeles, dar fenomenele nu sunt chiar așa de evidente cum par. Ni se pare utilă o prezentare teoretică într-o manieră simplificată, așa cum a făcut și K3MT. În cazul unui conductor cu lungimea $\lambda/2$, distribuția curentului de-a lungul acestui conductor este cea din Fig. 1. În apropierea valorii maxime a curentului este posibilă o alimentare

Tabelul A Caracteristicile antenei Windom 13,7m+27,4m

Rezonanța	banda de 80m (3600KHz)
Adaptarea impedanței	balun 6:1
Puterea aplicabilă	în limitele balunului
Cablu de coborire	coaxial 50Ω
Benzi în care rezonează	80m, 40m, 20m, 10m
Benzi în care nu rezonează	30m, 15m
Benzi în care nu rezonează dar în care poate fi acordată	12m, 17m

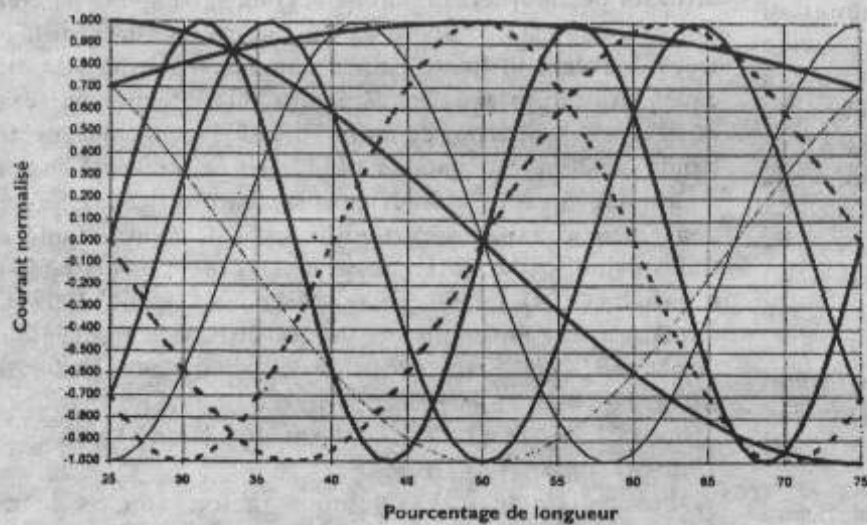


Fig. 1

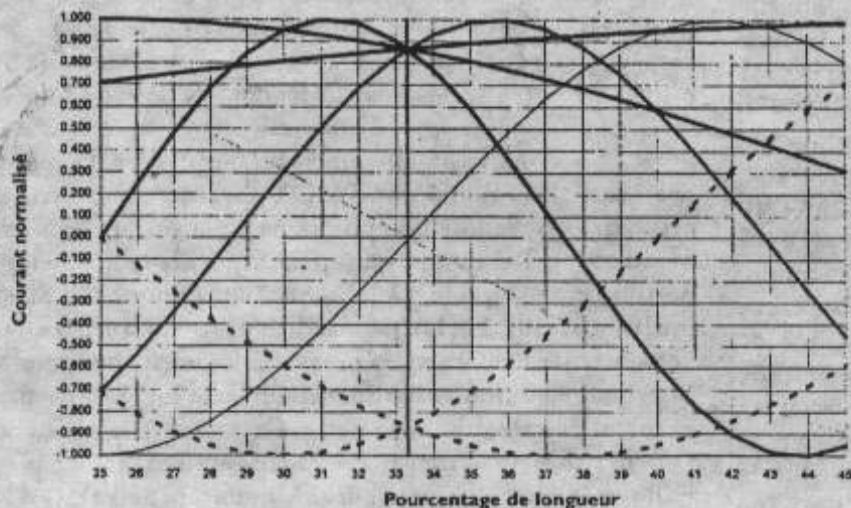


Fig. 2

cu impedanță redusă (72Ω), ceea ce permite un bun transfer de putere. Dacă considerăm punctul de alimentare situat la 50% din lungimea conductorului și dacă dipolul este acordat pe fundamentală pe frecvența de 3600KHz, acest dipol poate fi utilizat cu bune rezultate și pentru 10800KHz (armonica a treia), 18000KHz (armonica a cincea) și 25200KHz (armonica a șaptea). Antena, așa cum a fost concepută de către Loren Windom, presupune un punct de alimentare situat la 1/3 din lungimea antenei: consecințele acestei schimbări se văd din distribuția de curent prezentată în Fig. 2. Curentul nu mai are un maxim în punctul de alimentare pentru niciuna din armonicile reprezentate, dar are o valoare destul de mare (în modul) pentru fiecare. În consecință, impedanța în acest punct de alimentare nu este la fel de scăzută ca la un dipol în semiundă, dar nici nu este exagerat de mare. Utilizarea unui transformator de adaptare a impedanței permite coborîrea acesteia la o valoare utilizabilă în practică. Se observă, în Fig. 2 că avem un acord pe 3600KHz (fundamentală), 7200KHz (armonica a doua), 14400KHz (armonica a patra), 28800 (armonica a opta). Frecvențele de 18000KHz (a cincea armonică) și 25200KHz (a șaptea armonică) pot fi deasemenea utilizate printr-un acord suplimentar. Teoretic antena poate funcționa și pe 50,4MHz (armonica a 14-a) și pe 144MHz (armonica a 40-a), dar aceste frecvențe se găsesc destul de departe de banda de trecere a unui balun conceput pentru unde scurte. În definitiv, plasarea punctului de

alimentare la 1/3 din lungimea unei antene în semiundă permite acordul pe armonicile pare, așa cum era posibil acordul pe armonicile impare atunci când alimentarea se făcea central. Acordul pe armonicile pare permite utilizarea unui număr mai mare din benzile alocate radioamatorilor. Din Fig. 2 rezultă deasemenea că un acord pe frecvențele de 10800KHz (armonica a treia) și 21600 (armonica a șasea) nu este posibil. Putem deci considera antena Windom ca o antenă filară cu acord multibandă.

Realizarea practică

Această antenă a fost realizată în trei exemplare și constituie "antena de bază" (uneori și unica...) la stațiile autorilor. Puteți găsi în Tabelul 1 câteva caracteristici constructive. Configurația tipică este de utilizare ca "V-invers" și depinde de punctele de fixare disponibile, iar sfatul nostru este alegerea acestor puncte

Tabelul 1 Comparatie între caracteristicile antenelor Windom

	Tipul 1	Tipul 2	Tipul 3
Rezonanta $\lambda/2$	80m	80m	80m
Dimensiuni	13,7+27,4m	13,7+27,4m	13,7+27,4m
Adaptare	Balun 6:1 Eco	Balun 6:1 Grauta JA-200	Balun 6:1 Grauta JA-200
Cablu de coborire	18m RG213	30m RG8x	10m RG58
Înălțime pct. de alim.	5m	9m	7m
Înălțime pct. de ancoraj al segmentului "scurt"	1m	3m	2m
Înălțime pct. de ancoraj al segmentului "lung"	1m	1m	2m
Unghiul V-ului	120°	90°	80°
Tip teren de montare	pe acoperis	la cimpie	la munte
Transceiver utilizat	JST135	JST100D	FT840

astfel încât punctele de ancorare să nu fie prea apropiate de sol. Se pot găsi în *RadioRivista* și alte articole referitoare la acest tip de antene și chiar articolul original al lui Loren Windom W4DZZ (apărut inițial în *QST*, numărul din septembrie 1929). Acest articol a putut fi publicat în *RadioRivista* cu acordul ARRL.

Pentru adaptarea corectă a impedanțelor am utilizat un transformator coboritor (de impedanțe) de tip 6:1. Se poate utiliza tipurile comerciale de balun de acest tip, dar se poate construi și după schema din Fig. 3. Se pot astfel bobina 6...10 spire, bobinate bifilar, cu o priză la 80% din numărul de spire la L2, pe un tor Amidon T200-2, cu marcaj de culoare roz; se poate eventual ameliora izolarea matisind torul cu bandă teflonată. Antena se conectează la portul Z2 (impedanță

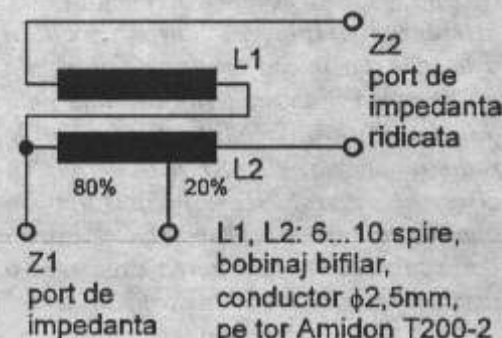


Fig. 3

ridicată) și cablul coaxial se conectează la Z1 (portul de impedanță redusă). Se poate utiliza și un transformator de tip 4:1, mai simplu de realizat (deoarece nu necesită priză suplimentară), deși o astfel de abordare duce la scăderea performanțelor. Că tot veni vorba despre balunuri, K3MT descrie, pe site-ul său de Internet realizarea unuia de tip 9:1, care poate fi utilizat cu această antenă.

În Fig. 4 se poate observa valoarea raportului de undă staționară (ROS) pe întreg spectrul de unde scurte, pentru două din cele trei antene realizate (tipurile 1 și 2); pînă la 19 MHz valorile sunt relativ egale, la frecvențe mai mari observîndu-se accentuarea diferențelor. Acestea depind foarte mult și de tipul particular de instalare. Pe de altă parte, cu cît linia de alimentare este mai lungă, cu atît este mai greu de compensat pierderile care apar. Ideală ar fi posibilitatea de măsurare a ROS imediat înainte de balun, ceea ce este dificil de realizat în practică.

Antena Windom a stației JA7KPI

Se poate găsi un alt exemplu de antenă Windom pe site-ul stației JA7KPI, la adresa: <http://www.shirakami.or.jp/~tada/JA7KPI/windom.html>. Acest tip de instalare nu a fost testat, dar se poate dovedi interesant pentru cei care nu dispun decît de puțin spațiu pentru antena de unde scurte.

Simulare cu programul HFANT v99.02.01

Acest program conceput pentru Windows, poate fi obținut de la adresa de Internet: <http://elbert.its.bldrdoc.gov/hf.html>.

Fabio IK0IXI a realizat câteva simulări (conform diagramelor de radiație pentru

benzile de 80, 40, 20, 15 și 10m). Se observă pentru 80m și pentru 40m un comportament practic omnidirecțional, în timp ce pentru benzile superioare începe să-și facă apariția un efect directiv. Acesta este pronunțat, mai ales în banda de 29MHz. Această simulare a fost realizată cu următoarele parametri: o înălțime de 5m, conductivitate redusă a solului (practic condițiile de teren ale lui Fabio, IK0IXI). Caracteristicile de radiație pe 80m și 40m

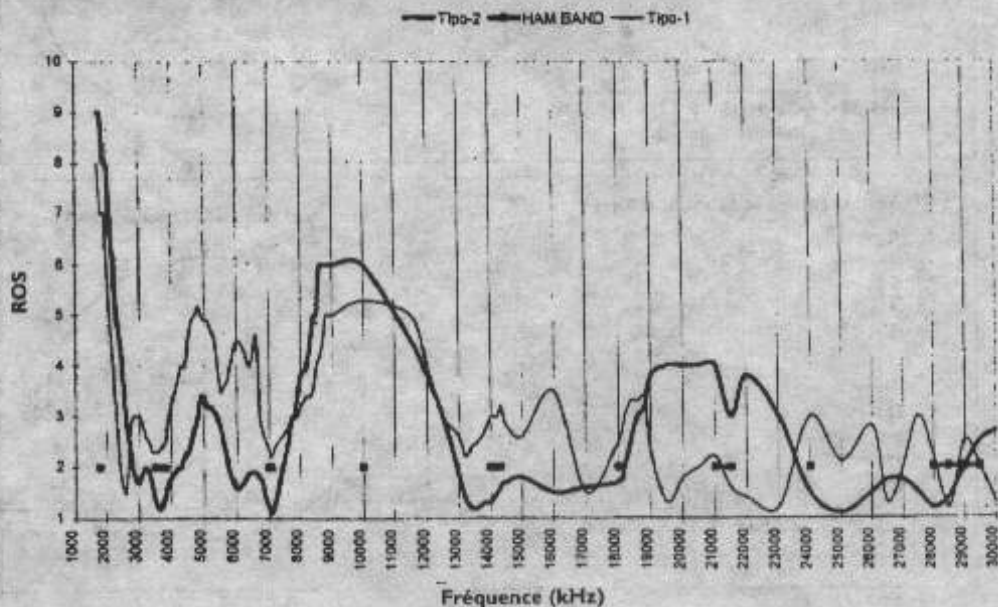


Fig. 4

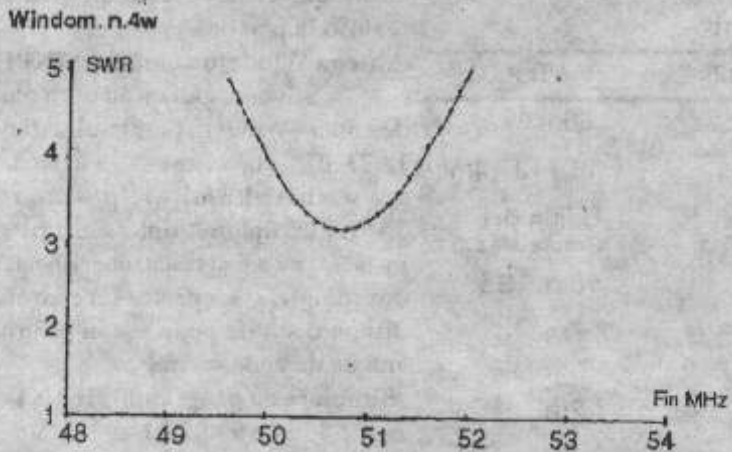
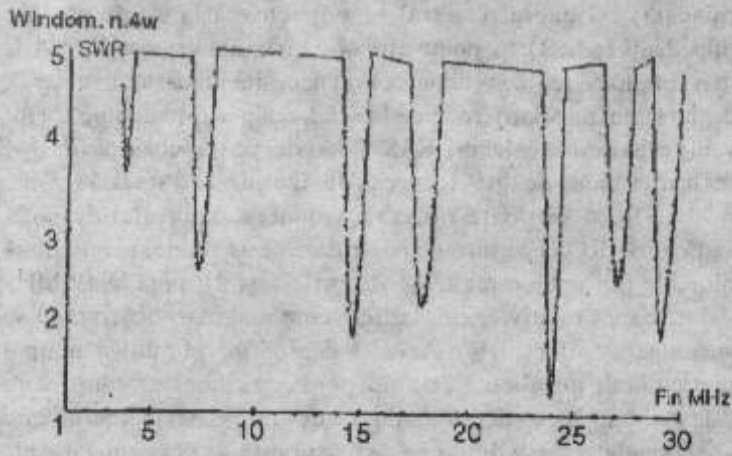


Fig. 5

nu recomandă această antenă pentru DX, dar este deosebit de avantajoasă pentru QSO-urile europene. Lucrurile se mai îmbunătățesc pe 20m și 10m, unghiul de radiație scăzând.

Simulare cu programul NEC4WIN v2.0 rev. 10

Acest program, conceput și el pentru Windows 95 provine din celebrul program NEC cu o îmbunătățire a performanțelor grafice. Acest program poate fi obținut de la adresa de Internet: <http://www.cam.org/~mboukri>. În afară de trasarea diagramelor de radiație în plan vertical și orizontal, NEC4WIN permite reprezentarea grafică a ROS în funcție de frecvență (Fig. 5).

Rezultatele simulărilor pentru benzile amintite sunt cele din Fig. d și Fig. e.

Impresii în trafic

Spre deosebire de antena dipol, este de apreciat comportarea acestei antene în cazul lucrului multibandă, fără dispozitiv special de acord. Cu utilizarea tunerului de antenă din transceiverele moderne, chiar dacă nu este un avantaj decisiv, se mai pot câștiga ceva wați. Vechile aparate, care nu au prevăzute astfel de rafinate (dispozitive de acord pentru antenă), pot beneficia de antena Windom, regăsindu-și astfel "...o nouă tinerțe".

În benzile de 80m și 40m se poate lucra în toată Europa în fonie și am reușit să realizăm mai mult de 45 de țări în telegrafie, poate mai degrabă talentului de operator al lui IK0IXI decit performanțelor antenei (nota IZ2CED).

Banda de trecere este mare comparativ cu o antenă dipol semiundă. Spre deosebire de o antenă dipol, utilizarea unei bune prize de pământ este obligatorie. În acest caz (instalația tip 2) returnările de RF erau așa de mari încât modulația era deformată și a trebuit să se reducă puterea de ieșire a emițătorului pentru a putea lucra în trafic. Un mic bec cu neon, ținut între degete și apropiat de șasiul emițătorului punea foarte clar în evidență acest fenomen. Problema a fost rezolvată, în cazul instalației nr. 2 prin conectarea șasiului emițătorului la calorifer.

Nota redacției franceze: Este posibil să avem conectat caloriferul la pământ, din punct de vedere electric, dar această conexiune nu este neapărat făcută și din punct de vedere al radiofrecvenței. Un fenomen cum este cel prezentat mai înainte se produce atunci când un curent de RF circulă prin ecranul cablului coaxial; balunul nu are în mod sigur eficacitatea dorită. Putem, pentru a evita să găsim energie de RF pe șasiul transceiverului să prelungim cablul coaxial cu un tronson $\lambda/4$, pentru a obține un nod de tensiune. Cea mai bună soluție o reprezintă utilizarea unui balun de curent în locul unui balun de tensiune. În orice caz, atunci când avem curent de RF care circulă prin ecranul cablului coaxial ne aflăm în condițiile unei alimentări imperfecte între un cablu asimetric și o antenă simetrică. Consecința o reprezintă radiația de RF de către linia de alimentare și o modificare a lobilor de radiație. Scăpările de RF pot interfera cu sistemul de stabilizare al tensiunii de alimentare, care se pot dovedi uneori extrem de dezagreabile - creșterea exagerată a tensiunii de alimentare, de exemplu.

Concluzii

Atît mic cît și lui Fabio ne-a făcut

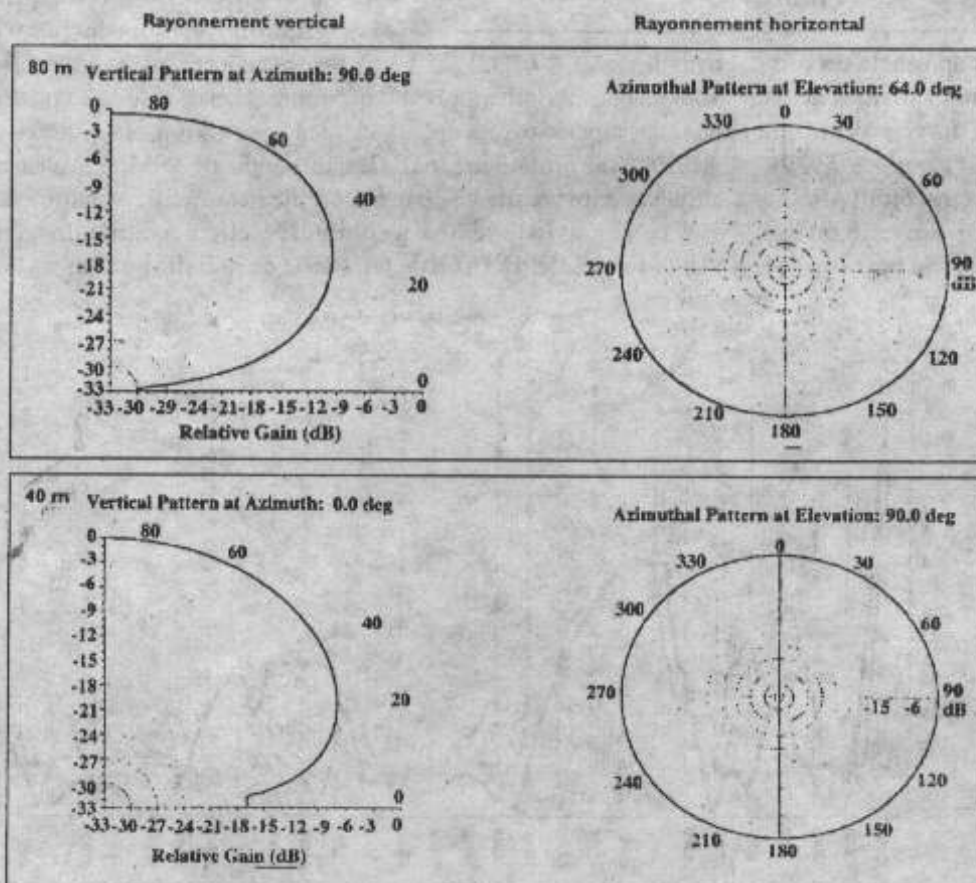


Fig. d

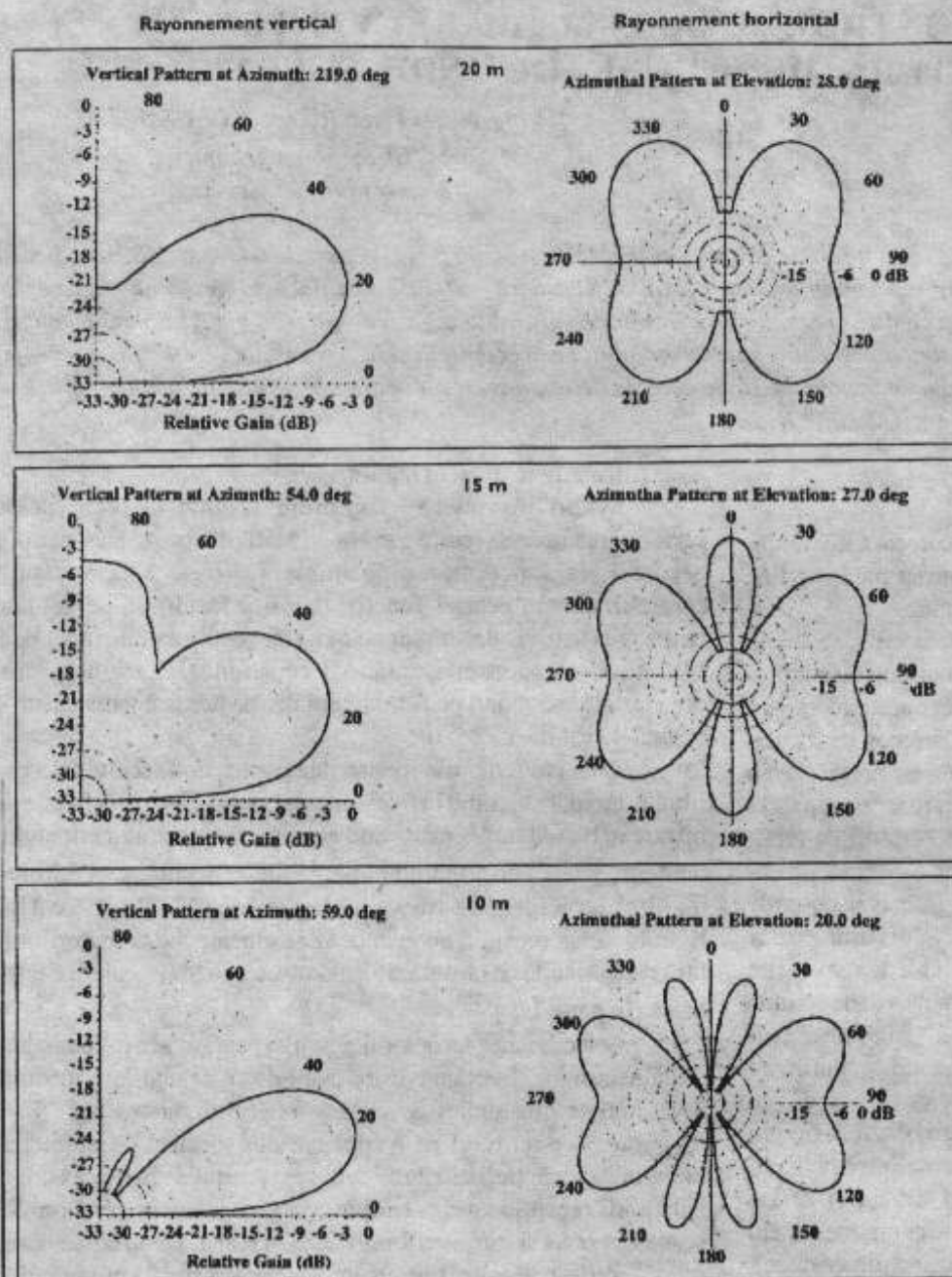


Fig. e

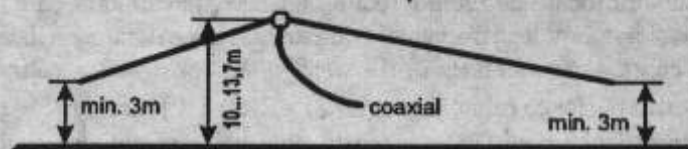


Fig. A Antena Windom - montaj in "V-invers"

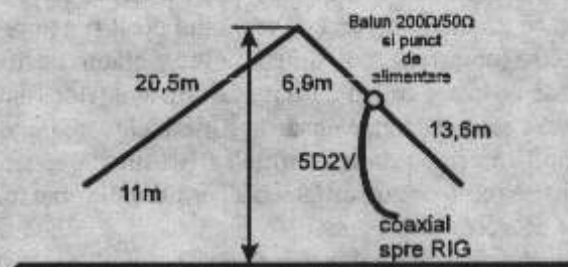


Fig. C Antena Windom - montaj special in "V-invers"

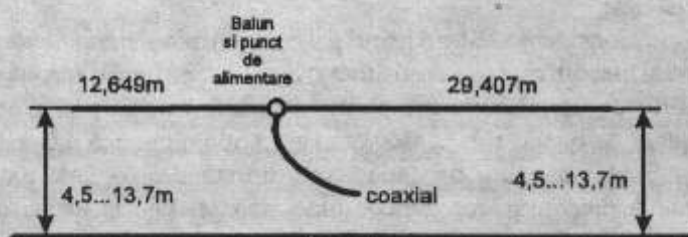


Fig. B Antena Windom - montaj orizontal

plăcere să încercăm construirea acestei antene și rezultatele obținute l-au convins și pe IZ0CHD să-și construiască una. Cu o antenă lungă cit un dipol pentru 80m, este posibil să facem trafic în patru benzi, fără un sistem special de acord și cu o bandă de trecere confortabilă. Diferite tipuri de instalare sunt cele din Fig. a, Fig. b, Fig. c.

"Calculul hirtiei" arată că această antenă nu este suficient de bună pentru DX, din cauza unghiului său de radiație relativ ridicat, deși acest lucru nu l-a împiedicat pe Fabio să obțină bune rezultate în trafic.

Ca dezavantaje se pot aminti: tendința de a avea returnări de RF și necesitatea unei bune prize de pământ (priză de RF).

Eu și cu Fabio suntem la dispoziția Dvs., prin poșta electronică, pentru toate informațiile sau clarificările necesare.

Bibliografie

1. Alessio Ortona IIBYH, Sergio Pesce IIZCT, "Le antenne di Radio-Rivista", Ediradio Srl, Milano 1995, pag. 87-92 (RR10/90 și 05/92).
2. Rinaldo Briatta IIUW, Nerio Neri I4NE, "Costruiamo le antenne filari", Edizioni C&C 1993.
3. Loren G. Windom W4DZZ, QST 09/1929, CD-ROM ARRL.
4. K3MT <http://www.erols.com/k3mt/windom/windom.html>-Teoria e pratica antenna Windom.

Software

1. NEC4WIN v2.0, Rev. 10 soft de evaluare - (c) orion Microsystems (utilizează un modul de VB5.0)-autor Magjid Boukri VE3GMI, mboukri@cam.org, <http://www.cam.org/~mboukri>.
2. HFANT v99.01.01 Greg Hand - <http://>

elbert.its.bldrdoc.gov/hf.html.

Autorii

1. Maurizio Bollini IZ2CED Sezione ARI di Modena iz2ced@arri.net,
2. Fabio Bonucci IK0IXI, Sezione ARI di Cita Vecchia ik0ixi@arri.net.

prelucrare de YO3GWR

OFER: Transceiver YAESU FT50R - YO3AAP - Marius tel. 092.611.443
 OFER: Calculator Commodore C 64 cu Floppy disc, casetofon și imprimantă. YO7VG - Dtru. Pașaliu - tel. 052.224.387
 YO4SVV - OFERA - US-FT 77, UUS-FT 290R, TRASVERTER 144 - 28 MHz și 50 - 28 MHz, RTM IV și RTP tel - 036 / 316 576

SISTEM DE CONTROL ȘI AFIȘAJ A FRECVENȚEI PENTRU APARATURĂ DE TRAFIC ÎN UNDE SCURTE

Ing. Gheorghian Romeo YOSCAN

Prof. Gheorghian Liliana

Gura Humorului, jud. Suceava

Descrierea următoare se referă la un circuit de calare a frecvenței cu buclă F L L în pași de 64 Hz și 128 Hz cu acord fin prin taste UP/DOWN și buton rotativ, a primului oscilator local cu frecvență variabilă destinat echipării unui transceiver sau receptor de unde scurte, lucrând în conjuncție cu o scală numerică, utilizând o bază de timp comună pilotată cu cuarț. Scala numerică este dotată cu circuite de corecție care realizează indicarea completă și la o rezoluție de 10 Hz a frecvenței (purtaoare) cu care se lucrează în modurile uzuale, pe toate benzile de unde scurte alocate serviciului de amator, utilizând o primă frecvență intermediară fixă de 8,0 ... 10,7 MHz.

1. GENERALITĂȚI

Sistemul de reglaj, stabilizare și indicare corectă a frecvenței de lucru aduce un aport determinant în definirea parametrilor principali, la orice aparat destinat lucrului în trafic.

Aparatura industrială actuală folosește în acest scop, bucle calate pe fază (P L L), pașii fini de acord fiind obținuți cu circuite de sinteză digitală directă (D D S), conduse prin microprocesoare care comandă și sistemele de afișaj. În regim de amator, realizarea unui asemenea proiect este dificilă și costisitoare, pentru rezolvarea acestor probleme existând și alte soluții, uneori mai convenabile sub aspectul raportului performanță / cost, în condiții de lucru «Home Made».

Tendința de a concepe și realiza un transceiver de unde scurte cu performanțe comparabile măcar la nivelul parametrilor strict necesari traficului actual în unde scurte, față de realizările industriale, nu lasă amatorilor constructori prea multe căi de opțiune în alegerea schemelor propuse spre realizare. Astfel, deși ușor accesibile, schemele «la modă» în deceniile trecute care utilizau după prima schimbare de frecvență doar filtre de tip L - C au devenit perimate, datorită imposibilității îngustării benzii de trecere sub câteva sute de kHz în lanțul primei frecvențe intermediare, făcând imposibilă obținerea unor parametri dinamici astăzi satisfăcători, independent de calitățile celorlalte componente din front-end și de performanțele filtrelor (de obicei electromecanice), utilizate în etapele următoare de frecvențe intermediare. Datorită amplificării inutile împreună cu semnalul dorit și a unor întregi benzi vecine (posturi de radiodifuziune etc.), alături de lipsa unor circuite de adaptare în bandă largă a impedanțelor (diplexere, atenuatoare etc.) se ajungea ușor la supraîncărcarea unor etaje, producând intermodulații înaintea filtrului care determina selectivitatea receptorului, astfel încât perturbațiile erau transpuse în banda de trecere a acestuia.

Evaluând în ansamblu, parametrii esențiali pentru traficul în unde scurte și la schemele de receptoare cu conversie directă mai recente, de mare performanță, este lesne de observat că *superheterodina* nu a fost încă depășită.

Una din condițiile necesare obținerii unor parametri competitivi la construirea unui receptor de unde scurte, alături de folosirea unor scheme de principiu și componente cu gamă dinamică mare și zgomot redus este - legat de tema tratată aici - utilizarea la prima frecvență intermediară a unui filtru performant, cu banda de trecere cel mult egală cu ecartul util ocupat de tipul de emisiune cu spectrul cel mai larg, la o frecvență intermediară cât mai înaltă, filtru ce va fi denumit în continuare *filtru principal*, realizând atenuarea semnalelor adiacente emisiunii recepționate, încă de la nivelul primei frecvențe intermediare.

La receptoarele cu conversie directă de mare performanță,

acest filtru este realizat în audiofrecvență.

Având în vedere exigențele actuale la recepția de performanță în unde scurte până la 30 MHz, din cauza parametrilor necesari, la superheterodine numai filtrele cu cuarț sunt corespunzătoare acestei funcții, datorită factorului de calitate realizabil (la nivel de amator cele cu frecvența centrală în jur de 9 MHz sunt mai accesibile, putând fi construite și în regim propriu din cristale rezonând pe fundamentală, pe această temă există o bogată literatură).

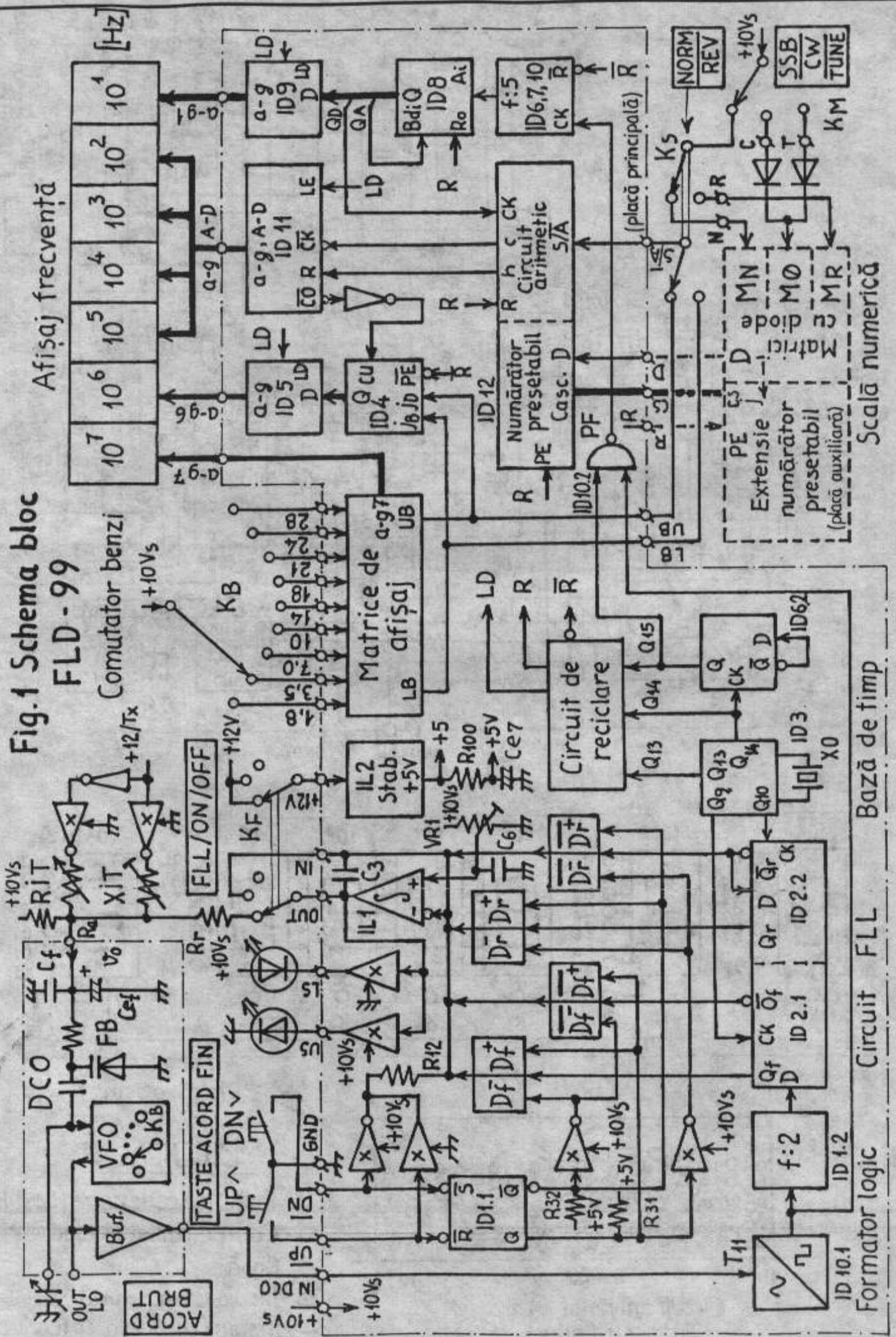
Deși construcțiile industriale pentru unde scurte folosesc filtre principale lucrând la frecvențe de peste 40 MHz și circuite de intrare în bandă largă, facilitând recepția fără lacune a întregului domeniu [1], performanțe remarcabile se pot obține și folosind un filtru principal pe o frecvență intermediară în jur de 9 MHz, limitând însă recepția doar în benzile alocate radioamatorilor și utilizând circuite de preselecție separate, comutabile, pentru fiecare bandă în parte [2].

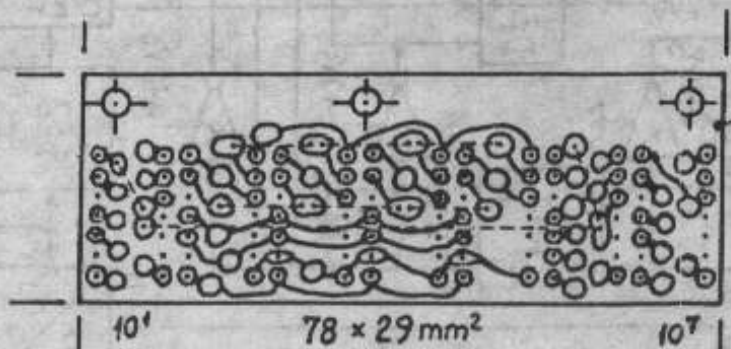
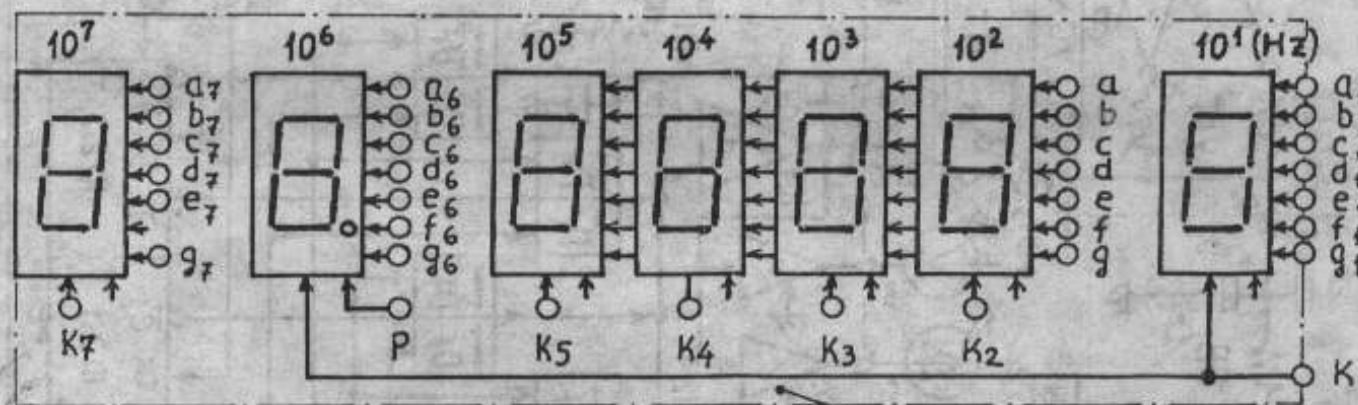
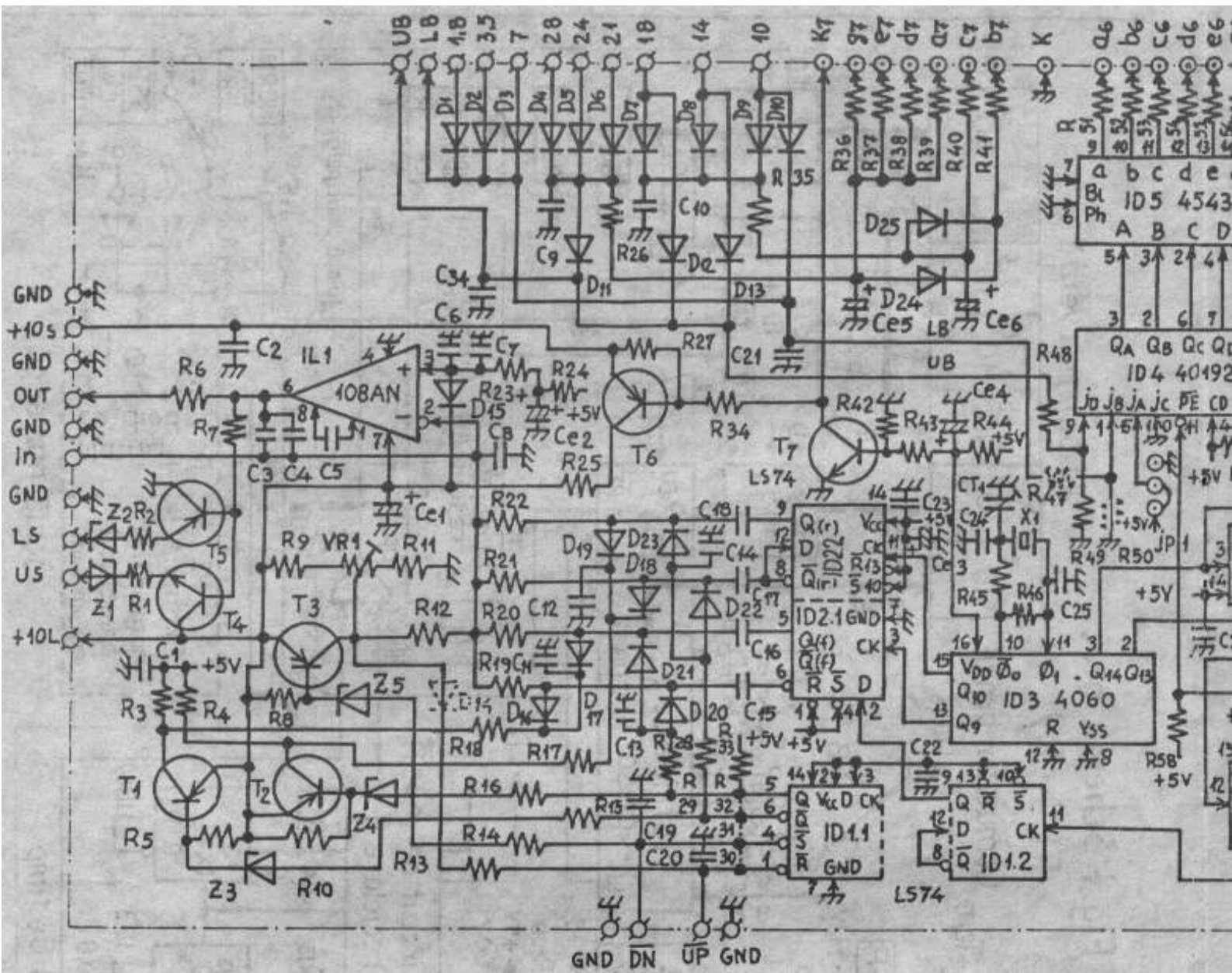
Selectivitatea receptorului se mai poate ajusta în continuare după necesități, în etajele următoare de frecvență intermediară (eventual și din audiofrecvență), prin utilizarea unor filtre secundare, ce au rolul de a suprima din spectrul de zgomot al lanțului de recepție, benzile ce depășesc ecartul de frecvență util al emisiunii recepționate, permițând astfel optimizarea raportului semnal / zgomot și atingerea sensibilității maxime, alături de realizarea altor facilități (I F Shift, Notch etc.), aceste filtre putând fi piezoelectrice, electromecanice, de tip L - C, active analogice sau digitale - D S P [3].

În regim de amator, pentru realizarea unei heterodine (oscilator local) de zgomot redus, cu frecvență variabilă, care să aibă și o stabilitate a frecvenței comparabilă cu cea a unui oscilator cu cuarț, este interesantă prin simplitatea construcției, soluția folosirii buclei cu calare de frecvență - F L L [4] care se pretează la specificul lucrului în unde scurte, prezentând însă dezavantajul că nu este adecvată operării cu frecvențe înscrise și memorate prin circuite digitale, în schimb scutește amatorul de necesitatea realizării unor pretențioase traductoare incrementale de acord și a unor sisteme logice (combinacionale sau programabile) care, pentru comanda unui sintetizor D D S - P L L de unde scurte, sunt sofisticate.

Considerând filtrul principal componenta determinantă (fiind și una din cele mai costisitoare) la realizarea unui transceiver sau Rx de unde scurte competitiv, în continuare se prezintă o schemă de buclă F L L asociată cu o scală numerică adaptată specificului benzilor de unde scurte utilizând o bază de timp comună, precum și procedura de dimensionare a unor elemente ale schemei, după frecvența centrală a filtrului principal disponibil, care poate fi în acest caz între 8,0 MHz și 10,7 MHz, la o bandă de trecere de cel mult 2,7 kHz pentru S S B (sau 14 kHz pentru N B F

Fig.1 Schema bloc
FLD - 99



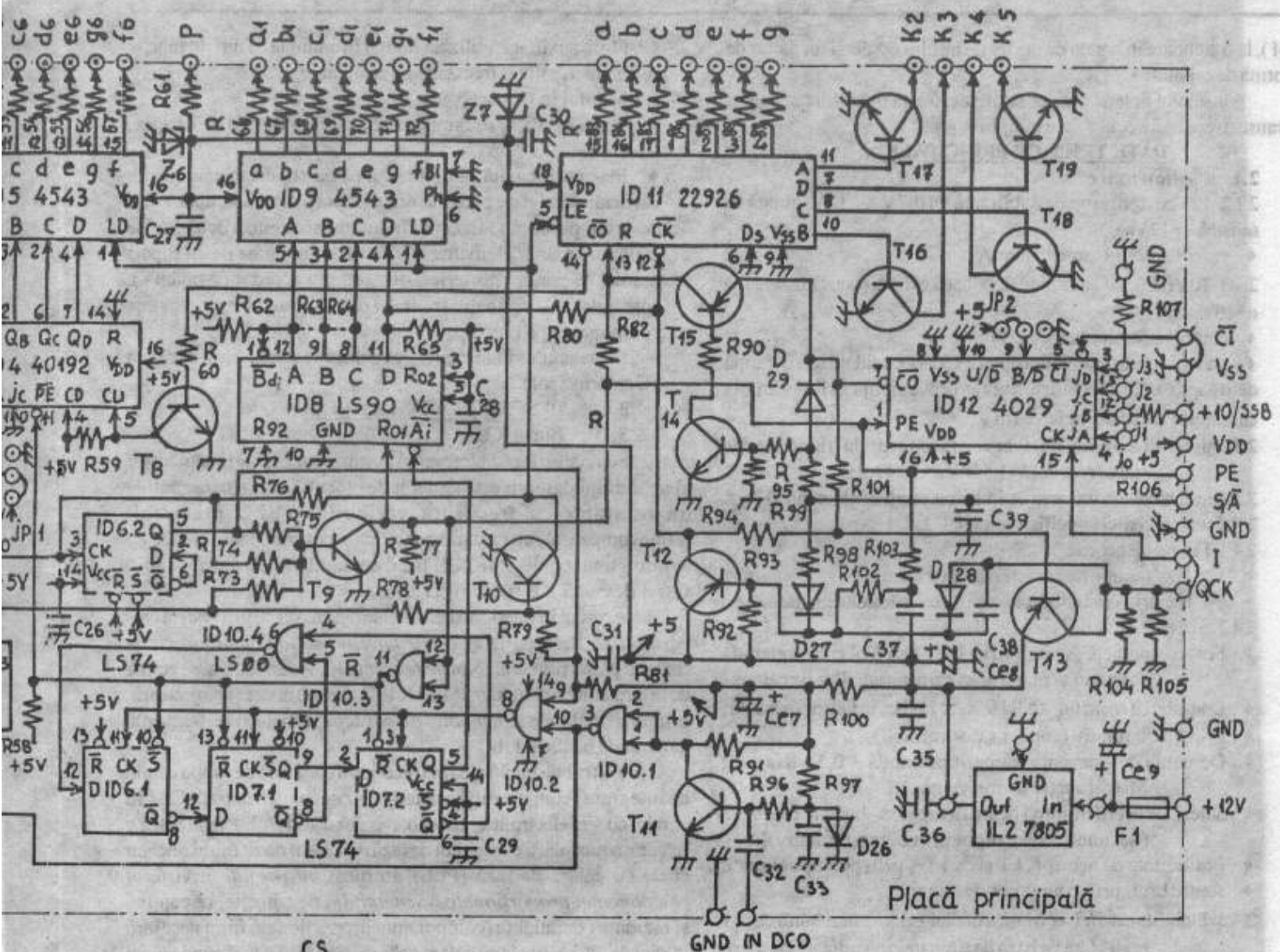


Circuit imprimat scara 1:1
Fața cu lipituri

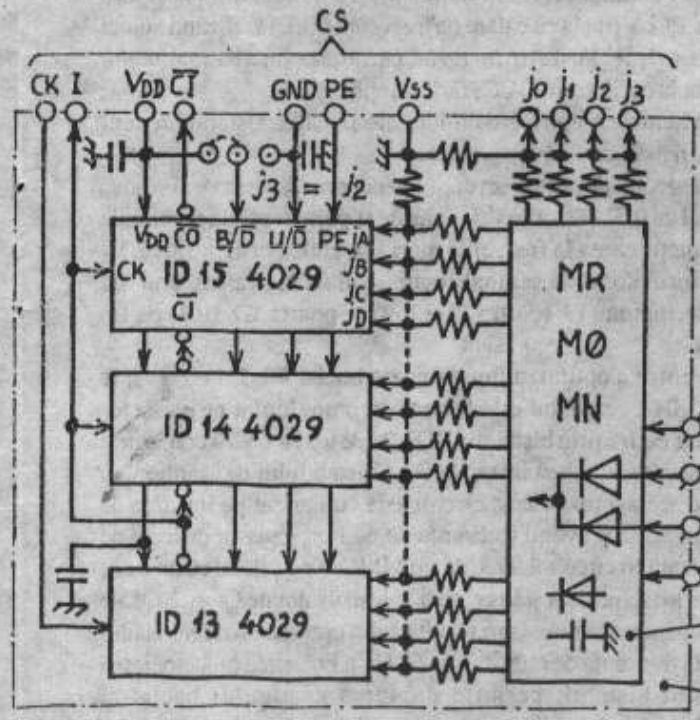
Placă afișaj

LEGENDĂ

- Punct de conexiune (pastilă Cu.) pe cablaj pt. conductori
- ⊗ Cosă
- ⊙ Insulă Cu. găurită (∅ 0,8mm)
- ⊖ Insula Cu. găurită cu ferzinc (nelipită)
- Conexiune pefata cu piese



Placă principală



Matrice cu diode
Placă auxiliară

NOTE

1. Schema este configurată pt. Tx-Rx cu $F_i - 1 = 9,000$ MHz.
2. Placă auxiliară se utilizează numai pt. cazurile unde $F_i - 1$ nu este nr. întreg de MHz, sau banda $F_i - 1$ nu încadrează simetric o astfel de frecvență.
3. În cond. notei 2, matricile MR, M0 și MN se proiectează conf. documentației, funcție de valoarea $F_i - 1$ utilizată.
4. În cond. notei 1, comp. figurate punctat nu se plantează.

Proiectat	Ing. Gheorghian R.	Verificat		Aprobat	
Ing. GHEORGHIAN ROMEO		BUCLĂ CU CALARE DE FRECVENȚĂ ȘI SCALĂ NUMERICĂ PENTRU OSCILATOARE DE UNDE SCURTE			Tip: FLD-99
YO 8 CAN					Planșă Nr. 1

M), la o atenuare în banda de oprire de minim 65 dB și un factor de formă de cel mult 3.

Sistemul descris mai jos se pretează și la modernizarea unor transceivere mai vechi (de exemplu A - 412).

2. DATE TEHNICE PRINCIPALE

2.1 Alimentare:

2.1.2 12Vcc. tensiune nestabilizată (10,7V ... 18V, notată în schemă «+12V»),

♦ curent absorbit : max. 180mA.

2.1.3 10V(±0,1V) tensiune stabilizată extern (notată în schemă «+10Vs»),

♦ curent absorbit : 3mA ... 30mA;

♦ variații admisibile ale tensiunii +10Vs (ondulații sau în formă de treaptă), față de tensiunea de proveniență ori la variația curentului absorbit : max. ±1mV.

2.2 Domeniu maxim de frecvență operat la intrarea de radiofrecvență : 1,5 MHz ... 24 MHz.

2.3 Sensibilitatea la intrarea de radiofrecvență a sistemului : 0,3Vef.

2.4 Caracteristici specifice buclei F L L :

2.4.1 Finețe de acord :

♦ 128 Hz / familie de caracteristici de calare;

♦ 64 Hz prin reversibilitatea caracteristicilor de calare.

2.4.2 Sisteme de acord :

♦ Fin, cu contacte (switch-uri) UP / DOWN care comandă simultan și reversarea caracteristicilor de calare;

♦ Domeniu de acord fin : ±3kHz ... ±15kHz, în funcție de bandă;

♦ Prin buton rotativ (condensator variabil);

♦ Domeniu de frecvență acoperit pe bandă : 0,5 MHz ... 2 MHz funcție de frecvență,

♦ Viteză de acord minimă pentru «ruperea» buclei : cca. 5 Hz / secundă (la acordul prin butonul rotativ);

♦ Posibilitate de acord R I T și X I T (prin potențiometre);

♦ Acord brut, prin comutator de benzi.

2.4.3 Stabilitatea în frecvență a buclei calate : mai bună de ±1 ppm, față de baza de timp internă pilotată cu cuarț.

2.5 Caracteristici specifice scalei numerice :

2.5.1 Afișare :

♦ Număr de cifre afișate : 6 la benzile sub 10 MHz și 7 cifre la benzile peste 10 MHz;

♦ Rezoluție : 10 Hz.

2.5.2 Semnal măsurat : frecvența primului oscilator local (denumit aici D C O).

2.5.3 Operații aritmetice (opționale) efectuate automat asupra semnalului măsurat, pe bază de semnale de comandă (de la comutatoarele de benzi, de moduri de lucru etc.) și presetări :

♦ Adunări,

♦ Scăderi.

2.6 Parametri necesari pentru semnalul de radiofrecvență de atac (la ieșirea oscilatorului local D C O):

2.6.1 Domenii de frecvență :

♦ 9,5 MHz ... 21 MHz, pentru lucrul în benzile de 1,8 MHz, 3,5 MHz ... 10,1 MHz,

♦ 3 MHz ... 23 MHz, pentru lucrul în benzile de 14 MHz, 18 MHz ... 29,7 MHz.

2.6.2 Tensiune de atac : 0,3Vef ... 0,6Vef/50Ω;

2.6.3 Deriva de frecvență admisibilă pentru oscilatorul D C O «liber»: cel mult ±1000 ppm pe oră.

2.7 Construcție:

♦ Placă principală, dublu placată, cu dimensiunile: 230mm x 76mm,

♦ Placă de afișaj, simplu placată, cu dimensiunile: 78 mm x 29mm.

♦ Placă auxiliară, utilizată numai în anumite cazuri, în funcție de valoarea primei frecvențe intermediare.

2.8 Montaj în transceiver :

♦ Placa de afișaj se montează de panoul frontal al Tx - Rx, (decupat);

♦ Placa principală se montează pe un suport metalic-ecran vertical, paralel cu peretele din dreapta al carcasei aparatului deservit, permițând trecerea în lungul acesteia, a două axe de acționare a unor elemente ale Tx - Rx (montate pe un suport paralel cu panoul posterior, de exemplu acordor de antenă), spre butoanele panoului frontal (zone în care nu sunt plantate componente pe placă);

♦ Placa auxiliară (în caz că este utilizată) se montează deasupra plăcii principale.

3 DESCRIEREA SISTEMULUI

3.1 Bucle F L L

Semnalul de radiofrecvență destinat atacului primului mixer al aparatului deservit este generat de blocul D C O, care conține un oscilator cu frecvență variabilă (VFO preferabil termocompensat) cu circuite comutabile pentru fiecare bandă, cu ajutorul unui comutator KB, fiind comandat și în tensiune prin filtrul de buclă F B (vezi Fig. 1).

Acordul în interiorul benzilor se realizează cu un condensator variabil pe de o parte și electronic, prin diode varicap pe de cealaltă parte, prin semnalul de tensiune V_o. Acest semnal se obține de la circuitul de comutare R I T / X I T (clasic) în care se injectează, prin rezistența R_r și semnalul de corecție a abaterii de frecvență generat de bucla F L L.

Filtrul de buclă de tip trece-jos (care este de fapt o celulă de integrare) compus din rezistența R_r și condensatorul C_f (în paralel cu C_{ef} electrolitic, cu valoarea de peste 4,7μF), realizează o rejecție a modulării cu zgomot de fază mai bună decât filtrul oricărei bucle cu calare de fază (PLL), întrucât nu permite transferul componentei proporționale a semnalului de corecție, ce conține și reziduuri ondulate (componenta proporțională fiind necesară la buclele PLL). Buclele cu calare de frecvență (FLL) realizând numai un algoritm de reglaj de tip integral, permite obținerea minimului de zgomot la oscilatorul DCO, fără complicații.

Schemele electrice detaliate ale plăcilor sistemului sunt cuprinse în planșa Nr. 1.

Semnalul de radiofrecvență (trecut prin separatoare) și adus la un nivel de 0,3Vef ... 0,6Vef (valorile superioare fiind favorabile pentru funcționarea la frecvențe mari) se aplică prin intrarea IN DCO la formatorul de semnal logic, realizat cu tranzistorul de comutație rapidă T1 (de tip 2N2369) și poarta ID 10.1, de tip 74LS00.

Pentru a optimiza funcționarea buclei F L L la frecvențe peste 10 MHz, semnalul este format dreptunghiular cu un factor de umplere de 1/2 prin bistabilul ID1.2, de tip 74LS74 configurat «T», după care se aplică intrării «D» a bistabilului de eșantionare ID2.1, de același tip. Acest circuit este comandat pe intrarea de ceas cu un semnal având frecvența de 64 Hz, generat de baza de timp realizată cu circuitul ID 3, de tip MMC 4060 pilotat cu un cuarț de 32,768 kHz (utilizat și la ceasuri). Ieșirile notate Q_f și NQ_f ale lui ID2.1 generează impulsuri rezultate din eșantionarea semnalului D C O (la frecvența de referință de 64 Hz). Folosirea ambelor ieșiri ale acestui bistabil, permite dublarea câștigului buclei și înjumătățirea ondulațiilor remanente după prelucrarea primară a semnalului de corecție. Întrucât intrarea «D» a bistabilului de eșantionare este comandată cu semnalul D C O divizat prin 2, pasul de acord pe familie de caracteristici de calare este 128 Hz. Impulsurile de referință necesare procesării analogice a semnalului sunt obținute de la ieșirile notate Q_r și NQ_r, ale bistabilului de

referință ID2.2 (din aceeași capsulă cu cel de eșantionare), comandat de baza de timp cu frecvența de 32 Hz.

Impulsurile de eșantionare și de referință sunt aplicate unor grupe de derivatoare - redresoare Df+, Ndf+ (pentru semnalul eșantionat), Dr-, NDr- (pentru semnalul de referință), activate pentru obținerea de impulsuri derivate pozitive din eșantionarea semnalului DCO și respectiv negative din cel de referință, permițând obținerea unei familii de caracteristici de calare a buclei. Prin inhibarea acestor circuite și activarea derivatoarelor complementare Df-, Ndf- și respectiv Dr+, NDr+ se obține și familia complementară de caracteristici de calare, dublându-se finețea de calare a buclei. Prin acționarea tastelor UP/DOWN se obține artificial, pasul minim de 64 Hz pentru acordul fin al DCO. Derivatoarele construite cu condensatoarele C15, C16, C17 și C18 împreună cu rezistențele R19, R20, R21 și R22, realizează atacul în curent al integratorului realizat cu amplificatorul operaționalului IL 1. Redresarea impulsurilor se realizează, în funcție de polaritatea aleasă, cu perechile de diode de comutație D20, D21 și D22, D23, pentru impulsuri pozitive și respectiv D16, D17 și D18, D19, pentru impulsuri negative, față de o masă virtuală situată la jumătatea tensiunii de alimentare a integratorului, obținută prin rezistența R24, filtrată cu Ce2, C6 și C7, din tensiunea internă de +5V, stabilizată cu integratul IL 2 (de tip β A 7805, care alimentează și circuitele logice).

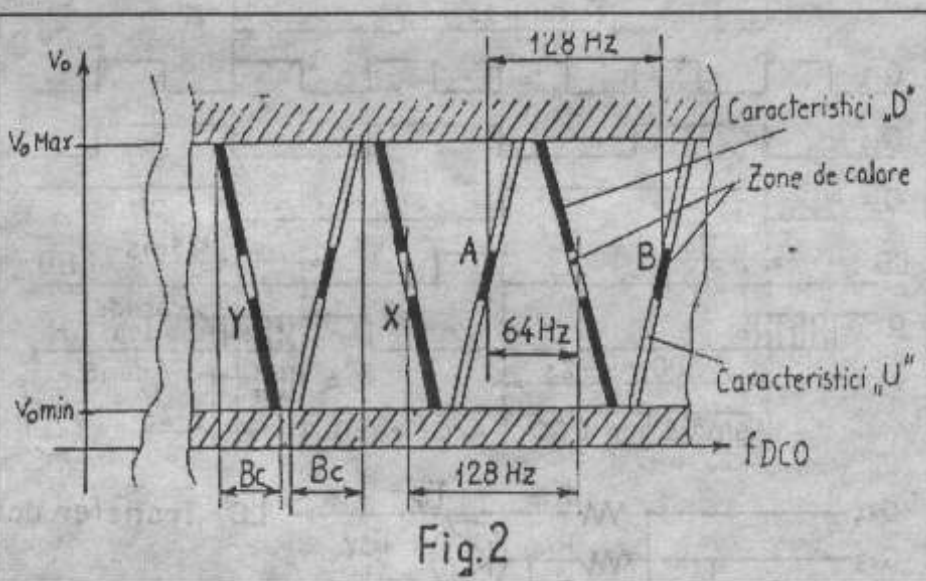
Datorită utilizării derivatoarelor duble, integratorul se poate realiza și cu un operațional ce are curenți de polarizare de maxim 1 nA, acesta putând fi de tip β M 108 AN. Pentru reducerea efectului curenților de polarizare, este prevăzut circuitul de compensare realizat cu potențiometrul semivariabil VR1. Integratorul este realizat cu condensatoarele C3 și C4 (totalizând cca. 1 μ F), montate între intrarea inversoare și ieșirea operaționalului, realizând și prima treaptă de filtrare a semnalului de buclă. Cu ajutorul a două repetoare complementare realizate cu tranzistoarele T4 și T5 se obțin, pornind de la ieșirea integratorului, niște semnale de alimentare a două LED-uri care indică preventiv posibilitatea saturării integratorului - situație în care acesta trebuie resetat, prin poziționarea în ON a comutatorului KF (urmată apoi de comutarea în poziția FLL a acestuia). Diodele zener Z1 și Z2 împiedică aprinderea la maxim a acestor LED-uri, când tensiunea de ieșire a integratorului este în limite normale, situație în care numai unul din acestea luminează variabil, după mărimea și sensul tendinței de derivă a frecvenței DCO calat. Aceste LED-uri suplinesc de fapt, funcția unui voltmetru indicator al tensiunii de corecție a buclei. Dacă se ajunge la saturarea integratorului chiar după acomodarea termică a aparatului, este semn că deriva frecvenței DCO este prea mare și oscilatorul trebuie termocompensat.

Filtrul de buclă (Rr, Cef || Cf) constituie a doua treaptă de integrare a semnalului Vo (de comandă în tensiune a DCO), rejectând la o valoare nesemnificativă ondulația rămasă după integrarea semnalului cu operaționalul IL 1 (și condensatoarele aferente).

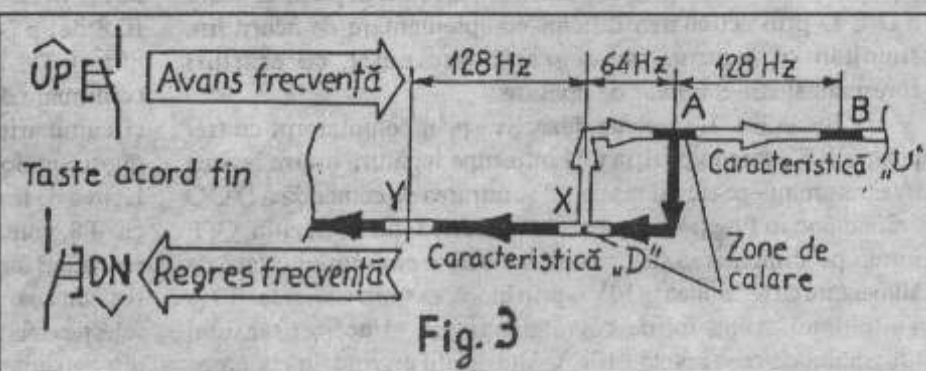
Acordul fin al DCO se realizează cu tastele UP/DN prin absorbția de curent (direct prin contactul tastei UP) și respectiv debitarea de curent (prin tranzistorul translator de nivel T3, la acționarea tastei DN), prin rezistența R12 în intrarea integratorului,

producând deplasarea spre +10V sau spre masă a ieșirii acestuia, cu tensiuni dependente de timpul de apăsare pe taste, realizând prin diodele varicap avansul sau regresia frecvenței DCO. După eliberarea tastei, frecvența se prinde în zona de calare de pe caracteristica apropiată.

În vederea obținerii fineții maxime de acord fără a reduce câștigul buclei concomitent cu o bună manevrabilitate, schema realizează reversarea familiilor de caracteristici de calare (în funcție de frecvența DCO) din caracteristici virtuale în reale și invers, reprezentate în Fig. 2, tot pe baza contactelor tastelor UP/DN - a căror ultimă acționare este memorată în bistabilul ID 1.1 configurat «R - S», comandat de acestea. Ieșirile bistabilului inhibă funcționarea detectoarelor de impulsuri pozitive, prin blocarea forțată în tensiune continuă a diodelor D20 - D21 sau D22 - D23, funcție de starea bistabilului. Inhibarea detectoarelor de impulsuri negative (D18 - D19 sau D16 - D17) se realizează prin niște



inversoare - transatoare de nivel (spre +10V), realizate cu tranzistoarele T1 și respectiv T2, comandate de ieșirile acestui bistabil, rămânând astfel activă câte o pereche de derivatoare duble, selectate. Funcție de ultima tastă de acord apăsată, prin selecția polarității impulsurilor de eșantionare și de referință (care au polaritatea complementară) se obține calarea buclei pe una din caracteristicile figurate în desen ascendent - denumite mai departe caracteristici de tip «U» sau respectiv, pe una din cele descendent - denumite de tip «D». Benzile de captură ale buclei sunt de cca. 64 Hz, frecvența DCO fiind «trașă» în zona de calare apropiată la încetarea acordului, situată pe tipul de caracteristică aleasă din ultima acționare a tastelor de acord (reținută de ID 1.1).



O secvență de acord cu acest sistem este ilustrată în Fig. 3. De exemplu, după încetarea rotirii butonului condensatorului variabil, bucla se calează în zona X de pe o caracteristică D (apropiată opririi acordului, ultima dată fiind acționată tasta DN,

lucrându-se cu L S B).

Dacă tonul noii emisiuni ascultate este prea grav, se apasă scurt tasta UP ce determină, prin resetarea bistabilului ID 1.1, realizarea caracteristicilor de calare de tip U și virtualizarea celor de tip D provocând o rupere a buclei, simultan cu o mică pozitivare a ieșirii integratorului proporțională cu durata apăsării tastei, ceea ce determină o creștere a frecvenței D C O care, de această dată se va cala în zona A de pe caracteristica de tip U în care a fost «tras» analogic oscilatorul, după eliberarea tastei realizându-se o creștere cu 64 Hz a frecvenței acestuia. Dacă timpul de apăsare a tastei este mai lung, suficient ca frecvența oscilatorului să ajungă lângă zona B bucla se calează aici, realizând o creștere de aproximativ 192 Hz; menținând tasta apăsată în continuare, bucla se poate cala pe această familie de caracteristici, în pași de 128 Hz, frecvența avansând cu timpul de apăsare a tastei. Dacă se dorește o scădere

minim de componente, în condițiile realizării funcțiilor principale pentru echiparea unui transceiver de unde scurte.

O problemă mai delicată în astfel de aplicații, este corecția indicației scalei (care de fapt măsoară frecvența heterodinei, ce nu coincide cu frecvența purtătoare), în funcție de relația de mixare folosită și de particularitățile fiecărui mod de lucru. Pentru rezolvarea acesteia, legat de tema tratată aici, în general se cunosc două procedee: realizarea unui frecvențmetru cu mai multe intrări, care să măsoare frecvențele tuturor oscilatoarelor din transceiver, după care să afișeze rezultatul unor operații aritmetice efectuate între aceste frecvențe (funcție de benzi, moduri de lucru etc.) și respectiv, folosirea pentru digiții afișați a unor numărătoare presetabile distinct, prin matrici cu diode comandate de mai multe semnale dependente de benzi, moduri de lucru etc.) scala măsurând în acest caz numai frecvența primei heterodine.

Primul procedeu are dezavantajul complexității schemei și dificultății de aplicare, iar al doilea necesită multe componente, neputându-se realiza cu circuite integrate ce conțin în aceeași capsulă mai multe numărătoare, (de regulă nefiind și presetabile distinct) iar sistemul de matrici rezultă deosebit de complicat, pentru o rezoluție a afișării de 10 Hz, în condițiile specifice lucrului pe toate benzile de unde scurte.

În continuare se prezintă o altă modalitate de soluționare a corecției indicației scalei numerice, prin utilizarea unui circuit aritmetic specializat inclus în schema frecvențmetrului care, făcând posibilă utilizarea unui numărător - decodor integrat de 4 digiți de tip MMC 22926, permite economisirea a 4 până la 7 circuite integrate la această aplicație, iar în cazul utilizării unui filtru principal în transceiver cu frecvența centrală a benzii de trecere egală cu un număr întreg de MHz, permite simplificarea substanțială a matricilor cu diode de presetare.

Impulsurile provenind din semnalul primei heterodine a transceiverului (blocul D C O în acest caz) formate logic cu T11 și poarta ID 10.1, sunt aplicate porții

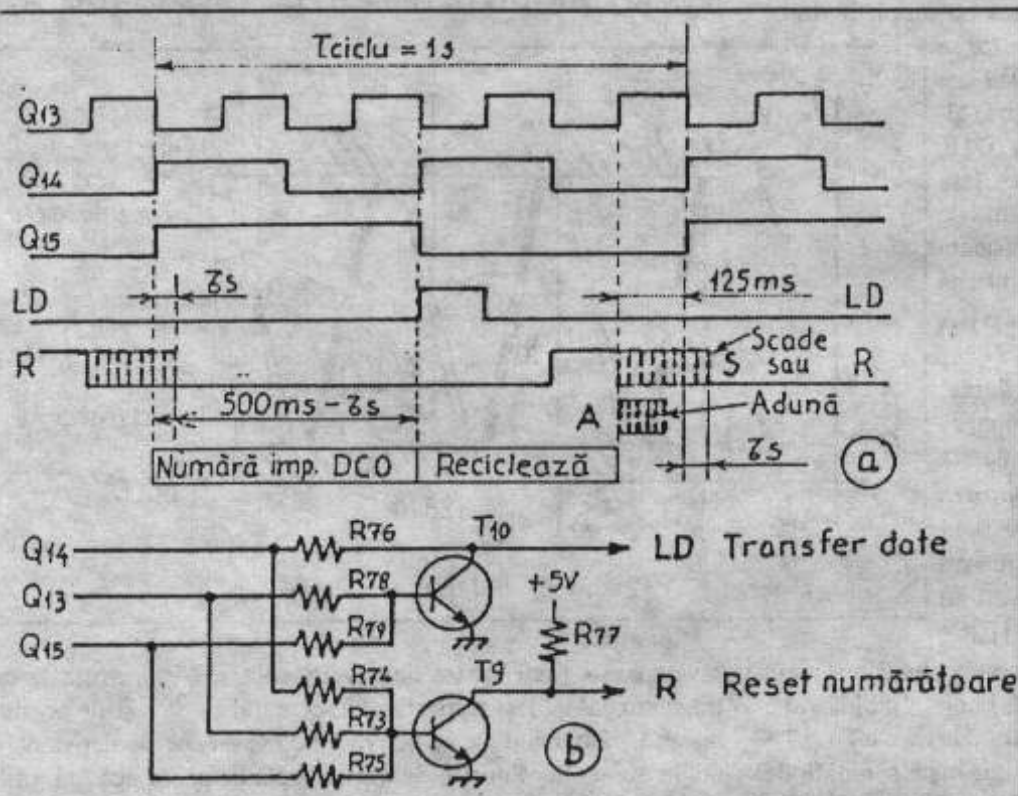


Fig.4

a frecvenței cu 64 Hz, bucla fiind pe o caracteristică de tip U, se apasă scurt tasta D și lucrurile decurg similar, dar în sens invers, «dreptunghiul de acord» de minimum 64 Hz, (după cum este figurat) putând fi reprodus din ambele sensuri, oriunde în plaja de acord a D C O prin acționarea tastelor complementare de acord fin, simultan cu avansul sau regresia frecvenței, cu ecarturi coferspuzătoare timpului de apăsare.

Buclea F L L se poate dezactiva prin comutatorul cu trei poziții KF, care în poziția ON întrerupe legătura dintre ieșirea integratorului - pe care îl resetează și intrarea de comandă a D C O, rămânând în funcție numai scala numerică, iar în poziția OFF întrerupe alimentarea sistemului, inclusiv a circuitului intern de alimentare cu tensiunea +10Vs, prin blocarea tranzistoarelor T7 și T6, ultimul având rol de comutator intern al acestei tensiuni (disponibilă la cota notată +10L). Alte detalii privind funcționarea buclei F L L se pot găsi în [4].

3.2 Scala numerică

Schema este astfel structurată încât să conțină un număr

frecvențmetrice PF realizată cu poarta ID10.2, care comandă intrarea unui lanț de numărătoare cascade, formate dintr-o celulă de numărare cu 5 stări (relizată cu bistabilii «D» ID 6.1, ID 7.1, ID 7.2 de tip 74 LS 74 și poarta de reacție ID10.4), care comandă decada ID 8 de tip 74 (LS) 90, realizând digitul zecilor de Hz (primul digit afișat). De la ieșirea D a acesteia, semnalul este numărat în continuare de decada cvadruplă ID11, de tip MMC 22926, prin circuitul aritmetic de scădere /adunare. Acest integrat constituie digiții sutelor de Hz, kHz -lor, ... sutelor de kHz (digiții 2 ... 5). Ieșirea de transport a acesteia, printr-un inversor de stare realizat cu T8, comandă decada presetabilă ID 4, de tip MMC 40192, realizând digitul 6 (al unităților de MHz). Digitul 7 al scalei este realizat cu o matrice de afișaj cu diode, comandată cu tensiunile de selecție electrică a filtrelor trece-bandă ale transceiverului, obținută din tensiunea +10Vs, cu ajutorul unui galet al comutatorului de benzi KB. Această matrice comandă direct afișorul zecilor de MHz și generează două semnale cu nivel de tensiune ridicat (de cca. +8,5V), notate LB și UB, fiind activat câte unul, în funcție de banda

selectată (benzi inferioare, benzi superioare), necesare comenzii circuitului aritmetic și a presetării numărătorului digitului 6.

În scopul reducerii hazardului de instabilitate a cifrei mai puțin semnificative, în zona de frecvență ridicată a lanțului numărător, precum și la comanda porții frecvențmetrice, s-a folosit logică de viteză (familia 74LS XX), iar prima celulă de numărare nu este afișată. Afișoarele digiților 1 și 6 ai scalei sunt comandate prin decodare - latchuri de tip MMC 4543 (ID 9 și respectiv ID 5).

Deschiderea porții frecvențmetrice, transferul rezultatului numărării spre afișaje, resetarea numărătoarelor și a circuitului aritmetic sunt realizate pe baza comenzilor generate de un circuit de reciclare.

Diagrama temporală de lucru a scalei este dată în Fig. 4 a, iar schema circuitului de obținere a semnalelor de reciclare este redată în Fig. 4 b.

Circuitul de reciclare este comandat de ieșirile finale ale divizorului bazei de timp ID3 (Q13 și Q14), care comandă și un divizor prin 2 realizat cu bistabilul ID 6.2, de tip 74LS 74, pentru a realiza fronturi abrupte, deoarece prin ieșirea acestuia - notată în schemă Q15, deschide și închide poarta frecvențmetrică (ce comută la frecvența maximă din sistem).

Corecția indicației scalei numerice după benzile în care se lucrează, după modul de lucru și banda laterală folosită, se realizează astfel:

- ♦ La cifra zecilor de MHz - direct prin construcția matricei de afișaj;
- ♦ La cifra unităților de MHz - prin presetarea a cel mult 2 intrări ale decadei aferente (ID 4), cu semnalele UB și LB, generate de matricea de afișaj, realizând corecția după banda lucrată și relația de mixare folosită;
- ♦ Asupra lanțului de numărătoare afișate, începând cu digitul sutelor de Hz și terminând cu cel de MHz - prin efectul circuitului aritmetic, realizând corecția «fină», la o rezoluție de 100 Hz, care ține cont de decalajul purtătoarei față de frecvența centrală a filtrului principal, de obicei de ± 1500 Hz (ceea ce înseamnă 15 unități, de la nivelul de operare al circuitului aritmetic) sau zero, în funcție de modul de lucru ori banda laterală utilizată, pe baza unor circuite de comandă în legătură cu comutatoarele transceiverului deservit, conform schemelor prezentate.

Un ciclu de măsură al scalei numerice durează 1 secundă, din care 500 ms sunt alocați numărării impulsurilor semnalului măsurat, restul de timp fiind destinat reciclării și operării aritmetice.

După încheierea numărării, determinată de trecerea în zero a ieșirii Q15 și închiderea porții frecvențmetrice, Q13 fiind în zero, tranzistorul T10 se blochează, permițând transmiterea nivelului 1 logic de la Q14, prin R76, spre intrările de dezactivare a latchurilor pentru afișaje (LD), transferând rezultatul numărării spre circuitele de afișaj. După trecerea în 1 logic a ieșirii Q13, T10 se saturează, determinând activarea latchurilor, care mențin rezultatul numărării care se afișează, până la următorul ciclu. După asigurarea unei perioade setup pentru latchuri (aici de 125ms), prin trecerea în zero a ieșirilor Q13, Q14 și Q15, tranzistorul T9 se blochează permițând trecerea în 1 logic a circuitului de reset (R) prin R 77, determinând aducerea în zero a numărătoarelor (o perioadă de aproximativ 125 ms); după readucerea în zero prin saturarea lui T9 a circuitului de reset și asigurarea unui setup-time pentru numărătoare, Q15 trecând în 1 logic deschide poarta frecvențmetrică, începând un nou ciclu.

Scăderea din rezultatul numărării ce urmează a fi afișat a unui număr de impulsuri (corespunzător sutelor de Hz) se realizează la această schemă prin diminuarea timpului de numărare cu

perioade τ_s , aferente ignorării acestui număr de impulsuri, din cele pe care le incrementează decadele 2, 3, ..., 6 prin prelungirea controlată cu circuitul aritmetic a palierului de reset a numărătoarelor digiților 2, 3, 4 și 5 (din circuitul ID11), până în zona perioadei de numărare.

Adunarea la rezultatul numărării care se afișează a unui număr de impulsuri (de sute de Hz) se face prin incrementarea suplimentară a acestui număr de impulsuri, care sunt generate de circuitul aritmetic, în perioada disponibilă (de sub 125 ms), care se scurge de la dezactivarea semnalului de reset a numărătoarelor (plus timpul necesar de setup a decadelor), până la începerea noii perioade de numărare a impulsurilor semnalului DCO.

Pentru detalierea modului de funcționare a circuitului aritmetic, în Fig. 5 este reprodusă schema de principiu a acestuia.

Circuitul lucrează după un semnal de comandă a operării notat S/Ā, care dacă este adus la un nivel ridicat de tensiune (8,5V...9V), determină funcționarea acestuia în regim de scădere, iar dacă este pus la masă (sau la 0V...0,4V) ori lăsat în impedanță ridicată (HZL), comandă lucrul în regim de adăție.

Schema conține un inversor cu comandă dublă (logic echivalent cu o poartă de tip SAU negat) realizat cu tranzistorul de înaltă frecvență T13 de tip BF506, care atacă intrarea de ceas a unui numărător de tip 4029 de 4, 12 sau 16 biți, realizabil din 1, 2 sau 4 capsule MMC 4029 presetate în anumite cazuri de niște matrici cu diode, după cum se va arăta mai departe. Pe placa principală a sistemului este plantată însă numai o capsulă MMC 4029 fără matrice cu diode, constituind varianta minimală, corespunzătoare utilizării la transceiverul deservit a unui filtru principal cu frecvența centrală a benzii de trecere egală cu un număr întreg de MHz. Pentru alte cazuri, este necesară construirea unei plăci auxiliare, care conține o extensie de 1...3 capsule 4029 cascade și matricile de presetare cu diode, care se conectează la placa principală prin conexiunile notate «C S». Schema din Fig. 5 exemplifică varianta extinsă, cu caracter general.

Partea de circuit specifică adăției conține un inversor de fază realizat cu tranzistorul de joasă frecvență T12, de tip BC 256 A, inhibabil prin blocarea forțată (a joncțiunii B - E) de către nivelul ridicat al semnalului S/Ā, prin R 98 și D27.

Partea specifică scăderii conține tranzistorul de joasă frecvență T15 de tip BC178, cu rol de poartă de transmisie, comandat prin tranzistorul T14 (de tip BC171 B), de semnalul S/Ā și condiționat de ieșirea de transport a numărătorului circuitului aritmetic, prin dioda D29.

În schema scalei numerice, circuitul aritmetic este intercalat pe intrarea de ceas (notată c) și pe cea de reset (notată h), ale decadei cvadruple ID 11 (ce realizează digiții afișați 2...5).

Dacă intrarea S/Ā este în zero logic (sau în HZL), atunci T14 și T15 sunt blocate, neafectând modul de resetare a circuitului ID 11, comanda de aducere la zero de reciclare (R) ajungând la intrarea de resetare (h) a integratului prin rezistența R 82, de valoare neglijabilă față de impedanța de intrare a acestuia.

Pe durata activă a impulsului de reset de reciclare, numărătorul circuitului aritmetic se încarcă cu codul aplicat pe intrările sale de presetare, după modul de conectare a acestora sau în cazul general, prin matricile cu diode notate MN, MO și MR (cu niște divizoare adaptoare de nivel) care sunt activate de niște semnale (notate N, R, C și T), obținute din tensiunea +10Vs, prin contactele unui comutator de moduri de lucru KM și ale unui de selecție a benzii laterale lucrate KS, montate pe panoul de comandă al transceiverului (care comandă și alte circuite din transceiver).

După căderea în zero a impulsului R, tranzistorul T12 este polarizat prin rezistențele R102 și R103 și împreună cu T13 formează

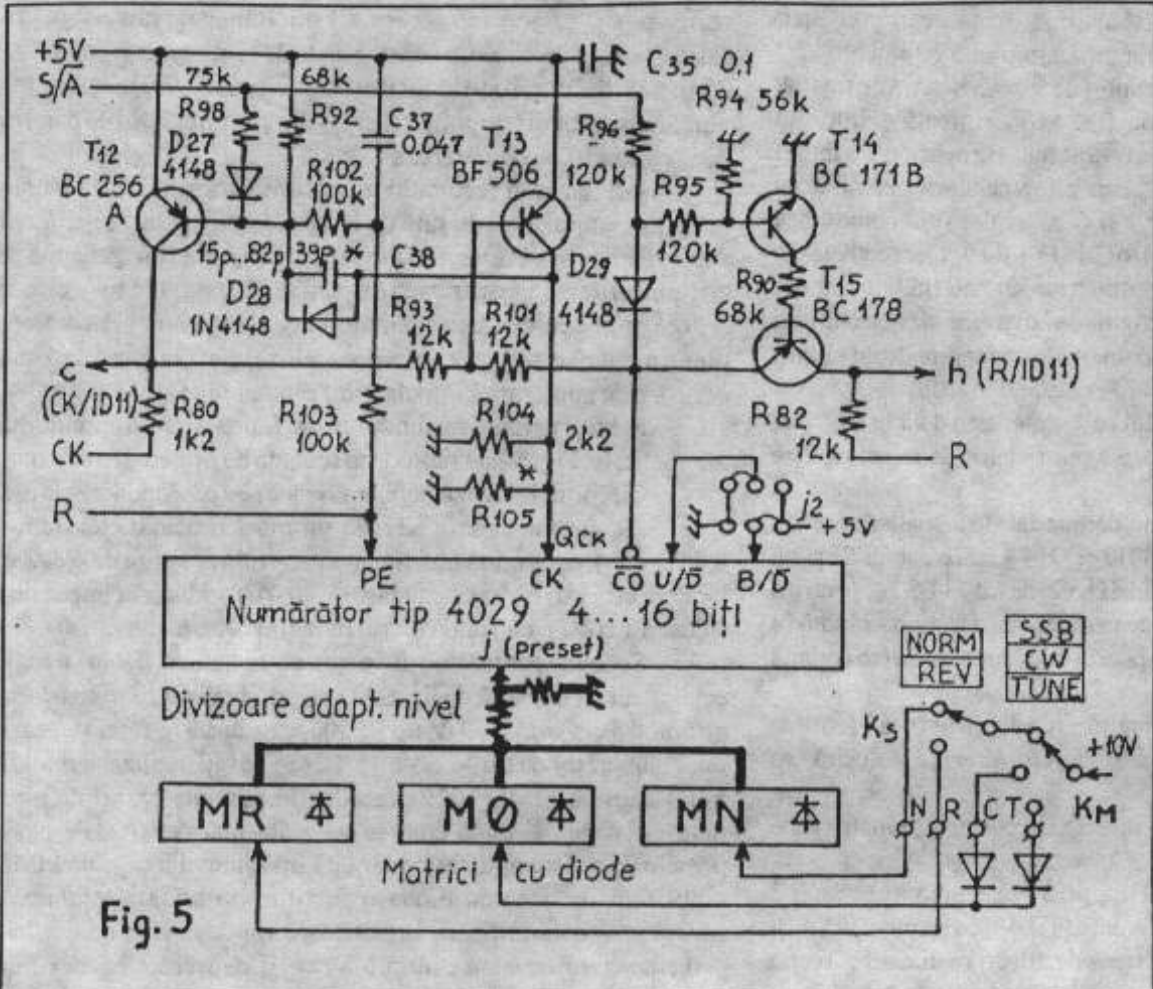


Fig. 5

un astabil cu frecvența de lucru ajustabilă între cca. 70kHz ... 100kHz, dependentă de condensatorul C38 și rezistența grupului R104 || R105, schema funcționând corect (privind calitatea impulsurilor generate) numai cu tipurile specificate de tranzistoare. Numărătorul fiind conectat să numere înapoi, își decrementează conținutul cu impulsurile generate de astabil. Când ajunge în starea terminală (zero), ieșirea de transport (NCO) trece în zero logic determinând, prin saturarea lui T15, blocarea astabilului și a tranzistorului T12, cu dioda D28. Acest număr de impulsuri este incrementat și de numărătorul scalei numerice (în digiții 2, 3, ... 6) înainte deschiderii porții frecvențmetrice, acesta fiind deci adunat la numărul de impulsuri de măsură pe ciclu. În acest fel se realizează adăuș la valoarea frecvenței măsurate a unui număr de sute de Hz egal cu numărul înscris la intrările de presetare ale numărătorului circuitului aritmetic din care se scade o unitate (necesară funcționării circuitului).

Din diagrama temporală de funcționare a scalei se poate observa că timpul disponibil pentru realizarea adăușului este de sub 125ms, deci la o frecvență de lucru a astabilului de 100kHz, se vor putea aduna 10 000 impulsuri, ceea ce corespunde la 1MHz pe afișajul scalei numerice, operarea cu unitățile de MHz realizând-o circuitul de presetare a digitului 6, separat. După blocarea lui T12, ID 11 poate număra impulsurile de măsură ce sosesc de la ieșirea D a primei decade afișată ID 8, prin rezistența R 80 (de valoare neglijabilă față de impedanța de intrare a circuitelor CMOS).

Dacă intrarea S/Ā este ținută la un nivel de tensiune ridicat (de 8,5V ... 9V), prin R98 și D27 tranzistorul T12 este blocat forțat, dezactivându-se astabilul (circuitul de ceas al lui ID 11 fiind neafectat) și tranzistorul T14 fiind saturat, prin rezistența R 90 polarizează tranzistorul T15, care ia funcția unei porți de transmisie deschisă și inserată cu o diodă, conectată între ieșirea de transport a numărătorului circuitului aritmetic și intrarea de reset a lui ID

11. Cu ajutorul acestui circuit și al rezistenței R 82, se crează posibilitatea resetării lui ID 11 pe două căi (obținând o echivalență logică cu utilizarea unei porți SAU, dar cu întârzieri mai mici față de utilizarea familiei CMOS 4000).

După căderea în zero a impulsului R și încărcarea în numărătorul circuitului aritmetic a codului corespunzător operației de scădere (după cum s-a arătat și în cazul adăușului), acest numărător își menține în logic ieșirea de transport care, prin tranzistorul T15 saturat, menține resetat numărătorul cvadruplu ID 11 al scalei numerice în continuare, chiar după deschiderea porții frecvențmetrice și sosirea impulsurilor semnalului DCO. Aceste impulsuri sunt numărate deocamdată numai în prima decadă afișată ID 8 (nefiind supusă operației) iar prin inversorul realizat cu tranzistorul T13,

decrementează conținutul numărătorului circuitului aritmetic (perioadă figurată τ_s în diagrama temporală). Când acesta ajunge în starea terminală (zero), își aduce ieșirea de transport în zero logic și prin T15 deblochează numărătorul ID 11 al scalei numerice, care începe să numere impulsurile semnalului de măsură (până la sfârșitul ciclului funcționarea scalei fiind obișnuită). Una din condițiile care contribuie la funcționarea corectă a sistemului la frecvențe cât mai mari, este asigurarea unei rezerve de timp pentru ID 11, între dezactivarea resetului și sosirea primului impuls ce trebuie numărat, rezervă care practic este diminuată de timpii de propagare a fronturilor impulsurilor prin etajul cu T13 (ce trebuie să fie de înaltă frecvență), prin numărătorul circuitului aritmetic și poarta de transmisie, cu tranzistorul T15. Acest tranzistor nu comută, deci nici nu introduce întârzieri, motiv pentru care este de joasă frecvență dar trebuie să suporte tensiuni inverse între bază și emitor de minim 5V. Proiectarea schemei exclusiv cu circuite CMOS seria 4000 ar fi introdus limitări importante la frecvența de lucru, motiv pentru care s-a adoptat soluția prezentată.

Circuitul realizează scăderea din frecvența măsurată de scală, a unui număr de sute de Hz mai mic cu o unitate decât codul cu care se presează numărătorul circuitului aritmetic.

În cazurile când frecvența centrală a benzii de trecere a filtrului principal este un număr întreg de MHz și se lucrează într-un mod la care indicația scalei privind frecvența purtătoare a emisiunii nu trebuie decalată cu $\pm 1,5\text{kHz}$ (de exemplu emisia în CW) operarea trebuie inhibată, lucru ce se realizează aici prin conectarea la masă a intrărilor de presetare ale numărătorului circuitului aritmetic, presetându-l direct în starea terminală. În această situație prin dioda D29 se asigură, prin blocarea tranzistorului T14, dezactivarea circuitului de scădere chiar dacă intrarea S/Ā este la nivelul de tensiune ridicat, asigurând prioritatea inhibării operației aritmetice după presetarea direct în starea terminală.

4. ADAPTAREA SCHEMEI PENTRU APLICAȚII

Valoarea primei frecvențe intermediare a transceiverului, determinată de *frecvența centrală* a benzii de trecere a *filtrului principal utilizat*, impune modul de presetare a numărătorului digitului 6 (cel al MHz - lor) precum și configurarea circuitului aritmetic, în vederea indicării corecte a frecvenței pe toate benzile de unde scurte și modurile de lucru.

4.1 Presetarea numărătorului unităților de MHz

Intrările de presetare ale numărătorului ID 4 se conectează conform **Tabelului 1** (ultimile patru coloane), după *frecvența centrală* a *filtrului principal utilizat*. Intrarea Jc se conectează în toate cazurile la masă, iar pentru prima intrare (JA) pe cablaj este prevăzut jumperul J1, care în funcție de situație, permite conectarea acesteia fie la masă (cazurile 1 și 3) fie la +5V (cazul 2). Intrările Jb și Jd se conectează prin divizoarele de tensiune - adaptoare de nivel R47 / R50, R48 / R49 la semnalele LB și respectiv UB sau la masă, după caz. În cazul conectării la masă, rezistența respectivă de cuplare la semnal nu se plantează pe cablaj, iar în locul aceleia dinspre masă se lipește un strap.

Plansa Nr.1. În acest caz placa auxiliara nu se folosește.

PRECIZĂRI:

a) Datorită apropierii valorii frecvenței intermediare față de banda de 10,1 MHz, pentru evitarea unor complicații (în special la partea radiotehnică a transceiverului deservit), această bandă a fost artificial «categorisită» ca bandă inferioară, motiv pentru care indicațiile privind *banda laterală utilizată* de pe comutatorul KS trebuie să *inversate* când se lucrează în această bandă, adică poziția NORM → REV=LSB și respectiv REV → NORM=USB. Această regulă se poate înscrie pe panoul de comandă al Tx - Rx, *exclusiv pentru banda de 10 MHz*.

b) *Oscilatorul de purtătoare* al transceiverului trebuie proiectat astfel încât, pe baza comenzilor comutatoarelor KM și KS, să genereze:

♦ La pozițiile **NORM**, respectiv **SSB** sau **CW** / recepție - *purtătoarea decalată mai jos* cu un număr de [sute de Hz] egal cu numărul de presetare a numărătorului circuitului aritmetic minus unu, frecvența *acesteia* trebuind să corespundă unui punct de pe caracteristica filtrului la care atenuarea este suplimentară cu -20dB

Tabelul 1

Situații	Frecvența centrală a filtrului principal	Mod de presetare a numărătorului								Conectarea intrărilor de presetare					
		Benzi inferioare				Benzi superioare									
		Zec	Binar c.z.				Zec	Binar c.z.							
		A	B	C	D	A	B	C	D	JA	JB	Jc	Jd		
1	8MHz ≤ f _{XF} < 9MHz	2	0	1	0	0	8	0	0	0	1	J1	LB*	J1	UB*
2	9MHz ≤ f _{XF} < 10MHz	1	1	0	0	0	9	1	0	0	1	+5V	J1	J1	UB*
3	10MHz ≤ f _{XF} < 11MHz	0	0	0	0	0	0	0	0	0	0	J1	J1	J1	J1

* Se conectează prin divizor adaptor de nivel.

NOTĂ: În cazul utilizării sistemului la un aparat cu *conversie directă* în benzile de unde scurte, intrările JA, JB, Jd se conectează la masă, iar în cazul funcționării până la 29,7 MHz, circuitele integrate ID 1, ID 2, ID 6, ID 7 și ID 10 trebuie fie dintr-o familie rapidă, de exemplu: 74(54)F XX (74 S XX sau cel puțin 74 H XX selecționate), pentru a extinde domeniul de frecvență al sistemului, situație în care și curentul absorbit de la sursa de +12V va fi mai mare.

4.2 Configurarea circuitului aritmetic

Cicuitul aritmetic se poate configura în mai multe variante, în funcție de *parametrii filtrului principal utilizat*, distingându-se următoarele situații:

4.2.1 Se utilizează un filtru principal la care frecvența centrală a benzii de trecere este egală cu un număr întreg de MHz, cazul tipic fiind cel al folosirii filtrelor industriale pe 9,000 MHz, de exemplu XF 9B (sau BPDF 2.510 produs de S.C. «ROMQUATZ» S.A. București).

Schema de configurare a circuitului aritmetic este reprodusă în Fig.6, întreg montajul fiind realizat pe placa principală, care corespunde și cu varianta din

față de cea de inserție (în banda de trecere). În cazul filtrelor echivalente cu XF 9, decalajul tipic este de 1500 Hz, situație pentru care a fost proiectat circuitul din Fig. 6 și Plansa Nr. 1. În cazul utilizării unui filtru cu banda de trecere mai mică de 2,4 kHz decalajul purtătoarei se poate adopta mai mic, după valoarea acestuia trebuind să fie modificate și conexiunile de presetare, care permit o ajustare a valorii operate, în trepte de 100 Hz;

♦ La pozițiile **REV**, respectiv **SSB** (sau **CW** / recepție - care în principiu însă, poate rămâne ca și în cazul anterior) - *purtătoarea decalată mai sus* cu un număr de [sute de Hz] egal cu numărul de

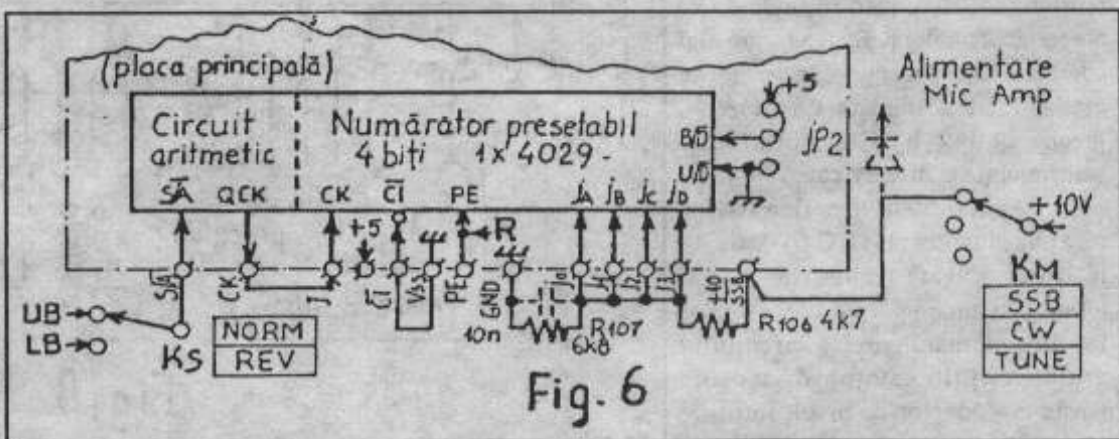


Fig. 6

presetare a numărătorului circuitului aritmetic minus unu, în rest fiind valabile specificațiile de la punctul de mai sus;

♦ La pozițiile CW / emisie precum și la TUNING / emisie sau recepție - purtătoarea cu frecvența egală cu cea centrală a benzii de trecere a lanțului de frecvență intermediară.

4.2.2 Se utilizează un filtru principal la care nici banda de trecere utilă (la o atenuare de -2dB ... -10dB) și nici banda de trecere la o atenuare de minim -20dB sub atenuarea medie de inserție, nu include o frecvență egală cu un număr întreg de MHz. Este cazul utilizării unor filtre cu cuarț pe 10,7 MHz sau a unor filtre confecționate în regim de amator dintr-un număr de 6...8 cristale de cuarț care îndeplinesc anumite condiții, rezonând pe o frecvență care poate fi aici între aprox. 8,01 MHz și cca. 9,2 MHz sau în jur de 10,7 MHz, după procedura din literatura de specialitate [6]. În acest caz circuitul aritmetic are configurația maximă, trebuind construită placa auxiliară din Planșa Nr. 1, în varianta schițată și în Fig.7.

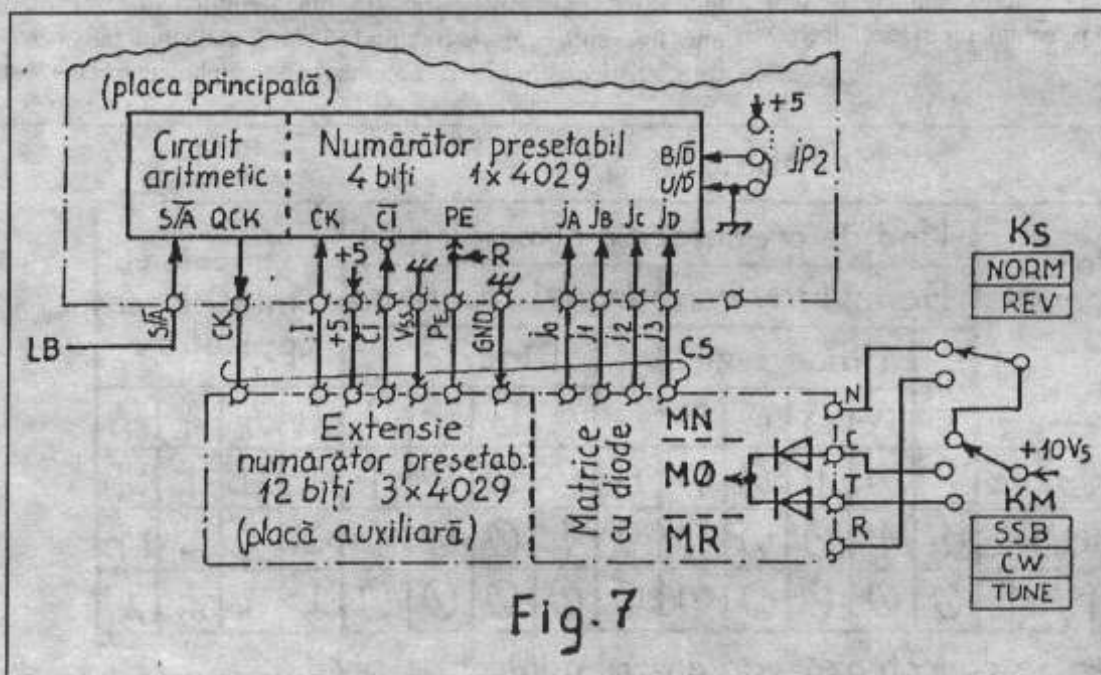


Fig. 7

Placa auxiliară conține o extensie a numărătorului circuitului aritmetic de până la 3 circuite integrate de tip 4029 (funcție de diferența dintre frecvența filtrului și cel mai apropiat număr întreg de MHz) precum și trei matrici cu diode de presetare a lanțului de numărătoare (inclusiv a aceluia de pe placa principală). Placa auxiliară se conectează la cea principală prin conexiunile de cascada notate pe desen «CS».

Matricile cu diode MN, M0 și MR de presetare a lanțului numărător al circuitului aritmetic sunt activate cu tensiuni de +10V prin niște contacte ale comutatoarelor Ks și Km, care mai comandă și frecvențele generate de oscilatorul de purtătoare. Ca principii, precizările a) și b) de la punctul 4.2.1 sunt valabile și în acest caz.

Aplicând tensiunea de +10V pe câte una din intrările N, C (T) sau R, matricea activată realizează, în cod binar, câte un număr de presetare pe intrările numărătoarelor circuitului aritmetic, prin câte un divisor de tensiune - adaptor de nivel, intrările

nefolosite ale numărătoarelor conectându-se la masă (la numărarea înapoi). Deoarece aceste numere depind de frecvența centrală a benzii de trecere a filtrului principal folosit, nu sunt date schemele electrice detaliate ale matricilor, acestea trebuind proiectate pentru fiecare caz particular. Pe baza relațiilor următoare se pot calcula în zecimal numerele de presetare ; după transformarea acestora în cod binar, se pot proiecta și schemele electrice ale matricilor :

$$N_{MR} = N_{fo} + 15 + 1 \quad (4.2.2.0)$$

$$N_{M0} = N_{fo} + 1$$

$$N_{MN} = N_{fo} - 15 + 1, \quad \text{în care :}$$

$N_{M...}$ = numărul (în zecimal) pe care trebuie să-l realizeze fiecare matrice activată, transpus în cod binar, pe intrările de presetare ale numărătoarelor circuitului aritmetic ;

N_{fo} = numărul de [sute de Hz] cu care frecvența centrală a benzii de trecere a filtrului principal, depășește un număr întreg de MHz, de exemplu la un filtru pe 10,700 000 MHz → [70 000] sute Hz.

4.2.3 Se utilizează un filtru cu cuarț a cărui bandă de trecere la -20 dB (sub atenuarea de inserție) include o frecvență egală cu un număr întreg de MHz, număr care nu coincide însă cu frecvența centrală a benzii de trecere a acestuia. Este cazul tipic al unui filtru în scară realizat în regim de amator din cristale inscripționate cu o frecvență «rotundă» (număr întreg de MHz).

Pentru diverși producători, frecvența inscripționată pe cuarțuri nu reprezintă același parametru (de exemplu «S.C. ROMQUARTZ S.A.» inscripționează de regulă

frecvența de rezonanță serie - care nu se poate obține decât cu anumite scheme, special proiectate în acest scop, alți producători inscripționând pe cristale alte frecvențe, situate aproape de rezonanța paralel, care rezultă prin utilizarea altor scheme de

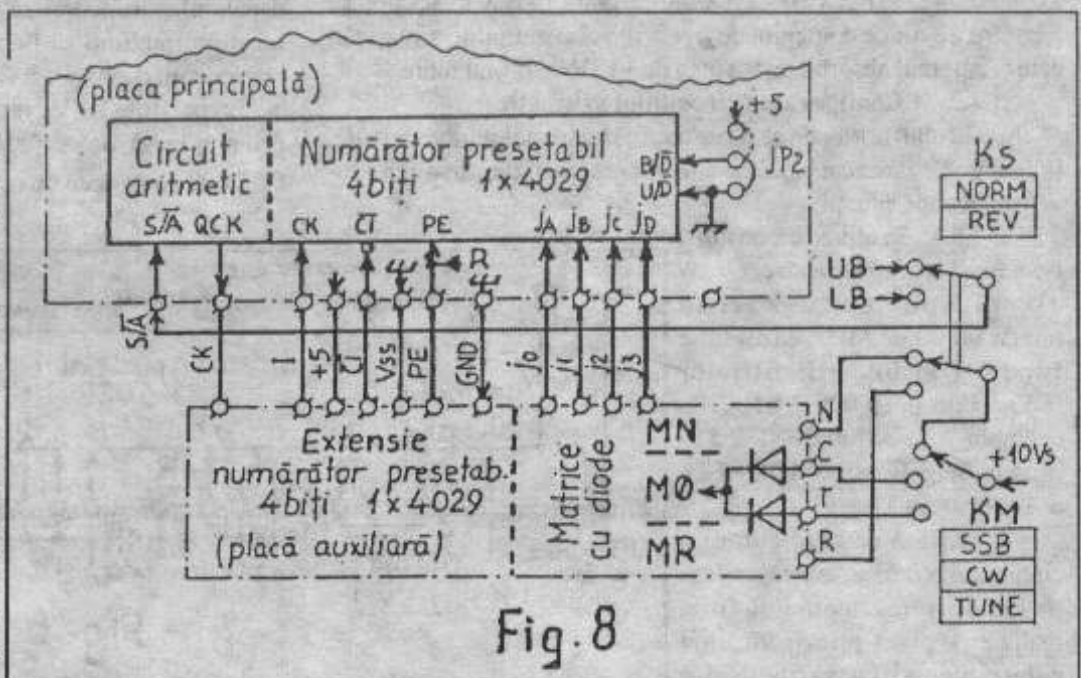


Fig. 8

utilizare), așa încât filtrul construit poate avea banda de trecere situată «asimetric» față de frecvența rotundă inscripționată pe cuarțurile componente.

Schema de configurare a circuitului aritmetic pentru astfel de cazuri este dată în Fig. 8.

Datorită apropierii dintre *frecvența centrală* a benzii de trecere a filtrului și acest număr *întreg* de MHz, este suficientă o configurație de numai 8 biți pentru numărătorul circuitului aritmetic.

După *situarea* frecvenței centrale a benzii de trecere a filtrului cu cuarț utilizat, față de valoarea «rotundă» de MHz apropiată, se disting următoarele cazuri:

4.2.3.1 Frecvența centrală a benzii de trecere a filtrului este situată *sub* un număr *întreg* de MHz.

În acest caz, matricile se vor proiecta pentru realizarea în *cod binar*, a următoarelor numere pe intrările de presetare ale numărătorului circuitului aritmetic:

$$N_{MO} = N_{fr} - N_{fo'} + 1 \quad (4.2.3.1)$$

$$N_{MN} = N_{MO} + 15 + 1$$

$$N_{MR} = 15 - N_{MO} + 1, \quad \text{unde:}$$

N_{fr} = expresia în unități de [sute de Hz] a frecvenței cu valoarea număr *întreg* de MHz, apropiată frecvenței centrale a benzii de trecere a filtrului cu cuarț, de exemplu 8 MHz → [80 000] sute Hz;

$N_{fo'}$ = expresia în unități de [sute de Hz] a frecvenței centrale a benzii de trecere a filtrului cu cuarț utilizat, de exemplu 7,998 600 MHz → [79 986] sute Hz.

PRECIZĂRI:

c) La acest caz particular, pentru pozițiile **CW** și **TUNING** ale comutatorului KM, scala indică corect frecvența *numai la poziția NORM* a comutatorului KS, fapt ce trebuie menționat pe panoul transceiverului ca *regulă de utilizare*: (CW / TUNING) → **NORM** ori se construiește un mecanism de condiționare a acestor două comutatoare pentru realizarea automată a acestei reguli. În rest, ca *principii*, *precizările* a) și b) sunt valabile și aici.

4.2.3.2 Frecvența centrală a benzii de trecere a filtrului este situată *deasupra* unui număr *întreg* de MHz.

La această situație, matricile circuitului aritmetic se proiectează pentru realizarea, în *cod binar*, a următoarelor numere:

$$N_{MN} = 15 - N_{fo} + 1 \quad (4.2.3.2)$$

$$N_{MO} = N_{fo} + 1$$

$$N_{MR} = 15 + N_{fo} + 1, \quad \text{unde,}$$

N_{fo} = numărul de [sute de Hz] cu care frecvența centrală a benzii de trecere a filtrului utilizat *depășește* un număr *întreg* de MHz, de exemplu pentru un filtru de 8,001 700 MHz → [17] sute Hz.

PRECIZĂRI:

d) În acest caz particular, la pozițiile **CW** și **TUNING** ale comutatorului KM, sistemul indică corect frecvența *numai la poziția REV* a comutatorului KS, lucru ce trebuie înscris pe panoul transceiverului ca *regulă de utilizare*: (CW / TUNING) → **REV** sau se construiește un mecanism de condiționare automată a comutatoarelor după această regulă. Și pentru acest caz, *precizările* a) și b) sunt valabile ca *principii*.

4.2.4 Se utilizează filtre *special construite* pentru selecția unei benzi laterale, generată cu o purtătoare având frecvența număr *întreg* de MHz. În acest caz, trebuie utilizate două filtre comutabile, cu ajutorul cărora se selectează banda laterală dorită. Presetarea digitului 6 se face conform paragrafului 4.1.

În această situație *circuitul aritmetic și placa auxiliară nu se folosesc*, componentele aferente acestora (desenate și în

Fig. 5) *nu se mai plantează* iar în locul rezistențelor R 80 și R 82 se lipesc strapuri.

NOTĂ:

Aceeași configurare a sistemului se adoptă și în cazul utilizării la un aparat cu conversie directă.

5 CONSTRUCȚIA SISTEMULUI

Montajul se realizează pe două sau trei plăci de cablaj imprimat, funcție de varianta adoptată, după parametrii filtrului principal disonibil, conform capitolului 4, astfel:

5.1 Placa principală se realizează din sticlostratitex dublu placat cu grosimea de minim 1,2 mm, cu dimensiunile totale de 230mm x 76 mm. Desenul cablajului de pe față cu lipituri este dat în Fig. 9, iar cel de pe față cu piese în Fig. 10, în ambele cazuri desenele reprezentând la scară traseele din cupru așa cum se văd privind placa perpendicular pe față respectivă. Pentru realizarea practică, în caz de necesitate, desenele se pot mări la un copiator pentru a obține dimensiunile precizate.

În Fig. 11 este dat desenul de plantare a componentelor, pentru configurația schemei din Planșa Nr. 1. Siguranța fuzibilă F 1 de 0,2 A se montează pe un soclu adecvat, protejând circuitele logice TTL de supratensiuni, în cazul străpungerii stabilizatorului IL 1 sau a unui scurtcircuit accidental (intern) între + 12V și traseul +5 (V), situație în care diodele zener de 5,6 V Z6 și Z7 intră în conducție, contribuind la arderea fuzibilului.

Placa se montează vertical în interiorul unui suport - ecran din tablă (de aluminiu) în forma de «U» culcat la 90° cu deschiderea dealungul peretelui drept al transceiverului, care îl acoperă.

Decupajul dreptunghiular al plăcii din partea stângă a Fig. 11, servește la trecerea mănunchiului de conductoare ce leagă ieșirile plăcii principale de circuitele de afișaj, acestea plecând dinspre partea cu componente prin acest decupaj perpendicular, spre placa cu afișoare dealungul panoului frontal al transceiverului, printr-un decupaj al suportului plăcii principale. Acest mănunchi de fire se ecranează cu folie de aluminiu deoarece transportă semnale multiplexate care pot radia câmpuri perturbatoare în interiorul transceiverului.

Decupajul dreptunghiular din partea dreaptă a plăcii (din Fig. 11) servește atât pentru trecerea spre interiorul transceiverului a mănunchiului de conductoare ce transportă semnale «curate» (semnalele de selecție a benzilor, de comandă a D C O etc.) care nu trebuie să se «amestece» cu cele ale afișajului (multiplexate), cât și pentru a face loc unor cuplaje mecanice între axele unor elemente de comandă ale transceiverului (condensatoare variabile, comutatoare etc.) montate în spatele transceiverului și niște axe de acționare φ 4 mm care trec de-a lungul plăcii, în dreptul axei de simetrie desenată în Fig. 11 (zonă unde nu sunt plantate componente), un ax putând fi poziționat deasupra și altul dedesubtul plăcii, către butoanele respective de pe panoul frontal al aparatului.

Pentru evitarea transmiterii de semnale perturbatoare din placa cu circuite logice spre partea radiotehnică a transceiverului - prin conductoarele ce transportă semnalele de selecție a benzilor sunt prevăzute condensatoarele de decuplare C9, C10, Ce5, Ce6, C34 și C21.

Integratul stabilizator de tensiune IL 2 (BA 7805) care disipă o putere semnificativă, se montează cu un șurub sub latura superioară a suportului metalic de fixare a plăcii, pentru a nu crea curenți de convecție de aer cald în interiorul cutiei, care ar îngreuna stabilizarea termică a D C O.

5.2 Placa de afișaj se realizează dintr-o bucată de sticlostratitex sau pertinax simplu placat groasă de cel puțin 1,2 mm cu dimensiunile de 78mm x 29mm, conform desenului din planșa Nr. 1, pe care se plantează strapurile și afișoarele scalei - care trebuie

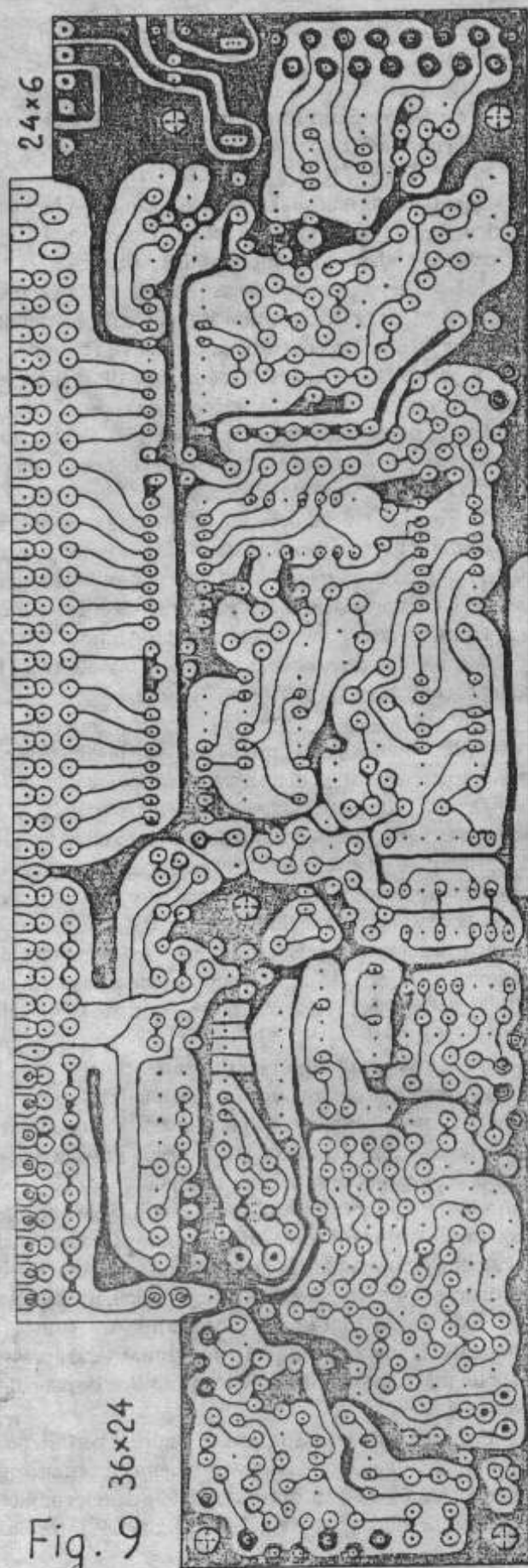


Fig. 9 36x24

230 x 76
Solder side

Leg. \oplus coșă
 \odot gaură 1,5
 \bullet gaură 0,8-1
 \otimes 14/52

○ poziția regiunilor

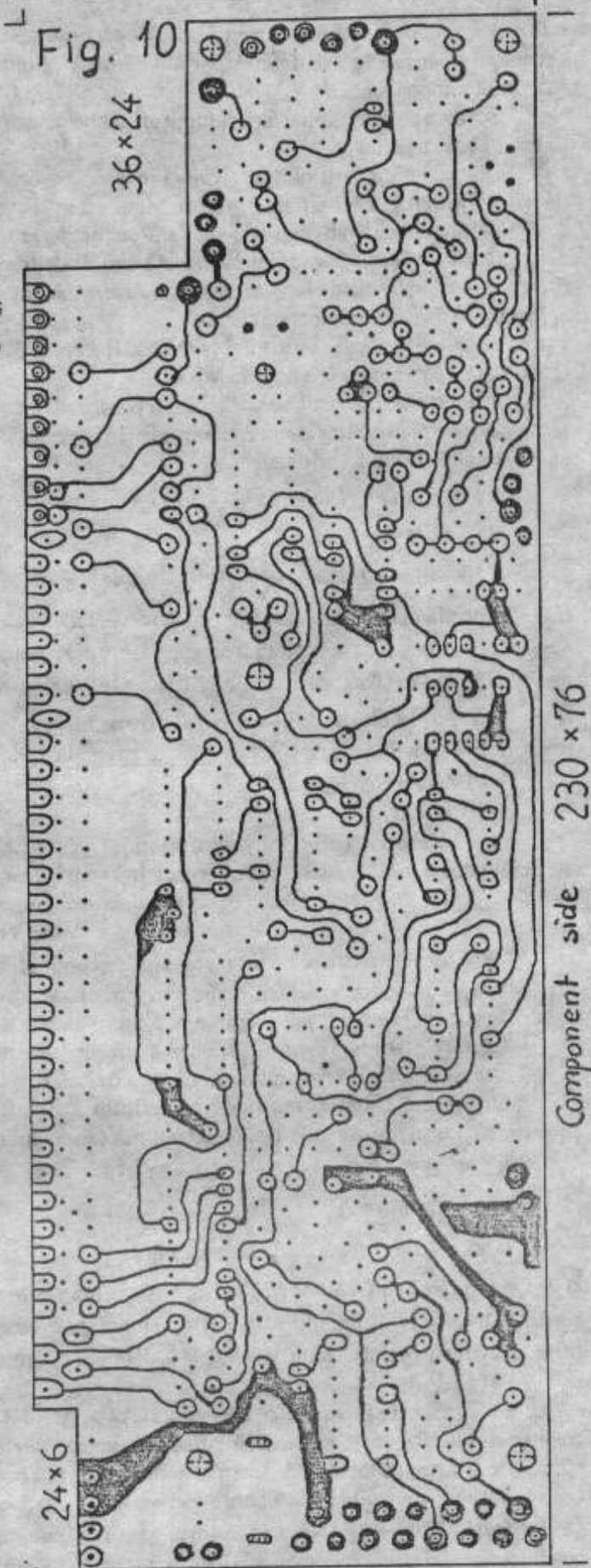


Fig. 10

230 x 76
Component side

să fie cu catod comun la curenți mici, datorită curentului limitat pe care îl furnizează driverul MMC 4543 alimentat la 5V, schema fiind dimensionată pentru afișoare de tipul MDE 2111 (2112).

Placa se montează cu trei șuruburi M3 și distanțieri de spatele panoului frontal al transceiverului, decupat în dreptul afișoarelor și se ecranează spre partea interioară a carcasei acestuia.

5.3 Placa auxiliară (în cazul când este necesară) se proiectează după cum s-a arătat în capitolul 4 astfel încât să poată fi montată deasupra zonei circuitului aritmetic de pe placa principală, punctele de interconectare fiind situate preferabil față-în-față, astfel încât placa să se poată rabate în scopul creerii accesului la toate componentele. Fixarea acesteia se poate face cu niște șuruburi

6 REGLAREA SISTEMULUI

6.1 Aparate de măsură necesare

- ♦ Multimetru numeric cu $R_i \geq 1M\Omega$;
- ♦ Osciloscop cu sondă 1/10;
- ♦ Generator de semnal la 1MHz ... 30MHz / 0,3Vef/50Ω (75Ω);
- ♦ Generator etalon OCXO (termostatat) sau TCXO (termocompensat) de 5MHz sau 10MHz (se poate utiliza și ieșirea bazei de timp a unui frecvențmetru industrial);
- ♦ Surse de 10Vcc. stabilizată și de 6V ... 12Vcc. reglabilă cu limitare de curent la 0,3A.

6.2 Mod de lucru

6.2.1 Pregătiri

Se realizează montajele plăcilor sistemului (inițial rezistența R105 nu se plantează), se poziționează jumperele, se interconectează plăcile, se montează stabilizatorul integrat IL 2 pe un radiator provizoriu și se conectează sistemul la elementele prevăzute în schema bloc din Fig. 1, *exceptând* blocul DCO și anexele sale (circuitele RIT, XIT).

Se verifică corectitudinea schemei realizate, se asigură montajul împotriva apariției unor scurtcircuite accidentale și se alimentează cu tensiunile specificate. Comutatorul KF fiind adus în poziția ON, se verifică cu multimetrul prezența tensiunilor interne la valorile normale, trebuind să se constate *aprinderea normală a afișajului*, iar la rotirea axului comutatorului de benzi KB, *digitul 7 al afișajului trebuie să indice corect cifra zecilor de MHz*; a benzii selectată, rămânând *blank* în cazul benzilor sub 10 MHz. Digitul 6 trebuie să indice corect cifra cu care este *presetat* număratorul acestuia, conform Tabelului 1, în funcție de banda selectată. După realizarea acestor verificări se întrerupe alimentarea montajului.

6.2.2 Reglarea formatorului logic

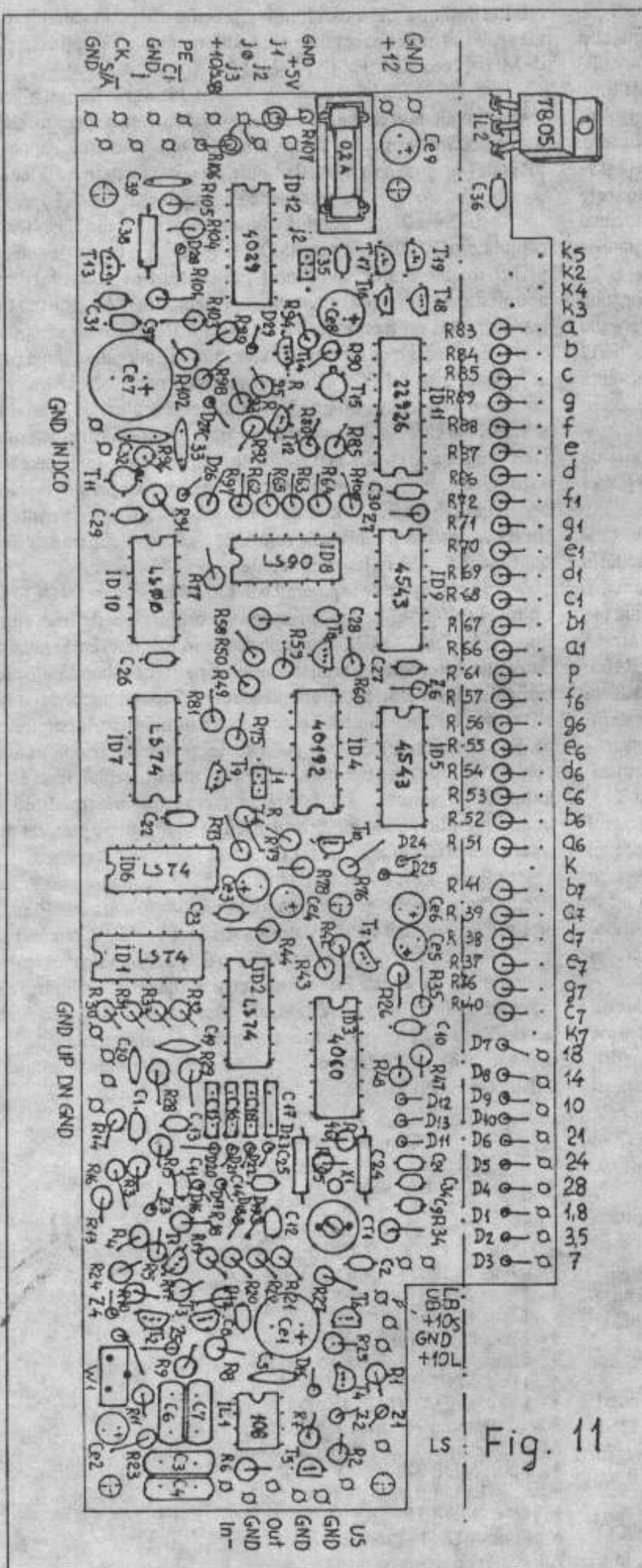
Se conectează la masă intrarea IN DCO, se alimentează schema și se măsoară cu multimetrul pe scara de 20 V tensiunea dintre colectorul tranzistorului T11 și masă. Dacă aceasta diferă de $3,3V \pm 0,2V$ se modifică valoarea rezistenței R96, care poate avea valori mai mari de 300Ω

6.2.3 Compensarea efectului curenților de polarizare ai integratorului

Se lipește provizoriu un comutator miniatură bipozițional, folosind două conductoare lungi de cel mult 20 mm, în paralel cu terminalele cristalului de cuarț, intrarea IN DCO se pune la masă, se conectează multimetrul (pe scara de 2V) între ieșirea integratorului (cosa OUT) și traseul intern de +5V. Semivariabilul VR1 se aduce în poziție mediană și se alimentează montajul. Cu cristalul scurtcircuitat, după trecerea comutatorului KF din poziția ON în poziția FLL, se urmărește *variația în timp* a tensiunii măsurată (cu valoarea inițială de aproximativ $0V \pm 0,3V$). Se ajustează potențiometrul astfel încât aceasta să nu alunece cu mai mult de $\pm 1mV/$ minut, după comutarea menționată anterior. Operația se repetă de mai multe ori, ajustând potențiometrul numai când integratorul este resetat, având ca sarcină multimetrul. Dacă prin repetarea acestor reglaje nu se poate obține acest rezultat, în ipoteza validității celorlalte componente ale schemei, operaționalul este inadecvat acestei funcții și trebuie înlocuit cu unul ce are curenți mai mici de polarizare.

6.2.4 Reglarea circuitului aritmetic

Se scoate provizoriu rezistența R101 de pe cablaj și se



lungi și distanțieri împreună cu placa principală. Se vor folosi, preferabil componente SMD pentru a nu mări gabaritul montajului.

lipeste o rezistență de 12k între baza și emitorul tranzistorului T13. Cu intrarea IN DCO conectată la masă, se alimentează montajul și se verifică cu multimetrul ca semnalul intern *reset de reciclare* (R) să fie în zero logic. Dacă nu este, se pornește puțin baza de timp întrerupându-se comutatorul de scurtcircuitare a cuarțului, închizându-se apoi din nou pentru a bloca circuitul de reset în zero.

Intrarea S/Ă de comandă a circuitului se pune la masă și se vizualizează cu osciloscopul semnalele din colectoarele tranzistoarelor T13 și T12, folosind sonda 1/10 pentru a nu încălca capacitiv montajul (o sondă 1/1 prezintă de regulă o capacitate de intrare de peste 100 pF, ceea ce ar afecta măsurătoarea). Cu condensatorul C38 la valoarea de 39 pF, trebuie să se constate *oscilații periodice* de formă cvasidreptunghiulară, fără jitter sau inflexiuni pe fronturi, cu o amplitudine de minim 4,4 V_{pp}, palierul inferior nedepășind tensiunea de 0,3V față de masă, la o frecvență în jur de 80 kHz și un factor de umplere de 0,3...0,7 (care se obține cu combinația - *tranzistor de comutație rapidă* la T13 și *tranzistor lent*, la T12). Schema nu este garantată pentru alte tipuri de tranzistoare decât cele specificate în Fig.5. Rezistențele R80 și R93 trebuie să fie neinductive (de tip R P M).

Reducând tensiunea de alimentare sub 12V (până la 6V...8V) astfel încât cea internă de +5V să scadă până la 3,5V, oscilația trebuie să se mențină (bineînțeles la o amplitudine mai mică). Dacă oscilația nu se amorsează ferm la tensiuni de alimentare ale astabilului de peste 4V_{cc}, trebuie micșorată rezistența de sarcină a lui T13. În acest caz se montează și rezistența de reglaj R105, care provizoriu poate fi un semireglabil de 25k în serie cu o rezistență fixă de 1k. Alimentând astabilul cu cca. 4V_{cc}, pornind de la maxim se reduce treptat rezistența semivariabilului până la amorsarea oscilației, după care se alimentează montajul cu tensiunea normală. O rezistență de sarcină prea mică împiedică saturarea lui T13, situație în care *palierul superior* al semnalului din colectorul acestuia nu mai atinge un nivel suficient. Prin urmare valoarea acestei rezistențe se poate reduce până la limita la care *nivelul palierului superior* al oscilației nu scade sub 4,6V. Dacă acest lucru nu se poate realiza, la cazurile când numărul maxim de presetare al circuitului este sub 99, se mai mărește valoarea condensatorului C38 până la obținerea efectului scontat (la maxim 82 pF).

Dacă se folosește configurația maximă la numărătorul circuitului aritmetic, frecvența de oscilație trebuie să fie de aproximativ 100 kHz, care se poate crește prin micșorarea valorii condensatorului C38 până la cca. 15 pF...27 pF cu condiția amorsării ferme a oscilației la tensiuni de alimentare a astabilului de cca. 4V_{cc}. Dacă aceste condiții nu se pot realiza, se schimbă T13 și eventual T12. Se oscilografiază și semnalul din colectorul lui T12, care trebuie să îndeplinească aceleași condiții.

După definitivarea reglajului și întreruperea alimentării, dacă este cazul, se dezlipeste și se măsoară semivariabilul și se plantează rezistența R105 (de aceeași valoare cu cea a semivariabilului reglat în serie cu rezistența de limitare). Se înlătură rezistența lipită între baza și emitorul lui T13 și se montează la loc R101. Se înlătură și comutatorul de blocare a bazei de timp.

6.2.5 Etalonarea bazei de timp

6.2.5.1 *Etalonarea pregătitoare* a oscilatorului cu cuarț se face în condițiile experimentale prevăzute la punctul 6.2.1. Se realizează presetarea numărătorului circuitului aritmetic direct în starea terminală (la varianta din Planșa Nr. 1, intrarea notată - 101' SSB se lasă liberă) și intrarea S/Ă se alimentează cu +10V.

Se alimentează montajul și se aplică pe intrarea IN DCO semnalul de la generatorul etalon (de 5MHz sau 10MHz), la o tensiune de 0,3V_{ef} / 50Ω (la nevoie se folosește un amplificator sau atenuator - adaptor de impedanță). Se reglează trimerul CT1

al bazei de timp astfel încât ultimile cinci cifre mai puțin semnificative ale scalei să indice exact frecvența etalonului (cu excepția cifrelor de MHz și zeci de MHz).

6.2.5.2 *Etalonarea finală* a bazei de timp se face cu plăcile reglate, montate și cablate definitiv în carcasa transceiverului, după o acomodare termică a aparatului sub tensiune (cu capacele montate) timp de cel puțin 20 minute. Se poate lucra în două feluri:

Metoda 1) : Se procedează ca la punctul 6.2.5.1;

Metoda 2) : Se comută transceiverul în modul TUNING, comutatorul KF fiind în poziția ON și se aplică la borma de antenă, printr-un atenuator, semnalul generatorului etalon (după acomodarea termică adecvată a acestuia). Se acordează transceiverul pe frecvența de 10 MHz astfel încât să se obțină *bătăi nule* în difuzor recepționând semnalul etalonului, după care se reglează trimerul TC1 al bazei de timp pentru obținerea *indicației 10 000 00* la scala numerică. Metoda este aplicabilă numai la schemele la care oscilatorul de purtătoare generează în acest mod, frecvența egală cu cea *centrală* a ultimei frecvențe intermediare, permițând și recepția la «zero beat». Este cea mai precisă metodă deoarece operează cu frecvența *reală* de lucru a transceiverului în bandă, acoperind și calibrările celorlalte oscilatoare din transceiver.

6.2.6 Verificări generale

În condițiile de la punctul 6.2.1 se atacă intrarea IN DCO cu un nivel de 0,3V_{ef} de la ieșirea generatorului de radiofrecvență, între 1,5 MHz și 24 MHz, simulând acoperirile de frecvență realizate de prima heterodină a transceiverului pe fiecare bandă alocată traficului de amator, poziționând adecvat și comutatorul de benzi KB (care comandă digitul 7 și presetarea numărătorului digitului 6). Se verifică indicația corectă a scalei pe fiecare bandă ținând cont de relațiile care trebuie să fie între indicația scalei, frecvența heterodinei (simulată) și prima frecvență intermediară a transceiverului, cu numărătorul circuitului aritmetic presetat direct în starea terminală (ca la pct. 6.2.5.1).

Pe tot acest domeniu de frecvență, presetând numărătorul circuitului aritmetic cu valoarea maximă (la varianta din Planșa nr.1 se alimentează cu +10V cosa notată +10 / SSB), punând la masă intrarea S/Ă trebuie să se obțină o *creștere* a indicației scalei cu un număr de sute de Hz mai mic cu o unitate decât numărul de presetare realizat, iar punând această intrare la 8V...10V, trebuie să se obțină o *scădere* a indicației scalei cu un număr de sute de Hz mai mic cu o unitate decât cel de presetare aplicat numărătorului, față de cazul când acesta a fost presetat în starea terminală.

7 LISTA DE COMPONENTE

7.1 Circuite integrate

7.1.1 Circuite integrate liniare :

- ◆ 1 buc. BM 108 AN : IL 1;
- ◆ 1 buc. BA 7805 : IL 2.

7.1.2 Circuite integrate digitale :

- ◆ 1 buc. 74 LS 00 : ID 10;
- ◆ 4 buc. 74 LS 74 : ID 1, ID 2, ID 6, ID 7;
- ◆ 1 buc. 74 (LS) 90 : ID 8;
- ◆ 1 buc. MMC 4060 : ID 3;
- ◆ 1 buc. MMC 40192 : ID 4;
- ◆ 2 buc. MMC 4543 : ID 5, ID 9;
- ◆ 1 buc. MMC 22926 : ID 11;
- ◆ 1... 4 buc. MMC 4029 : ID 12 ... ID 15.

7.2 Dispozitive optoelectronice

7.2.1 Afișoare de 1 digit catod comun :

- ◆ 7 buc. MDE 2111(2) V(R) ;

7.2.2 LED-uri triunghiulare.

- ◆ 1 buc. MDR 1543 R ;
- ◆ 1 buc. MDR 1543 V.

7.3 Tranzistoare

7.3.1 Tranzistoare de înaltă frecvență :

- ◆ 1 buc. 2N2369 (A) : T 11;
- ◆ 1 buc. BF 506 : T 13.

7.3.2 Tranzistoare de joasă frecvență:

- ◆ 10 buc. BC 171 B : T4, T7, T8, T9, T10, T14, T16, T17, T18, T19;
- ◆ 4 buc. BC 251 B : T1, T2, T3, T5;
- ◆ 1 buc. BC 256 A : T12;
- ◆ 1 buc. BC 178 : T15;
- ◆ 1 buc. BC 328 : T6.

7.4 Diode

7.4.1 Diode de comutație rapidă:

- ◆ 27 buc. 1N4148 : D1, D2, D3, D4, D5, D6, D7, D8, D9, D10, D11, D12, D13, D14, D16, D17, D18, D19, D20, D21, D22, D23, D24, D25, D27, D28, D29;

7.4.2 Diode picoamperice:

- ◆ 1 buc. DP 450 (se poate folosi și 1N4148 sortată, cu curent invers mic) : D15;

7.4.3 Diode pentru comutări:

- ◆ 1 buc. BA 244 (sau BA 243) : D26;

7.4.4 Diode zener:

- ◆ 4 buc. PL 5V6 : Z1, Z2, Z6, Z7;
- ◆ 3 buc. DZ 7V5 : Z3, Z4, Z5.

7.5 Condensatoare

7.5.1 Condensatoare multistrat:

- ◆ 1 buc. 47 nF / 25 V : C37;
- ◆ 12 buc. 0,1 μ F / 25 V : C1, C2, C22, C23, C26, C27, C28, C29, C30, C31, C33, C35;
- ◆ 5 buc. 0,22 μ F / 25 V : C11, C12, C13, C14, C36;
- ◆ 4 buc. 0,47 μ F / 25 V : C3, C4, C6, C7.

7.5.2 Condensatoare ceramice plăchetă:

- ◆ 1 buc. H 8,2 pF : C24;
- ◆ 1 buc. (U) 56 pF : C5;
- ◆ 1 buc. 15 pF...82 pF : *C38;
- ◆ 2 buc. 4,7 nF / 25 V : C9, C10;
- ◆ 5 buc. 10 nF / 25 V : C19, C20, C21, C32, C34;
- ◆ 2 buc. 22 nF / 25 V : C8, C39.

7.5.3 Condensatoare Mylar (sau Styro):

- ◆ 4 buc. 510 pF (...820 pF) identice, sortate la $\pm 5\%$: C15, C16, C17, C18.

7.5.4 Condensatoare Styro:

- ◆ 1 buc. 30 pF : C25.

7.5.5 Trimeri Styro:

- ◆ 1 buc. 3-15 pF : CT1.

7.5.6 Condensatoare electrolitice:

- ◆ 2 buc. EG 6405 4,7 μ F / 25 V : Ce5, Ce6;
- ◆ 1 buc. EG 6405 10 μ F / 25 V : Ce3;
- ◆ 2 buc. EG 6405 33 μ F / 25 V : Ce2, Ce4;
- ◆ 1 buc. EG 6406 33 μ F / 50 V : Ce9;
- ◆ 1 buc. EG 6408 100 μ F / 25 V : Ce8;
- ◆ 1 buc. EG 6410 680 μ F / 16 V : Ce1;
- ◆ 1 buc. EG 6413 1000 μ F / 16 V : Ce7.

7.6 Rezistoare

7.6.1 Rezistoare cu peliculă carbon de 0,1W... 0,5W $\pm 5\%$:

- ◆ 1 buc. 2,2 Ω : R100;
- ◆ 2 buc. 15 Ω : R26, R35;
- ◆ 1 buc. 18 Ω : R25;
- ◆ 1 buc. 47 Ω : R44;
- ◆ 4 buc. 82 Ω : R17, R18, R28, R29;
- ◆ 16 buc. 180 Ω : R1, R2, R51, R52, R53, R54, R55, R56, R57, R66, R67, R68, R69, R70, R71, R72;
- ◆ 7 buc. 270 Ω : R83, R84, R85, R86, R87, R88, R89;
- ◆ 1 buc. 390 Ω : R6;
- ◆ 1 buc. 560 Ω : R96;
- ◆ 3 buc. 1 k : R7, R24, R61;
- ◆ 1 buc. 1,8 k : R91;
- ◆ 6 buc. 2,2 k : R3, R4, R32, R33, R41, R104;
- ◆ 5 buc. 2,7 k : R36, R37, R38, R39, R40;
- ◆ 7 buc. 3,3 k : R30, R31, R47, R48, R65, R81, R106;
- ◆ 2 buc. 3,9 k : R43, R97, R107;
- ◆ 8 buc. 4,7 k : R15, R16, R49, R50, R58, R59, R62, R77;
- ◆ 1 buc. *5,6 k : *R105;
- ◆ 5 buc. 6,8 k : R5, R8, R10, R27, R42;
- ◆ 1 buc. 7,5 k : R34;
- ◆ 4 buc. 10 k : R14, R60, R63, R64;
- ◆ 2 buc. 12 k : R82, R101;
- ◆ 2 buc. 15 k : R76, R a - din schema bloc;
- ◆ 2 buc. 18 k : R75, R79;
- ◆ 2 buc. 22 k : R73, R78;
- ◆ 2 buc. 27 k : R74, R r - din schema bloc;

- ◆ 1 buc. 56 k : R94;
- ◆ 2 buc. 68 k : R90, R92;
- ◆ 1 buc. 75 k : R98;
- ◆ 2 buc. 100 k : R102, R103;
- ◆ 2 buc. 120 k : R95, R99;
- ◆ 1 buc. 150 k : R45;
- ◆ 2 buc. 470 k : R13, R23;
- ◆ 4 buc. 1 M : R19, R20, R21, R22;
- ◆ 1 buc. 6,8 M : R9;
- ◆ 2 buc. 7,5 M : R11, R12;
- ◆ 1 buc. 10 M : R46.

7.6.2 Rezistoare neinductive (de tip RPM sau volumice de 0,1 W... 0,5 W, $\pm 5\%$):

- ◆ 1 buc. 1,2 k : R80;
- ◆ 1 buc. 12 k : R93.

7.6.3 Potențioetre semireglabile:

- ◆ 1 buc. 1 M : VR1.

7.7 Componente diverse

- ◆ 1 buc. cristal de cuarț pe 32,768 kHz;
- ◆ 1 buc. suport de siguranță fuzibilă;
- ◆ 1 buc. siguranță fuzibilă de 0,2 A;
- ◆ 2 buc. microîntrerupătoare unipolare cu taste;
- ◆ 1 buc. comutator cu 2 x 3 poziții.

BIBLIOGRAFIE

1. UDĂȚEANU, N., Actualități și tendințe în construcția transceiverelor de U. S., serie de articole în revista Radioamatorul, 1993
2. CIOBĂNIȚĂ, V., Etaje de intrare în receptoarele cu gamă dinamică mare, articol în Nr. 11-12 al revistei Radioamatorul, 1993
3. CREȚU, F., Radioreceptoare, ed. «Moldogrup» Iași, 1998
4. GHEORGHIAN, R., Bucla cu calare de frecvență, articol în revistele Radiocomunicații și radioamatorism, Nr. 3 și Nr. 4, 1999
5. 304 circuite electronice, ed. Teora, 1998
6. YO3KDA, Filtre în scară, serie de articole în revistele Tehnium Nr.10, 1983 ... Nr.2, 1984

Publicitate

*Ofer spre vânzare: 2 buc. circuite integrate speciale pentru TCVR ICOM 761, tip M 54929 P "Dual modulus PLL IC" (divizor programabil) la pretul de achiziție de 35 DM/buc. Sunt rarități pentru ca nici firmele de specialitate, nici reprezentanța ICOM nu au în stoc ci se comanda la nevoie din Japonia. (experiența personală). Sunt în posesia manualului de service ICOM 761 cu care la nevoie pot veni în ajutorul posesorilor TCVR ICOM 761. Sunt foarte bune ICOM-urile, dar după legea lui Murphy ce se poate strica se va strica. Va doresc multa sanatate și succese! TNX 73 de la Vasile YO2AHW Adresa: Laszlo Vasile 2900 Arad Str. Banu Maracine 22 Bl.1 sc.E ap.10 Tel:057-231432

E-Mail: yo2ahw@yo2bt.ampr.org

* OFER tub electronic GU50 -nou împreună cu soclu original de calitate pentru schema electrică de principiu a osciloscopului SERUTE (fost RDG) tip EO-174A.

YO3AOE - NELU. tel 01-230.97.68 - Seara

DX INFO

4W - The DXpedition by Dennis, K7BV and Wolf, N6FF to East Timor is scheduled to take place indicatively between 6-8 and 17 October. They expect to have two rigs: during daylight hours, they may appear randomly on bands above 40 metres; during the hours of darkness, generally expect to find them only on 30, 40, 80 and 160 metres. 4W6DX (QSL route TBA), the callsign for the East Timor Amateur Radio Association, will be used extensively during the DXpedition, while 4W/K7BV (QSL via KU9C) and 4W/N6FF (QSL via home call) will be used very sparingly. Rod, WC7N (wc7n@wave.net) will be the pilot station. Operating plans and announced frequencies are available at <http://www.qth.com/k7bv/timor/> [TNX K7BV]

Cuplor de antenă transmatch simplificat

Acest mic articol este adaptat după un material din Radio-REF, numărul 719 din februarie 2000, unde a apărut articolul "Coupleur d'antenne transmatch", sub semnătura lui Robert Piat, F3XY. Articolul original curîdea și un indicator simplu de raport de unde staționare, la intrarea în transmatch. În schema prezentată aici această porțiune a fost omisă.

Principiul acestui montaj nu diferă esențial de cel clasic. Simplificarea pe care o aduce se referă la folosirea pe diferite benzi a unor bobine cu prize comutate, în locul unei bobine cu cursor.

Schema cuplurului este dată în Fig. 1. CV1 este un condensator dublu, cu satorul divizat (unul conectat

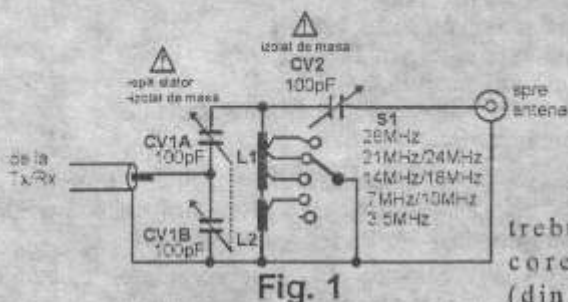


Fig. 1

de la masa, celălalt la circuitul de ieșire). Designul, condensatoarele variabile trebuie să fie corespunzător (din punct de vedere a tensiunii de lucru) puterii de la ieșirea emițătorului folosit. Ambele

condensatoare trebuie să aibă armăturile izolate față de masă.

Comutatorul S1 este cu izolație de calit sau steatită, cu cinci poziții.

Bobina L1 are 10 spire pe diametru de 45mm, cu lungimea de 60mm.

Prizele sunt distribuite astfel: priza 1 (14MHz/18MHz) la 2,5 spire de la punctul de joncțiune L1, L2, priza 2 (21MHz/24MHz) la 5,5 spire iar priza 3 (28MHz) la 7,5 spire. L2 are 28 de spire pe diametru de 45mm, cu lungimea bobinajului de 100mm.

Priza 4 (pentru 7MHz/10MHz) este la 22 de spire față de masă. Conductorul de bobinaj trebuie să aibă o secțiune corespunzătoare puterii de ieșire vehiculate.

Precizia de acord și performanțele generale, mai ales pe benzile WARC nu sunt deosebite, dar chiar și un transmatch mai puțin performant este mai bun decât nimic...

YO3GWR

OFERTA SERVICIILOR INTERNET

SERVICIILOR INTERNET DIAL-UP

Acces Internet 10 ore dial-up	5 usd
Acces Internet 25 ore dial-up	10 usd
Acces Internet 60 ore dial-up	20 usd
Acces Internet nelimitat dial-up	25 usd

SERVICIILOR INTERNET ON LINE

Linii închiriate:

Instalare linie închiriată 33.6k	150 usd
Abonament linie închiriată 33.6k	190 usd/lună

Wireless:

Instalare echipament wireless (2Mb)	200 usd
Abonament wireless (canal de - 33k)	200 usd

Alte servicii:

Configurare acces internet dial-up	5 usd/buc
Configurare acces internet rețea	10 usd/buc
Configurare Server Linux (router)	150 usd/buc
Configurare servicii DNS, MAIL, WEB server	100 usd/buc

SERVICIILOR WEB

Obținere domeniu.ro	50 usd
Server de posta pe domeniu	10 usd/20 casute/luna
Găzduire pagină WEB	10 usd/10Mb/lună
Găzduire pagină WEB	20 usd/20Mb/lună
Creere pagină WEB (complexitate scăzută)	5 usd/pag.
Creere pagină WEB (complexitate medie și ridicată)	negociabil

Persoane de contact:

Iulian Țenea YO3GZB tel. 223.53.28 sau 092.323.360

Mircea Mihăilescu YO3GTP tel. 659.29.48 sau 092.824.870

PUBLICITATE

OFER: A) TRANSCEIVER (US) YAESU FT-840 + alimentator FP-800 + microfon birou MD100+ microfon de mana MH-1B8 + manual + interfata PC pentru comanda CAT (YAESU) (toate NOI in cutie)!!!

B) TRANSCEIVER (UUS 144-432) YAESU FT-530 + microfon exterior cu afisaj și comenzi digitale MH-29 + 3 acumulatori Info Adrian YO2BTW e-Mail: yo2btw@qsl.net portase@mail.recep.ro

Ofertă spre vânzare: 2 buc. circuite integrate speciale pentru TCVR ICOM 761, tip M 54929 P "Dual modulus PLL IC" (divizor programabil) la prețul de achiziție de 35 DM/buc. Sunt rarități pentru că nici firmele de specialitate nici reprezentanța ICOM nu au în stoc ci se comanda la nevoie din Japonia. (experiența personală). Sunt în posesia manualului de service ICOM 761 cu care la nevoie pot veni în ajutorul posesorilor TCVR ICOM 761.

Sunt f. bune ICOM-urile dar după legea lui Murphy ce se poate strica se va strica. Vă doresc multă sănătate și succese! TNX 73 de la Vasile YO2AHW Adresa: Laszlo Vasile 2900 Arad Str. Banu Maracine 22 Bl. 1 sc. E ap. 10 Tel: 057-231432 E-Mail: yo2ahw@yo2bt.ampr.org

EME Contest 2000

Competiția a fost dominată de următoarele stații:

144MHz	SM5FRH
432MHz	K5JL
1296MHz	OE9XXI
2320MHz	OE9ERC
10GHz	CT1DMK

În banda de 144 MHz au participat 40 de stații. YO2IS s-a clasat pe locul 33. În 432 MHz au participat 29 de stații, iar YO2IS se află pe locul 24. În clasamentul multiband găsim numai 15 stații. YO2IS se află pe locul 14.

Higher-Precision GPS

PRESIDENT CLINTON made the following announcement on 1 May: "Today, I am pleased to announce that the United States will stop the intentional degradation of the Global Positioning System (GPS) signals available to the public... This means that civilian users of GPS will be able to pinpoint locations up to ten times more accurately than they do now". We understand that APRS users are ecstatic.

CUPA TRANSMISIONISTULUI

Clasa A - "TRS"		Clasa C - seniori	
1. YO7KJL	11296	1. YO9FJW	11487
2. YR2TRS	11170	2. YO8MI	10100
3. YO6SD	10334	3. YO4RDK	8496
4. YO6KNW	9400	4. YO8BGD	8370
5. YO9KXC	8584	5. YO2BV	7900
6. YO5OHO	7206	6. YO9AGI	7740
7. YO4AAC	4012	7. YO6CFB	7436
8. YO9KRV	3504	8. YO3FU/P	6986
9. YO3KYX	3222	9. YO6BMC	6652
10. YO2CWM	2692	10. YO5DAS	4332
11. YO5OAW	2034	11. YO6XB	3880
12. YO2CJX	1360	12. YO4BTB	1860
Clasa B - Stații de club		13. YO5BHG 1806	
1. YO2KJI	10286	14. YO5PCM 1656	
2. YO8KOA	10016	Clasa D - Juniori	
3. YO7KFA/P	9680	1. YO7LHA	5160
4. YO9KPD	8756	2. YO9BSY	3320
5. YR4R7814		3. YO5ODC	2640
6. YO9KPM	4374	4. YO2LGW	1336
7. YO6KEV	3720	5. YO7GWA	572
8. YO7KBS	3410	Log control: YO3FWC, 4US, 6PBP,	
9. YO5KOP/P	2514	7RFH și 9FL	

Se acordă Cupa transmisionistului ediția 2000 lui Ionuț Pițigoi - YO9FJW pentru cel mai mare punctaj obținut în concurs. Primii trei clasafi la fiecare categorie vor primi diplome.

Ocupanții locurilor 1, 2, și 3 de la clasele B și C precum și toți participanții de la clasa - junior vor primi premii în obiecte constând din RTP-uri, tuburi electronice GU 50 și GU 81 și material pentru construcția de antene filare.

În mod special domnul ERDIC CRISTIN - YO5OHO îl premiază pe ocupantul locului 1 la clasa juniori, NĂSTASE MARCEL - YO7LHA cu un receptor R 250, iar domnul PLEȘA VALENTIN - YO3YX oferă ocupantului locului 5 la aceeași categorie, MARGHILOIU IORGU - YO7GWA, un premiu special constând din două antene baston și două tuburi GU-50.

Organizatorii concursului îl felicită pe această cale pe toți ocupanții locurilor fruntașe și le mulțumesc tuturor participanților pentru prezența în concurs și promptitudinea în trimiterea fișelor centralizatoare.

Mr. Dragoie Ioan Ovidiu - YO6OEO

FLOAREA DE MINA 2000

Cluburi - MOMB		8. YO5OPH/P 1419	
1. YO8KOF/P	6219	9. YO4GIH 1412	
2. YO3KWT/P	2294	10. YO5OHZ/P 1168	
3. YO5KUA/P	2032	11. YO8BPI 1045	
4. YR4R 1828		12. YO8BFB/P 1018	
5. YO5KAD/P	1419	13. YO8SDT/P 1018	
Individual - SOMB		Străini:	
1. YO4FRJ/P	6585	ER1AU/P 2945	
2. YO3DMU	5483	ER5AA/P 2675	
3. YO6FNA	3050	HG9VHF 2405	
4. YO7IV2597		ER1BF/P 2030	
5. YO5OHY/P	2468	Check log-uri:	
6. YO9GDJ	2130	YO4ATW, 4RHK, 4SVA, 4SVV,	
7. YO8DDP/P	1999	5PVC, 8MF, 8MI și 8ROO	
Arbitrii: YO5OHZ și YO5OQF			

* YO2BPZ anunță că tipărirea diplomei "Radioclubul Județean Hunedoara - 40 de ani" a întârziat puțin. Ea va fi decernată celor care au solicitat-o, cu ocazia Simpozionului zonal YO2 de la Lugoj (16-17 sept.) sau va fi expediată prin poștă după 16.09. 2000

INFO DX și DIVERSE

A92V Name Adoph, QSL via K3SIX, este un PIRAT. K3SIX este necunoscut. El nu spune indicativul propriu, dar amplasamentul sau nu este în Orientul Mijlociu.

AP2AP Military College of Signals, Rawalpindi, Pakistan

BD2OC 53 Jiguang Lu, Liaoyuan, Jilin 136200, China

C91AH Bernardo, Box 3601, Maputo, Mocambique

DL8KAC via bureau or Vlad Engel, Stuedter Weg 51a, 51766 Engelskirchen, Germany

IT9MRM Alberto Mattei, Via Megara 376, I-96011 Auga - SR, Italy

IT9YRE Nando Rubino, POBox 30, I-96012 Avola - SR, Italy

NE4S Michael R Condon, 4641 Smoke Rise Lane, Marietta, GA 30062, USA

OH0A POBox 1, SF-22101 Mariehamn, Aland Islands, Finland

OH8AAU POBox 75, SF-85501 Nivala, Finland

RA1TC Alex Zougan, Belova str., 7-26, Veliky Novgorod, 173015, Russia

SP3WVL via bureau or to Tomasz Lipinski, Ul. Paderewskiego 24m 1, 69-100 Slubice, Poland

VU2PTF Rudra Prasad Sharma, Box 73 Tinsukia, Assam 786125, India

VK6BM (Browse Island) via VK4AAR

VK6CJ (Cassini Island) via VK4AAR

VU3YFD POBox 15, Tirupur 641601, Indien

Adresa biroului de QSL pentru W6 s-a modificat după cum urmează: ARRL W6 Incoming QSL Bureau P.O. Box 900069 San Diego, Ca, 92190-0069 Manager: Steve Frick N6QEK Email: n6qek@arrl.org <mailto:n6qek@arrl.org>

In revista noastră nr 10-2000 vom publica lista reactualizată a Birourilor de QSL din întreaga lume.

Aproape 300 de stații din 47 de țări au participat în zilele de 19-20 august la INTERNATIONAL LIGHTHOUSE/LIGHTSHIP WEEKEND

QSL WP4Q —> The new QSL manager for Papo, WP4Q is EA5RD (Francisco S.Amedo, P.O Box 673, Elda 03600, Spain). Bureau cards welcome.

TROMELIN —> The four FR/F6KDF/T operators went QRT on 14 August, after some 51,500 QSOs (17,000 CW, 33,800 SSB and 580 RTTY) in two weeks. QSL via F6KDF (Radio Club de la Gendarmerie, 292 Route de Genas, 69677 Bron Cedex, France). YO2LCK Stelian vinde următoarele: WOBLER 2GHz - documentație completă, conectică, sonde, stare perfectă. (3,5 mil. lei). OSCIOSCOP TEKTRONICS 453- două spoturi, bază de timp dublă - 200 MHz, 2 sonde, stare perfectă (5 mil. lei)

-TCVR2M HOME MADE - sinteză, shift 600 kHz, 5W, 12V, Boxă AF, microfon de mână (900.000 lei)

-TCVR 2M FM, MAXON SMX4150NM, 16 canale programabile, 50W, 13.6V, microfon de mână. Are programate frecvențele: 225,300,500, și repetoarele importante (2 mili lei)

-RECEPTOR cu frecvențmetru și scală model GRUNDING SATELIT 3500 (800.000 lei)

-VERSATESTER E 0502 (2 mil. lei)

- LAPTOP 486 - 4 MRAM, displaz AN, ieșire SVGA 1M, 167M HARD, ACUU 4H (2 mil. lei)

- Diverse componente calculatoare, imprimante SH, LASER sau Jet cerneală. Monitopare. Poate fi contactat pe email (electrocash@tvnethd.ro) sau la telefoanele: 054. 74 11 22 la firma 74 00 51 seara după ora 21, sau 093 252 802 tot timpul

* De la locuința sa din Histria, lui YO4PX i-au fost furate următoarele echipamente: Transceiver Ten-Tec tip OMNI V cu alimentator și difuzor, Antenna Tuner tip MFJ 962 C (1,5 kW), PA - tip SB220 și alte accesorii. Cei care află ceva despre aceste echipamente sunt rugați să sune la YO4PX - 041. 651.382

CUPA NAPOCA - UUS ediția 2000

144 MHz, un singur operator:

Nr.	Indicativ	Puncte
1	YO6FWM/P	6697
2	YO3DMU	4825
3	YO4IMP/P	4493
4	YO7IV	4371
5	YO4FHU/P	4322
6	YO4FRJ/P	3863
7	YO4RDN	3613
8	YO4ZZ/P	3537
9	YO4RXX	3368
10	YO4REC	3244
11	YO4BII/P	3237
12	YO9FTR/P	3110
13	YO9FXP/P	2928
14	YO4RHK/P	2920
15	YO3APJ	2626
16	YO4GJH	2494
17	YO4ZL/P	2288
18	YO9FHB	2237
19	YO9XC	2172
20	YO4RFV	1950
21	YO9BHI	1625
22	YO9GWW	1195
23	YO7GYF	1102
24	YO5PVC	1053
25	YO9DEF	1016
26	YO3BTC	1001
27	YO5ODU	941
28	YO9HG	857
29	YO5BWD	805
30	YO5BEU	683
31	YO2LHD/P	622
32	YO4RPK	375
33	YO7BEM/P	237
34	YO5PK/P	240
35	YO5CSO/P	134
36	YO5OKB	114
37	YO4RPH	52
38	YO5OLO/P	43
39	YO4RPI30	

144 Mhz, multiooperator:

1	YO8KOF/P	7027
2	YO6KYZ/P	6976
3	YO3KWT/P	3686
4	YO9KXC	2577
5	YO8KOA	2198
6	YO5KUJ	2100
7	YO3KWJ/P	1913
8	YO7KFM/P	785
9	YO5KAST	370

Log control 144 Mhz: 2GL 3JJ, LX, APG, 4BZC, 5OBR, OHY, OPH, PBG, KAD, DND, 6QT, BSJ, 7AQF, 8ROO, 9HH, FNR, GVN
Lipsa log 144 Mhz: 2LFP, KAM, BBP, AMU, 3CM, RO, VK, ACX, JCM, 4NF, FYQ, FHS, 6OBK, GWH, GJH, 7BBE, LGL, LMU, KJL, 8SSL, BSE, KYZ, FWM, AZO, BDW, 9GMH, GDJ, GVO, GMU, FJN

432 MHz, un singur operator:

1	YO4FRJ/P	1246
2	YO9FTR/P	618
3	YO4ZL/P	616
4	YO4ZZ/P	616
5	YO9FXP/P	441
6	YO9GWW	384

7	YO6FWM/P	339
8	YO6KYZ/P	263
9	YO4BII/P	243
10	YO3APJ	229
11	YO7IV	166
12	YO4RDN	86
13	YO4RHK/P	75
14	YO5BWD	50
15	YO4RPK	20

432 Mhz, multiooperator:
1 YO8KOF/P 686
Log control 432 Mhz: 4REC, RXX
Lipsa log 432 Mhz: 9GMH

1296 MHz, un singur operator:

1	YO4FRJ/P	342
2	YO4ZZ/P	174
3	YO4BII/P	168

Log control 1296 MHz: 4ZL/P
Lipsa log 1296 MHz: 3CM, RO, ACX, JCM

Arbitri: YO5TE, YO5BLD

LZ DX CONTEST - 1999

ROMANIA

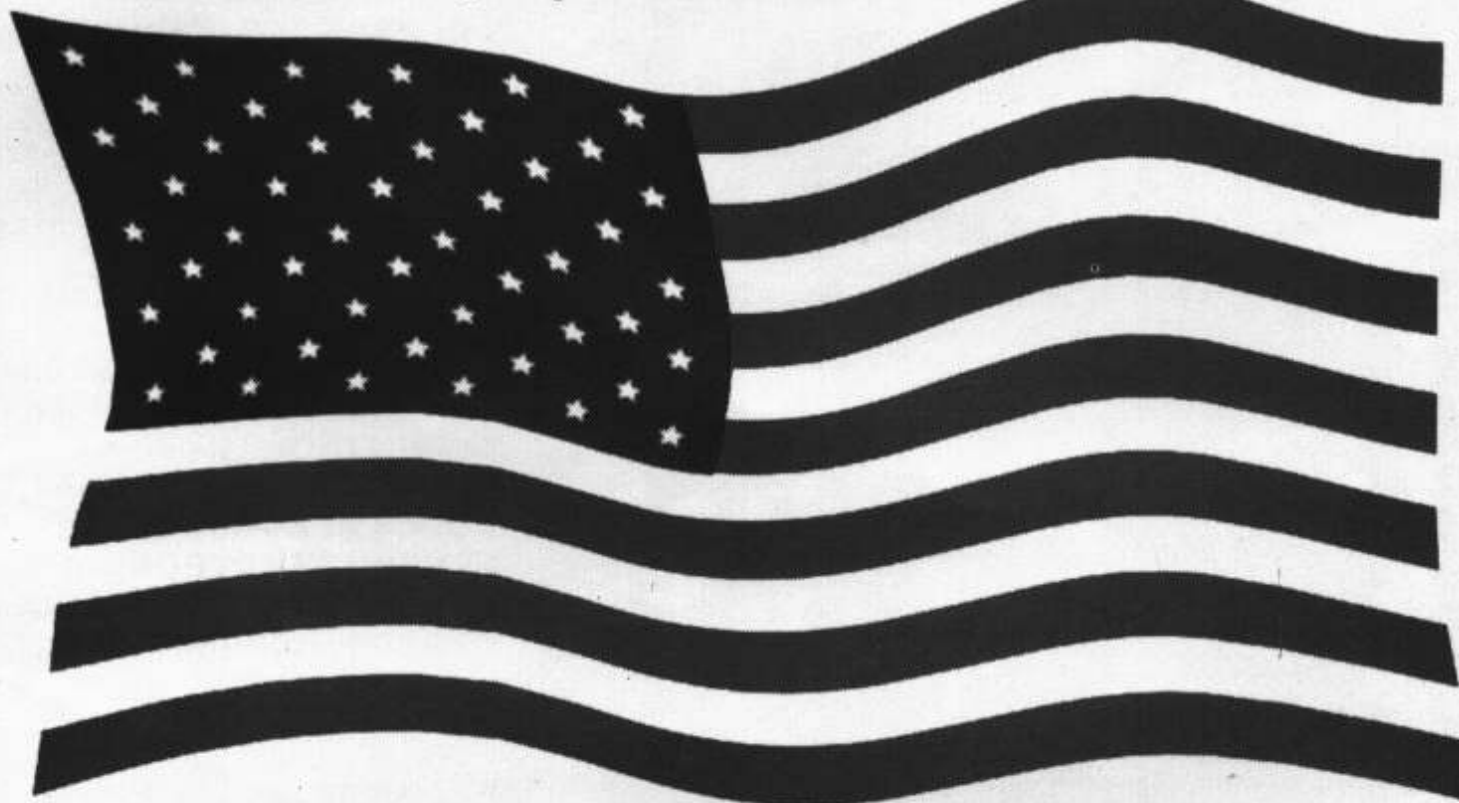
YO5CL	A	189	547	32	17504
YO4AAC	A	113	234	28	6552
YO6BHN	B3,5	121	292	11	3212
YO8KOS	B3,5	150	306	8	2448
YO8RHQ	B3,5	48	140	5	700
YO5OHO	B3,5	74	206	3	618
YO8BPK	B7	210	468	17	7956
YO4BBH	B14	80	185	13	2405
YO6SD	B14	74	173	7	1211
YO4KCC	C	40	103	4	412

Ediția 2000 va avea loc în zilele de 18-19 noiembrie (12.00 - 12.00 utc). Benzi: 80-10m numai CW, RST+ zona ITU. 6 pt - QSO cu LZ, 3 pt - QSO cu stații DX și 1 pt QSO cu EU. Multiplicator: suma zonelor ITU pe fiecare bandă. Log: BFRA Box 830, 1000 Sofia, Bulgaria sau lz1bj@yahoo.com.

Greetings,

The following is a short announcement concerning a planned operation from 8Q7 Maldives. Please distribute or reprint as you see fit. Call-Sign: 8Q7AB Operator: Adam Boettiger, W7MP Dates of operation: 30 September - 9 October, 2000 Location: Bandos Island, Maldives (Islands south west of India) Continent: AS/AF IOTA #: AS-013 CQ ZONE: 22 ITU ZONE: 41 For additional information, an online form to request cards via the bureau, propagation window projections, frequencies, further updates and more, see: <http://www.dxpediton.com/> Equipment: ICOM 706 MK IIG to Ameritron AL 811H at 800 Watts to Butternut 9-band vertical & Alpha Delta 10-40 notrap dipole. Bands: 10-80 including WARC. QSO UP. QSL information: QSL via W7MP. NOTE: This is a newly assigned call and is not in the Callbook yet. QSL information is as follows: Adam Boettiger, W7MP 420 SE Kathy Street Sherwood, OR 97140 (USA) May the Island Propagation Gods be with us and the umbrella drinks cold... AB Adam Boettiger, W7MP Email: W7MP@dxpediton.com

**Va asteptam in perioada 9 - 14 octombrie
la TIB 2000, in pavilionul 20 - 21**



Statii pentru radioamatori



Cabluri coaxiale,
conectori si asamblari



Echipeamente de masura pentru:
laboratoare RF, radiodifuziune
si domeniul RF



ADDING VALUE TO GPS

Sisteme de pozitionare
globala



Antene fixe si mobile
si accesorii



Sisteme de pozitionare
globala



Aparate de masura
si control



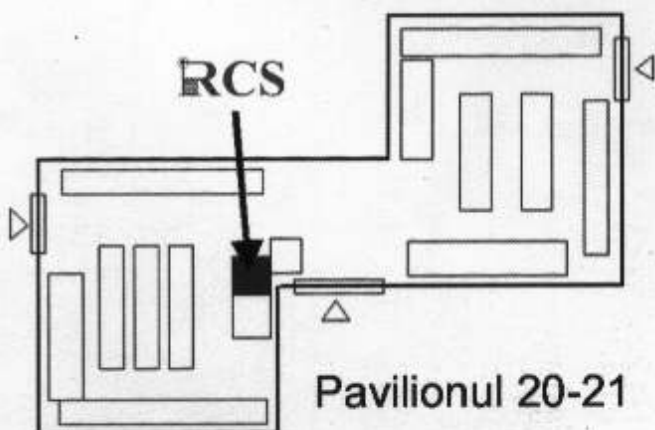
Monitoare de frecventa
si scannere receptie,
contoare de frecventa
si decodare

Kantronics

Modemuri de date
si amplificatoare RF



Sisteme de antene,
sisteme audio
si pentru aviatie



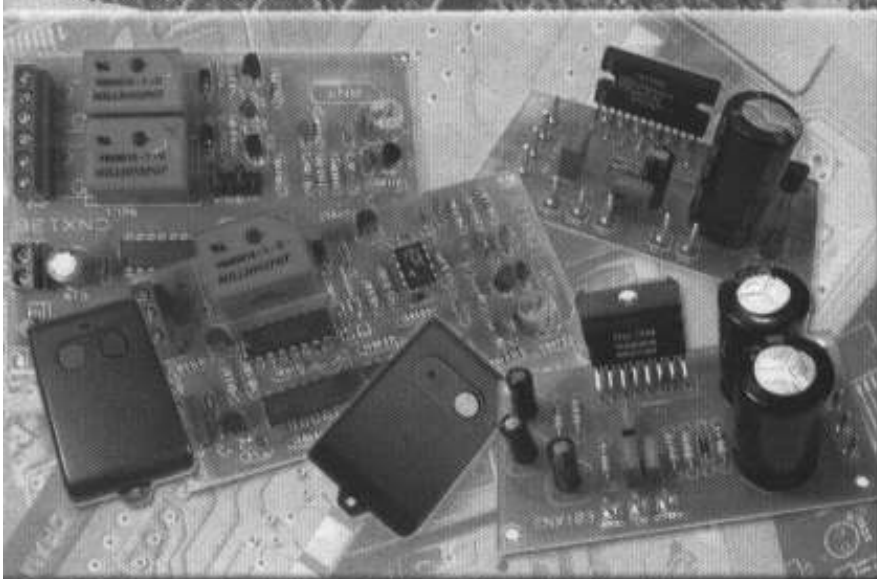
RCS

Radio Communications & Supply
Magazin: Str. Mamulari nr.11, et.1
Tel/Fax: +4(01) 3150939
Mobil: +4(094) 366147, +4(094)806902
e-mail: office@rcsco.com
website: http://www.rcsco.com



conex electronic

Str. Maica Domnului, nr.48
sect. 2, București
Tel.: 242 2206, Fax: 242 0979



- COMPONENTE ELECTRONICE
- APARATURĂ DE MĂSURĂ ȘI CONTROL
- KIT-URI ȘI SUBANSAMBLE
- SCULE ȘI ACCESORII PENTRU ELECTRONICĂ
- SISTEME DE DEPOZITARE
- CASETE DIVERSE



conex club

REVISTĂ DE
ELECTRONICĂ
PRACTICĂ
PENTRU TOȚI

RADIOAMATORISM
SERVICE TV
OFERTE
AMC
TEHNICĂ MODERNĂ
AUDIO HI-FI
AUTOMATIZĂRI
LABORATOR

